

أساسيات وتطبيقات أطياف الأشعة تحت الحمراء

تأليف :

أ. د. محمد عبد القادر محرم

أستاذ الأطياف

المركز القومي للبحوث - القاهرة

دار النشر للجامعات - مصر

ج

الكتاب : أساسيات وتطبيقات أطياف الأشعة تحت الحمراء

المؤلف : أ. د. محمد عبد القادر محرم

رقم الطبعة : الأولى

تاريخ الإصدار : رمضان ١٤١٩ هـ - يناير ١٩٩٩ م

حقوق الطبع : محفوظة للمؤلف

الناشر : دار النشر للجامعات

رقم الإيداع : ١٦٥٦٤ / ٩٨

الترقيم الدولي : 6 - 007 - 316 - 977 I.S.B.N.



دار النشر للجامعات - مصر

ص . ب . ١٣٠ محمد فريد - ١١٥١٨ القاهرة ت : ٣٩٣٢٣٩٤

أساسيات وتطبيقات
أطياف
الأشعة تحت الحمراء

بِسْمِ اللَّهِ الرَّحْمَنِ الرَّحِيمِ

محتويات الكتاب

مقدمة المؤلف

صفحة

الباب الأول: المبادئ الأساسية

1. الأشعة تحت الحمراء 1
2. مناطق الطيف الكهرومغناطيسي 5
3. طيف امتصاص الأشعة تحت الحمراء 6
4. الوحدات المستخدمة في منطقة الأشعة تحت الحمراء 11
5. أصل أو منشأ الأطياف الجزيئية 12
6. طبيعة امتصاص الأشعة تحت الحمراء 13
7. طيف الجزيئات ثنائية الذرة 15
8. مستويات الطاقة التذبذبية 20
9. الطيف الدوراني للجزيء ثنائي الذرة في الحالة الغازية 22
10. مستويات الطاقة الدورانية 24
11. الطيف التذبذبي الدوراني للأشعة تحت الحمراء 26
12. المهتز اللاتوافقي 30
13. الدوار غير الصلب 36
14. الأنماط القياسية للتذبذبات الأساسية 39
15. قوانين الانتقاء وشدة الامتصاص 41
16. أنواع التذبذبات الجزيئية 42

الباب الثاني: الأجهزة وتحضير العينات

1. مطياف الأشعة تحت الحمراء 46
2. مطياف تحويل فورير 49
3. طرق الانعكاس 56
4. الطيف الضوء صوتي 62
5. طرق القياس المشتركة 63
6. طرق تحضير العينات 64

77	الباب الثالث : تفسير أطياف الأشعة تحت الحمراء
77	1. ترددات المجموعة
77	- ترددات ذبذبات المد الهيدروجينية
77	- منطقة الرابطة الثلاثية
80	- الرابطة المزدوجة
82	- الرابطة الأحادية
84	- مضاعفات ومتراكبات الترددات
86	2. العوامل التي تؤثر على تردد إهتزازات الجزيء
93	3. طريقة عامة لتفسير الأطياف
96	الباب الرابع : التحليل الكمي
96	1. قانون بير
96	2. خط القاعدة
98	3. المشتقات
99	4. فصل الأشرطة المتراكبة
101	5. تحليل السوائل
102	6. طريقة النسبة بين إمتصاصية شريطين
102	7. طريقة إضافة مواد معايرة
102	8. حساب عدد المجموعات الوظيفية في الجزيء
105	الباب الخامس: تطبيقات
105	1. المركبات العضوية
126	2. المركبات البيولوجية
128	3. البلمرات
135	4. المركبات غير العضوية
138	5. المعادن
142	الفصل السادس: أمثلة
184	ملخص للمراجعة
190	اسئلة عامة
194	التوابت الأساسية

بسم الله الرحمن الرحيم

مقدمة المؤلف

عندما فكرت في هذا الكتاب، كان أمامي هدفان رئيسيان، هما التبسيط والتحديث. وقد استثمرت حصيلة البحث والتدريس لأكثر من ثلاثين عاما في مجال الأطياف الجزيئية وتطبيقاتها في تحقيق ذلك. وبذلت قصارى جهدي في اختيار الكلمات العربية البسيطة السهلة الواضحة المعنى للتعبير عن المصطلحات وتبسيط وتوضيح المفاهيم العلمية. ولكي يصل الكتاب الى المستوى اللائق من الحداثة و العصرية راعيت أن يشتمل على العديد من الأفكار العلمية المبتكرة و المفاهيم الحديثة. لذا يحذ ونى الأمل في أن يكون هذا الكتاب ذا فائدة لطلاب الجامعات في الأقسام العلمية وعلى الأخص طلاب الدراسات العليا وللمهندسين والفيزيائيين والكيميائيين والجيولوجيين والصيادلة في قطاعات الإنتاج المختلفة، وكذلك للباحثين في الجامعات ومراكز ومعاهد البحوث والعلماء في الاختصاصات الأخرى الذين لهم الرغبة في التعرف على طيف الأشعة تحت الحمراء، على النحو السريع، وكذلك للقراء غير الفنيين الذين يرغبون في فهم بعض الأمور المتعلقة بتطبيقات طيف الأشعة تحت الحمراء.

تم وضع الكتاب في ستة أبواب يشتمل الباب الأول على المبادئ النظرية الأساسية لطيف الأشعة تحت الحمراء ومناقشتها، ويعرض الباب الثاني الأجهزة وطرق القياس وتحضير العينات، ويأتي بعد ذلك الباب الثالث الذي يناقش تفسير الأطياف والعوامل المختلفة التي تؤثر على موضع وشدة أشرطة الامتصاص. ويناقش الباب الرابع التحليل الكمي لطيف الأشعة تحت الحمراء و بعد عرض المبادئ الأساسية ومناقشتها وتفسير الأطياف والتحليل الكمي يأتي الباب الخامس الذي يعتبر من أكثر الأبواب جوهرية، حيث يشتمل على التطبيقات المختلفة لطيف الأشعة تحت الحمراء في مجال المواد العضوية وغير العضوية والبلمرات والمواد الحيوية والمعادن. والباب السادس والأخير يقدم عددا كبيرا من الأمثلة المحولة التي تساعد على فهم واستيعاب ما جاء في الكتاب من النظريات والمفاهيم الأساسية والأجهزة وطرق القياس وتفسير

الأطراف والتطبيقات المختلفة. علاوة على ذلك يأتي ملخص للمراجعة ليذكر القارئ بالقوانين والتطبيقات المختلفة.

ولي الشرف والسرور أن أعبر عن عرفاني بالجميل لزوجتي الغالية زميلة كفاحي للمجهود الوفير الذي بذلته من أجل إخراج هذا الكتاب.

والله ولي التوفيق

المؤلف

الأستاذ الدكتور محمد عبد القادر محرم

المبادئ النظرية الأساسية
Basic Theoretical Concepts

1:1 الأشعة تحت الحمراء Infrared Radiation

يرجع الفضل في اكتشاف الأشعة تحت الحمراء للعالم وليم هيرشل سنة 1800م الذي لاحظ أثناء قياسه درجة حرارة الألوان المتعاقبة لضوء الشمس الأبيض، النافذ من المنشور الزجاجي، ارتفاعاً طفيفاً في درجة حرارة الترمومتر كلما اقترب من نهاية اللون الأحمر، كما لاحظ ارتفاعاً واضحاً في درجة الحرارة عند ما تعدى مستودع الترمومتر حدود اللون الأحمر. أعزى هيرشل هذا الارتفاع في درجة الحرارة إلى وجود أشعة غير مرئية في المنطقة دون الحمراء وأطلق عليها في بادئ الأمر الأشعة الحرارية والتي تعرف الآن بالأشعة تحت الحمراء Infrared Radiation. التأثير الطبيعي الوحيد الملحوظ لهذه الأشعة حتى الآن هو التأثير الحراري.

يمتد الطول الموجي للأشعة تحت الحمراء من 0.7 ميكرون إلى 1000 ميكرون وهي أشعة غير مرئية يبدأ طولها الموجي حيث تنتهي قدرة العين البشرية على الرؤية [أي عندما تنتهي حساسية العين للضوء المرئي] وينتهي حيث تنتهي الخواص المميزة لها وتبدأ خواص الموجات الميكرونية. مدى حساسية العين البشرية للضوء المرئي يمتد بين اللون البنفسجي وطوله الموجي 400 نانومتر واللون الأحمر وطوله الموجي 800 نانومتر.

$$1\text{Å} = 10^{-10}\text{m} \quad 1\text{nm} = 10^{-9}\text{m} \quad 1\mu\text{m} = 10^{-6}\text{m}$$

الأشعة تحت الحمراء جزء من الأشعة الكهرومغناطيسية التي تتكون على التوالي حسب الطول الموجي (كما هو موضح بالجدول 1) من أشعة جاما والأشعة السينية والأشعة

فوق البنفسجية والضوء المرئي و الأشعة تحت الحمراء والموجات الميكرونية ثم موجات الراديو.

فسر ماكسويل طبيعة هذه الأشعة على أساس نظرية الديناميكا الكهرومغناطيسية، لذلك أطلق عليها الأشعة الكهرومغناطيسية. هذه الأشعة طبقاً لنظرية ماكسويل عبارة عن مجال كهربائي وآخر مغناطيسي يتعامد كل منهما على الآخر وعلى اتجاه انتشار الأشعة. تنتشر الأشعة على هيئة موجة جيبية ويرمز لمتجهي المجالين المغناطيسي والكهربائي بالحرفين E, B على التوالي، كما في شكل (1). سرعة انتشار الأشعة في الفراغ لكل المناطق المذكورة ثابتة وتعرف بسرعة الضوء ويرمز لها بالرمز c وتساوي:

$$c = 2.997925 \times 10^8 \text{ m/s}$$

جدول (1) : مناطق الأشعة الكهرومغناطيسية.

أشعة جاما	أشعة X	الضوء المرئي والأشعة فوق البنفسجية	الأشعة تحت الحمراء	الموجات الميكرونية	الرنين الإلكتروني المغناطيسي n.m.r.	الرنين المغناطيسي e.s.r.	الرنين النووي
إعادة ترتيب الجسيمات النووية	الانتقال بين المدارات الداخلية للذرة	الانتقال بين المدارات الخارجية للذرة	الانتقال بين مستويات الطاقة التنبذية	الانتقال بين مستويات الطاقة الدورانية	انعكاس غزل الإلكترون	انعكاس غزل النواة	
10^6	العدد الموجي 10^6	cm^{-1}	10^4	100	1	10^{-2}	
100 pm	الطول الموجي 10 nm	$1 \mu\text{m}$	$100 \mu\text{m}$	1 cm	100 cm	10m	
3×10^{18}	التردد 3×10^{16}	Hz	3×10^{14}	3×10^{12}	3×10^{10}	3×10^8	3×10^6
10^9	الطاقة 10^7	joules/mole	10^5	10^3	10	10^{-1}	10^{-1}

وتعرف سرعة الضوء بأنها حاصل ضرب طول الموجة λ (وهي المسافة بين قمتين متتاليتين) والتردد ν (عدد الدورات في الثانية)

$$c = \lambda \nu \quad (1.1)$$

فى القرن التاسع عشر أثبتت الدراسات التى قام بها أينشتين وبوهر أنه فى كثير من الحالات يمكن اعتبار الأشعة الكهرومغناطيسية سيل من الجسيمات أو الكمات quanta (فوتونات) وتحسب طاقتها E من معادلة بوهر التالية:

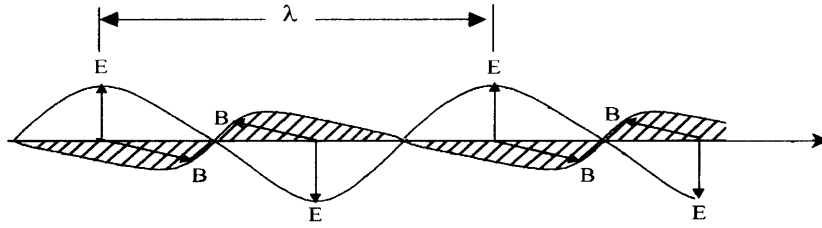
$$E = h\nu = hc / \lambda \text{ Joule} \quad (1.2)$$

حيث h ثابت بلانك = 6.626×10^{-34} جول ثانية

$$E (\text{ kcal / mol}) = \frac{28.6}{\lambda(\mu)} = \frac{28.6 \times 1000}{\lambda(\text{nm})}$$

$$E (\text{ KJ/ mol}) = \frac{119.7}{\lambda(\mu)} = \frac{119.7 \times 1000}{\lambda (\text{ n m})}$$

يلاحظ من هذه العلاقة أنه كلما زاد التردد أو قل الطول الموجي زادت الطاقة التى يعبر عنها بالجول.



شكل (1): انتشار الموجات الكهرومغناطيسية.

تتشارك الأشعة الكهرومغناطيسية فى بعض الخواص منها سرعة الإنتشار فى الفضاء وعدم الانحراف بالمجال الكهربائي أو المغناطيسي وأيضاً تشترك فى ظاهرتي الانعكاس والانكسار والظواهر الطبيعية المعروفة مثل التداخل والحيود والاستقطاب. نظراً لاختلاف تردد (أو طول موجة) هذه الأشعة فى المناطق المختلفة فإن أشعة كل منطقة تتميز بمصادر إشعاع وطرق قياس وتحليل وكشف خاصة بها علاوة على أن طبيعة تفاعل الأشعة الكهرومغناطيسية مع المادة تختلف باختلاف خواص أشعة كل منطقة عن الأخرى.

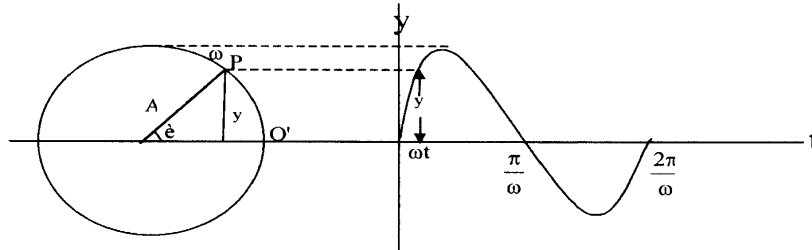
تعتبر الأشعة الكهرومغناطيسية التي يمثل الضوء المرئي جزءاً صغيراً واضحاً منها أمواج توافقية بسيطة تنتشر من المصدر في خطوط مستقيمة إلا إذا عانت انكساراً أو انعكاساً. الموجات التوافقية البسيطة لها خواص الموجة الجيبية والتي تعرف بالعلاقة :

$$y = A \sin \theta = A \sin \omega t \quad (1.3)$$

حيث y هي الإزاحة ، A القيمة العظمى لها و θ زاوية تتغير من 0° إلى 360° أو 0 ، 2π راديان] .

يمكن تمثيل الموجة الجيبية بالحركة الدائرية للنقطة P في شكل (2) . تتحرك النقطة P بسرعة زاوية منتظمة $\omega \text{ rad s}^{-1}$ في مسار دائري نصف قطره A . نبدأ قياس الزمن من لحظة مرور P بالنقطة O' وبعد مرور t ثانية، نتصور أن P قطعت زاوية $\theta = \omega t$ راديان، فتكون المسافة الرأسية التي قطعتها P هي

$$y = A \sin \theta \quad , \quad y = A \sin \omega t$$



شكل (2): المنحنى الجيبى للحركة الدورانية لنقطة P تتحرك بسرعة منتظمة ω .

الشكل يوضح العلاقة بين الإزاحة والزمن. بعد زمن $\frac{2\pi}{\omega}$ ثانية تعود P إلى النقطة O' وقد دارت دورة كاملة. باستمرار الدوران تتكرر الدورات ويتكرر تبعاً لذلك النموذج المبين بالشكل. في ثانية واحدة يتكرر الدوران عدد $\frac{\omega}{2\pi}$ من المرات. يعرف تردد الموجة ν بأنه عدد الدورات $\frac{\omega}{2\pi}$ في الثانية الواحدة ، ووحدة التردد الهيرتز Hz وأبعادها s^{-1} أي مقلوب الثانية.

$$\therefore y = A \sin \omega t = A \sin 2\pi \nu t \quad (1.4)$$

تعتبر هذه المعادلة هي المعادلة الأساسية للحركة الموجية و تبين تغير الإزاحة مع الزمن ويعبر عن تغير المسافة مع الزمن بالمعادلة:

$$x = c t \quad (1.5)$$

حيث x هي المسافة المقطوعة في زمن t عند سرعة c . بضم المعادلتين السابقتين نجد:

$$y = A \sin 2\pi \nu t = A \sin \frac{2\pi \nu x}{c} \quad (1.6)$$

يمكن كذلك تعريف طول الموجة λ بالمسافة المقطوعة خلال دورة كاملة. عندما تكون السرعة c متر / ثانية وعدد الدورات ν دورة في الثانية يوجد عدد ν موجة في c من الأمتار أي أن:

$$\begin{aligned} \lambda &= c \nu \\ \lambda &= \frac{c}{\nu} \text{ meters} \\ y &= A \sin \frac{2\pi x}{\lambda} \end{aligned} \quad (1.7)$$

2:1 مناطق الطيف الكهرومغناطيسي Regions of Electromagnetic Radiation

1- منطقة موجات الراديو :

طول الموجة 1cm- 10m و التردد $3 \times 10^6 \text{ Hz} - 3 \times 10^{10}$. يظهر فيها طيف الرنين النووي المغناطيسي nmr والرنين الإلكتروني المغزلي esr ، ينشأ التغير في الطاقة عن انعكاس غزل النواة أو الإلكترون. هذا التغير يكون في حدود $0.001 \sim 10$ جول لكل مول.

2- منطقة الموجات الميكرونية:

طول الموجة $100 \mu\text{m} - 1\text{cm}$ و التردد $3 \times 10^{10} - 3 \times 10^{12} \text{ Hz}$ منطقة الطيف الدوراني. الفرق بين مستويات الطاقة في حدود مئات من الجول لكل مول.

3- منطقة الأشعة تحت الحمراء:

طول الموجة $100 \mu\text{m} - 1 \mu\text{m}$ والتردد $3 \times 10^{12} \text{ Hz} - 3 \times 10^{14} \text{ Hz}$. منطقة الطيف التذبذبي. الفرق بين مستويات الطاقة في حدود 10^4 جول لكل مول.

4- منطقة الضوء المرئي والفوق بنفسجي:

طول الموجة $1 \mu\text{m} - 10 \text{ nm}$ والتردد $3 \times 10^{14} \text{ Hz} - 3 \times 10^{16} \text{ Hz}$. منطقة الطيف الإلكتروني. الفرق بين مستويات طاقة إلكترونات التكافؤ في حدود مئات الكيلوجول لكل مول.

5- منطقة أشعة إكس :

طول الموجة 10 nm إلى 100 pm والتردد $3 \times 10^{16} \text{ Hz} - 3 \times 10^{18} \text{ Hz}$. منطقة الطيف الإلكتروني وينشأ عن الانتقال بين المدارات الداخلية للذرة. يكون الفرق بين مستويات الطاقة في حدود عشرات الكيلو جول لكل مول.

6- منطقة أشعة جاما :

طول الموجة $100 \text{ Pm} - 1 \text{ Pm}$ و التردد $3 \times 10^{18} \text{ Hz} - 3 \times 10^{20} \text{ Hz}$. ينشأ التغير في الطاقة نتيجة إعادة ترتيب الجسيمات النووية. يكون التغير في الطاقة في حدود $10^9 - 10^{11}$ جول لكل جرام ذرة.

3:1 طيف امتصاص الأشعة تحت الحمراء Infrared Absorption Spectra

يدعى العلم الذي يدرس التفاعل بين الأشعة الكهرومغناطيسية والمادة، علم الطيف Spectroscopy ، تنشأ جميع الأطياف من الانتقال بين مستويات الطاقة. ينشأ الطيف الجزيئي نتيجة لتغير الطاقة الداخلية للجزيء عندما يمتص أو يبعث أشعة كهرومغناطيسية بكميات محددة و منفصلة [فوتونات]، طاقة كل منها E ويعبر عن التغير في الطاقة بالعلاقة :

$$\begin{cases} \Delta E = E_2 - E_1 = h\nu \\ = hc / \lambda \end{cases} \quad (1.8)$$

حيث c = سرعة الأشعة الكهرومغناطيسية في نفس الوسط الذي يقاس فيه الطول الموجي.
ترتبط λ و c بتردد الأشعة الكهرومغناطيسية بالعلاقة $c = \lambda\nu$ وتعتمد قيم λ و c على طبيعة الوسط الذي تقاس فيه سواء كان فراغاً أو هواء . وفى كل حالة تحدد قيمة ν من العلاقة :

$$\nu = (السرعة / طول الموجة) \text{ في الهواء } = (السرعة / طول الموجة) \text{ في الفراغ}$$

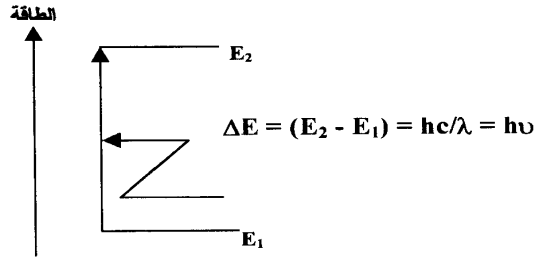
فإذا تم قياس الطول الموجي في الهواء (λ هواء) فيمكن تحويله إلى الطول الموجي في الفراغ (λ فراغ) بإضافة $\lambda(n-1)$ هواء حيث n هي معامل انكسار الهواء لهذا الطول الموجي.

الفرق في الطاقة بين مستويين من مستويات الطاقة الجزيئية مقسوماً على ثابت بلانك يساوى عددياً تردد الأشعة. ويعبر عن هذه العلاقة بقاتون بوهر.

$$\begin{aligned} \Delta E &= E_2 - E_1 = h\nu \text{ جول} \\ \Delta E &= (E_2 - E_1) = hc/\lambda = h\nu \end{aligned}$$

إذا كان الجزيء عند مستوى الطاقة E_1 فيمكن إثارته إلى مستوى طاقة أعلى E_2 إذا امتص أشعة كهرومغناطيسية ترددها يساوى $\Delta E/h$ (شكل 3). يسمى الطيف الناتج عن هذا الانتقال طيف الامتصاص . أما إذا انتقل الجزيء من مستوى الطاقة E_2 إلى مستوى طاقة أقل E_1 فإنه يبعث أشعة أحادية الطول الموجي ترددها $\Delta E/h$ ويسمى الطيف في هذه الحالة طيف الإنبعاث .

ينقسم طيف الأشعة تحت الحمراء إلى ثلاثة مناطق حيث تختلف كل منطقة عن الأخرى في مصادر الإشعاع وطرق الكشف عنها وتحليلها ومدى تأثيرها على المواد التي تتفاعل معها. وتبعاً لذلك تتميز كل منطقة بأهمية خاصة من حيث المعلومات المستخلصة من أطراف امتصاصها. يطلق على هذه المناطق حسب قربها من منطقة طيف الضوء المرئي: منطقة الأشعة تحت الحمراء القريبة والمنطقة الوسطى والمنطقة البعيدة.



شكل (3): مستويات الطاقة.

Near IR (NIR)

منطقة الأشعة تحت الحمراء القريبة

تمتد هذه المنطقة من الطول الموجي 0.75 ميكرون إلى 2.5 ميكرون. يستخدم في هذه المنطقة الخلية الكهروضوئية والألواح الفوتوغرافية ويستخدم فيها منشور من الكوارتز أو محزوز حيود لفصل الأطوال الموجية. ويظهر فيها إهتزازات المد الهيدروجينية والموجات المضاعفة (overtones) ومجموع موجتين combination. طيف هذه المنطقة له أهمية خاصة في بعض التحاليل الوصفية والكمية التابعة لمجموعات CH , NH , OH .

Medium or Fundamental IR

منطقة الأشعة تحت الحمراء الوسطى

تمتد هذه المنطقة من الطول الموجي 2 ميكرون إلى 25 ميكرون وتقع معظم الاهتزازات الجزيئية للمركبات الكيميائية الهامة في هذه المنطقة. يستخدم فيها المنشور أو محزوز الحيود، يصنع المنشور غالبا من كلوريد الصوديوم NaCl ويستخدم في المنطقة من 1-15 ميكرون. يستخدم بروميد البوتاسيوم KBr أو بروميد السيزيوم CsBr في المنطقة من 15-25 ميكرون ومعظم الأجهزة الحديثة تستخدم محزوز الحيود. مصادر الأشعة تحت الحمراء الشائعة الاستعمال في الأجهزة هي Nernst Glower ويتكون من خليط من أكسيد الأرض النادرة و يستخدم كذلك Globar وهو عبارة عن قضيب من كاربيد السيليكون Silicon Carbide، كما يستخدم السيراميك المسخن Heated Ceramic. يستخدم الاندواج الحراري لقياس طاقة الأشعة. في الأجهزة الحديثة يستخدم مقياس التداخل الضوئي لميكلسون

لزيادة قوة تحليل الطيف كما تستخدم الحاسبات الإلكترونية. كما أصبحت الأجهزة أكثر تطوراً في طريقة تسجيل الطيف.

Far IR منطقة الأشعة تحت الحمراء البعيدة

تمتد من الطول الموجي 25 ميكرون إلى 1000 ميكرون ويستخدم مصباح القوس الزئبقي ذو الضغط العالي كمصدر للأشعة، يستخدم محزوز الحيود حتى 700 ميكرون ثم مقياس التداخل لميكلسون حتى 1000 ميكرون وذلك لفصل الأطوال الموجية، في هذه المنطقة يستخدم كشاف جولاي Golay Detector لقياس طاقة الأشعة. البيانات السابقة موضحة في الجدول (2).

يوجد نوعان من مطياف الأشعة تحت الحمراء، الأول هو النوع المعروف منذ استخدام هذه الأجهزة، يستخدم فيه المنشور أو محزوز الحيود لتحليل أو تفريق الأشعة تحت الحمراء إلى ترددات منفصلة. في النوع الثاني يستخدم مقياس تداخل الضوء لميكلسون لتكوين نموذج تداخل ويتم فصل الترددات بتحليل هذا النموذج رياضياً باستخدام Fourier Transform.

وبالرغم من شيوع استخدام النوع الأول إلا أن النوع الثاني هو الأحدث ويطلق عليه Inter photometric أو Fourier Transform Spectro photometer FTIR spectrophotometer. ويحتاج كل نوع من هذه الأجهزة إلى مصدر للأشعة تحت الحمراء وكاشف لقياس شدة الضوء، وفي كل الحالات يكون مصدر الضوء عبارة عن Nernst Filament or nernst Glower. وهو عبارة عن خليط من أكاسيد Zr, En, Th, Ce, Y. etc... أو Globar (Silicon carbide, Sic) أو مواد سيراميكية.

يستخدم الكاشف لقياس شدة الترددات وهو عبارة عن إزدواج حراري أو الثرموبيل الذي يتكون من عدد من الإزدواجات الحرارية الموصلة على التوالي لتزيد من شدة حساسية الكاشف للقياس. تستخدم هذه الكاشفات في الأجهزة التي تستخدم المنشور أو محزوز الحيود لتحليل الترددات. أما في أجهزة FTIR فإن زيادة حساسية وسرعة التسجيل تتطلب كاشفات أكثر دقة وحساسية من الثرموبيل، لذلك تستخدم كاشفات حرارية يستخدم فيها مواد كهروحرارية وأجهزة أشباه موصلات في الحالة الصلبة ذات خاصية كهروضوئية مثل Mercury Cadmium Telluride (MCT) أو الفوتوفولطية مثل السيليكون المطعم أو Indium Antimonide (Insb).

جدول (2): مناطق الأشعة تحت الحمراء.

المنطقة البعيدة Far Infrared	المنطقة الوسطى Medium Infrared	المنطقة القريبة Near Infrared	
25 ميكرون - 1000 ميكرون	2 ميكرون - 25 ميكرون	0.75 ميكرون - 2.5 ميكرون	الطول الموجي
$10 - 200 \text{ cm}^{-1}$	$200 - 4000 \text{ cm}^{-1}$	$4000 - 12000 \text{ cm}^{-1}$	العدد الموجي
مصباح القوس الزئبقي ذو الضغط العالي	Nernst Glower, Globar	مصباح تنجستن	مصدر الأشعة
محزوز حيود حتى 700 ميكرون، ثم مقياس التداخل لميكلسون Michelson inter Ferometer حتى 1000 ميكرون، ولتستخدم المنششير أو محزوز الحيود حتى 1000 ميكرون	منششير من $\text{LiF}, \text{NaCl}, \text{KBr}$ أو محزوز الحيود في حالة FTIR يستخدم مقياس التداخل لميكلسون	منشور من الكوارتز أو محزوز الحيود	وحدة فصل الطول الموجي
Golay Detector كاشف جولاي	مقياس الطاقة الإشعاعية الحرارية أو الإزدواج الحراري	خلية كهروضوئية من كبريتيد الرصاص	الكاشف
هذه المنطقة مهمة لإهتزازات الطاقة الضعيفة للمواد العضوية وغير العضوية.	تقع معظم الإهتزازات الجزيئية للمركبات العضوية وغير العضوية في هذه المنطقة .	طيف هذه المنطقة له أهمية كبيرة في التحليل الكمي والوصفي الخالص بمجموعات $\text{O-H}, \text{N-H}, \text{C-H}$ ويظهر في هذه المنطقة إهتزازات المد الهيدروجينية ومضاعفات الترددات الأساسية ومجموعها أو الفرق بينها.	المعلومات الهامة

استخدام الحاسبات الآلية

يستخدم الحاسب الآلي لتخزين البيانات والتحكم في أبعاد محاور الطيف الرئيسية والأفقية سواء بالتكبير أو التصغير وكذلك إيجاد طيف مادة من طيف خليطها مع مواد أخرى

بطريقة الطرح وذلك بطرح طيف المادة النقية من طيف الخليط ويكون الفرق هو طيف المادة المطلوبة .

4:1 الوحدات المستخدمة في منطقة الأشعة تحت الحمراء

تعرف سرعة إنتشار الحركة الموجية بالمعادلة التالية:

$$c = \lambda \nu$$

حيث λ = طول الموجة بالسنتيمتر

ν = التردد دورة / ثانية

c = سرعة الضوء = 3×10^{10} سنتيمتر / ثانية

يعبر عن λ في منطقة الأشعة تحت الحمراء بالميكرون (μ) . ويطلق عليها حاليا ميكرو متر (μm) حيث

$$1 \mu = 10^{-3} \text{mm} = 10^{-4} \text{cm} = 10^4 \text{ } ^\circ \text{A}$$

ويعبر عن ν' بعدد الموجات لكل سم أو بالعدد الموجي أي أن:

$$\nu' = \nu / c$$

وحيث أن أبعاد ν هي دورة لكل ثانية وأبعاد c هي سم/ث فتكون أبعاد ν' هي سم⁻¹ أو (مقلوب السنتيمتر)

وحيث أن $c = \nu \lambda$ فإن $\nu' = \frac{1}{\lambda}$ أي أن

$$\nu' = \frac{1}{\lambda (\text{cm})} = \frac{10^4}{\lambda (\mu)} \text{ cm}^{-1} \quad (1.9)$$

يعبر أيضا عن العدد الموجي بوحدة الكايسير (K) Kayser و الكيلوكايسير (KK)

$$1 \text{KK} = 1000 \text{K} = 1000 \text{ cm}^{-1}$$

5:1 أصل أو منشأ الأطياف الجزيئية Origin of Molecular Spectra

تدور الإلكترونات في مدارات حول النواة كما تدور نويات الذرات في الجزيء حول مركز الكتلة وكذلك تهتز هذه النويات على طول المحور الواصل بين مراكزها. يصاحب كل من هذه الحركات طاقة لذلك تكون الطاقة الكلية للجزيء التي يرمز لها بالرمز E_m هي

$$E_m = E_e + E_v + E_r \quad (1.10)$$

حيث E_r الطاقة الدورانية

E_v الطاقة الاهتزازية أو التذبذبية

E_e الطاقة الإلكترونية

هذا بالإضافة إلى طاقة الحركة الانتقالية للجزيء في الفراغ ومقدارها صغير جداً بالمقارنة بهذه الطاقات لذلك نهمل قيمتها.
علماً بأن :

$$E_e \approx E_v 10^3 \approx E_r 10^6$$

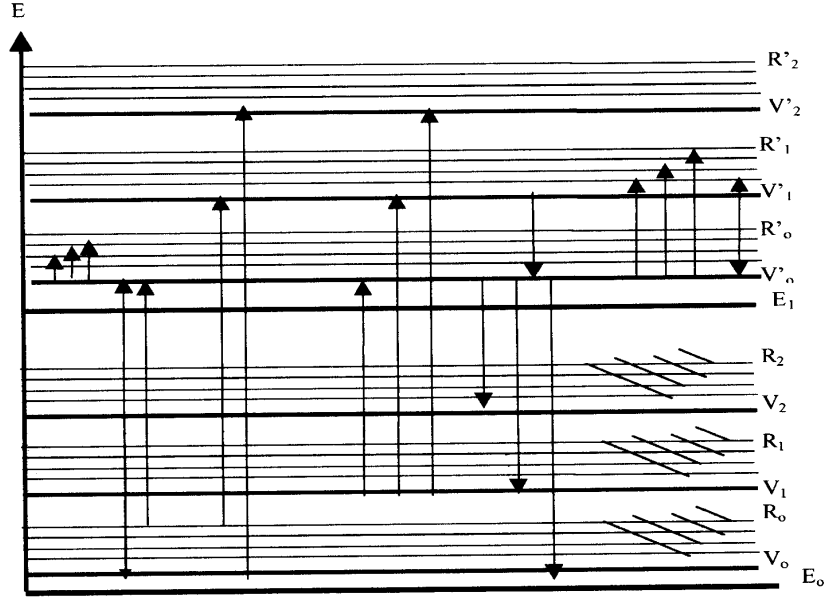
عندما يتعرض الجزيء للأشعة الكهرومغناطيسية وتنتقل طاقتها إليه أي عندما يمتص الجزيء الطاقة الإشعاعية فإن طاقاته السابقة تتغير حسب العلاقة:

$$E = h\nu$$

وحيث أن مستويات الطاقة الدورانية قريبة من بعضها نسبياً فإن الانتقال بين هذه المستويات يحدث عند الترددات المنخفضة (من 10cm^{-1} إلى 10^2cm^{-1}). يقع هذا المدى في منطقة الموجات الميكرونية ومنطقة الأشعة تحت الحمراء البعيدة. تتسع المسافة بين مستويات الطاقة التذبذبية عنها في حالة مستويات الطاقة الدورانية لذلك يحتاج الانتقال بين هذه المستويات طاقة أكبر أي ترددات أعلى (10^2cm^{-1} إلى 10^4cm^{-1}) وهي منطقة الأشعة تحت الحمراء. المسافات بين مستويات الطاقة الإلكترونية أكبر من المسافات بين مستويات الطاقة الاهتزازية وهذا يستلزم طاقة أكبر للانتقال بين هذه المستويات الإلكترونية. يظهر الطيف الإلكتروني في المدى من 10^4سم^{-1} إلى 10^5سم^{-1} حيث الطيف المرئي وفوق البنفسجي. أي أن الأطياف الدورانية والتذبذبية والإلكترونية تظهر على التوالي في مناطق الموجات الميكرونية و

الأشعة تحت الحمراء البعيدة - الأشعة تحت الحمراء - الضوء المرئي وفوق البنفسجي. يبين شكل (4) مستويات طاقة الجزيء.

يلاحظ أنه إذا امتص الجزيء أشعة فوق بنفسجية أو مرئية فإن ذلك يغير من طاقته الإلكترونية والتذبذبية والدورانية، أما إذا امتص أشعة تحت الحمراء فذلك يغير من طاقته التذبذبية والدورانية وفي حالة امتصاصه الأشعة تحت الحمراء البعيدة أو موجات ميكرونية فلا تتغير إلا طاقته الدورانية فقط.



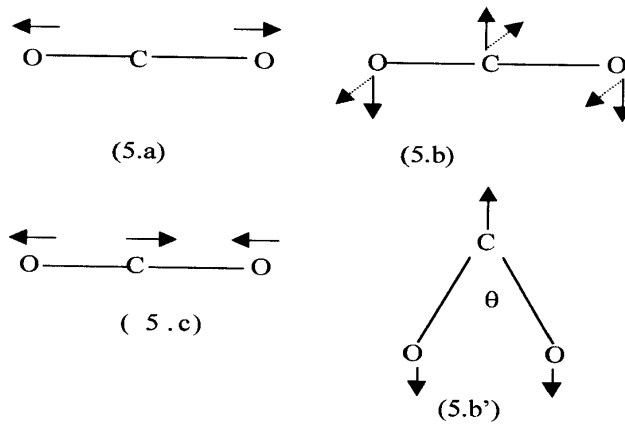
شكل (4): مستويات الطاقة للجزيء.

6:1 طبيعة إمتصاص الأشعة تحت الحمراء Nature of Infrared Absorption

ذرات جزيئات المادة ليست في حالة سكون إذ أنها تتحرك حركة إهتزازية ثابتة حول موضع الاتزان حتى ولو كانت المادة في حالة صلابة وتقترب حرارتها من الصفر المطلق .

تتراوح سعة هذه الاهتزازات بين 10^{-11} - 10^{-12} مترا] بينما تقع تردداتها في نفس مدى تردد ذبذبات الأشعة تحت الحمراء . فإذا سقطت الأشعة تحت الحمراء على مجموعة جزيئية مهتزة وكان تردد ذبذبة الأشعة الساقطة مساويا لتردد ذبذبة المجموعة المهتزة فإن هذه المجموعة تمتص الطاقة الإشعاعية الساقطة عليها بظاهرة الرنين "بشرط حدوث تغير في عزم ثنائي القطب للمجموعة أثناء التذبذب" ويقال في هذه الحالة أن الذبذبة نشطة للأشعة تحت الحمراء infrared active. إذا لم يحدث تغير في عزم ثنائي القطب للمجموعة أثناء التذبذب فإنها لا تمتص الطاقة الإشعاعية الساقطة عليها و التي لها نفس تردد تذبذبها . ويقال هنا أن الذبذبة غير نشطة للأشعة تحت الحمراء infrared inactive ولكنها تكون نشطة في طيف رامان Raman Spectra. لا يحدث في حالة الجزيئات ثنائية الذرة مثل H_2 ، O_2 ، N_2 والتي ليس لديها أصلا ثنائي قطب أي تغير في عزم ثنائي القطب، لذا فإن هذه الجزيئات لا تمتص ولا تبعث الأشعة تحت الحمراء.

هناك بعض الجزيئات لا يوجد لها ثنائي قطب دائم مثل CO_2 ولكن يمكن أن ينشأ ثنائي قطب عند تذبذبها . وبالرغم من عدم وجود ثنائي قطب دائم لهذا الجزيء إلا أنه يبعث ويمتص الأشعة تحت الحمراء عند تردد الذبذبة اللاتماثلية asymmetrical vibration.



شكل (5) : ذبذبات ثنائي أكسيد الكربون CO_2 .

1- في حالة ذبذبة المد التماثلية كما في الشكل (5.a) لا يوجد للجزيء عزم ثنائي قطب أثناء التذبذب لأن التغير في عزم الرابطة يتلشى في حالة جمعه جمعاً متجهاً ومن ثم لا يتوقع ظهور شريط إمتصاص للأشعة تحت الحمراء لهذه الذبذبة.

2- في حالة الشكل (5.b) يكون توزيع الجزيء في البداية خطى ولكن عندما يتذبذب يأخذ الشكل (5.b') ، واضح أن لهذا التوزيع ثنائي قطب.

3- في حالة ذبذبة المد اللاتماثلية كما في الشكل (5.c) نجد أن عزم الرابطة في كل من نصفي الجزيء ليست في نفس الطور وهذا يؤدي إلى أن التغير في عزم ثنائي القطب لا يساوى الصفر. لذلك يعتبر الجزيء نشط للأشعة تحت الحمراء وينشأ عن ذلك شريط إمتصاص.

عموما تمتص الرابطة التساهمية بين الذرات غير المتشابهة الأشعة تحت الحمراء وهذا لا يحدث في حالة الروابط الأيونية. من الأمثلة الهامة للروابط الأيونية التي لا تمتص الأشعة تحت الحمراء كلوريد الصوديوم، بروميد البوتاسيوم ، كلوريد الليثيوم. لهذا السبب تستخدم هذه المواد في صناعة المنشور ونوافذ خلايا السوائل والغازات و في عمل أقراص بروميد البوتاسيوم.

الروابط بين الذرات التي تتكون من جزء تساهمي وآخر أيوني مثل العديد من المركبات العضوية وغير العضوية تمتص الأشعة تحت الحمراء بسبب وجود الرابطة التساهمية فقط. وبصفة عامة جميع المركبات العضوية تمتص الأشعة تحت الحمراء.

7:1 طيف الجزيئات ثنائية الذرة Spectra of Diatomic Molecules

تتحرك كل ذرة من ذرات الجزيئات ثنائية الذرة قرباً أو بعداً عن الأخرى في حركة توافقية بسيطة، وتكون الإزاحة عن موضع الإتزان دالة جيبية للزمن. يمكن إختزال حركة الذرتين إلى حركة توافقية لجسيم واحد حول موضع إتزان وهذا هو نموذج الحركة التوافقية للبندول البسيط. في البندول البسيط تتناسب القوة طردياً مع الإزاحة من موضع الإتزان وتكون في إتجاه موضع الإتزان أي أن :

$$F = - kx = m \frac{d^2x}{dt^2} \quad (1.11)$$

$$\therefore m \frac{d^2 x}{dt^2} + kx = 0 \quad (1.12)$$

يسمى ثابت التناسب k بثابت القوة. حل المعادلة التفاضلية هو

$$X = X_0 \sin (2\pi \nu_{osc} t + \varphi) \quad (1.13)$$

حيث أن X_0 سعة الذبذبة ، φ = ثابت الطور وتعتمد على الشروط الابتدائية. وبتفاضل المعادلة السابقة مرتين نحصل على:

$$X'' = -4\pi^2 \nu^2 X_0 \sin (2\pi \nu_{osc} t + \varphi) \quad (1.14)$$

وبالتعويض في المعادلة السابقة

$$\begin{aligned} m X'' &= -kx \\ \therefore -4\pi^2 \nu_{osc}^2 m &= -k \\ \therefore \nu &= \frac{1}{2\pi} \sqrt{\frac{k}{m}} \text{ Hz} \end{aligned} \quad (1.15)$$

وحيث أن القوة تساوى سالب تفاضل طاقة الوضع نجد من العلاقة :

$$F = -kx$$

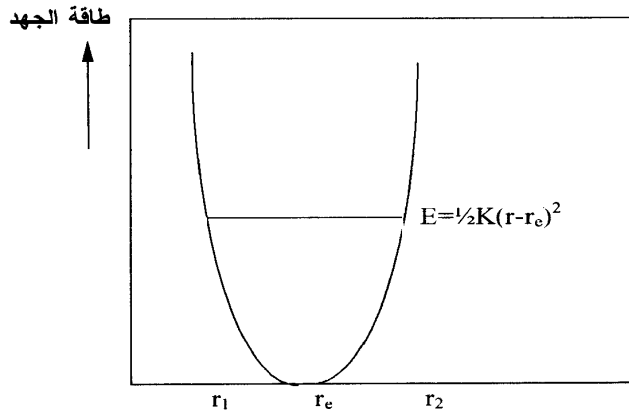
أي أن:

$$V = \frac{1}{2} kx^2 = (2\pi)^2 \frac{1}{2} m \nu_{osc}^2 x^2 \quad (1.16)$$

ويمثل شكل (6) منحنى الطاقة للحركة التوافقية البسيطة. واضح من الشكل أن الطاقة تصل إلى قيمة عظمى عند أقصى تمدد أو إنكماش للزنبرك و تقل الطاقة الى الصفر عند موضع الاتزان . وتدل هذه المعادلة على أن طاقة وضع أى نظام في حركة توافقية يتناسب تناسباً طردياً مع مربع الإزاحة من موضع الاتزان.

القوة التي تؤثر بها كل ذرة في الجزيء على الأخرى عند إزاحتها عن موضع الاتزان تتناسب، تقريباً على الأقل، مع التغير في المسافة بين النوايات. فإذا تحقق ذلك تماماً فإن

ذرتي الجزيء تتحركان حركة توافقية عند تركبهما حرتين بعد إزاحتهما عن موضع الإتزان.
بالنسبة للذرة الأولى التي كتلتها m_1 فإن:



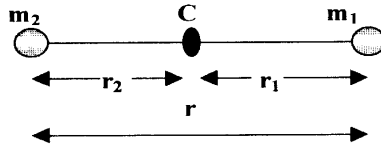
شكل (6): منحنى طاقة الجهد للحركة التوافقية البسيطة

$$m_1 \frac{d^2 r_1}{dt^2} = -kr_1 \quad (1.17)$$

وبالنسبة للذرة الثانية التي كتلتها m_2 فإن:

$$m_2 \frac{d^2 r_2}{dt^2} = -kr_2 \quad (1.18)$$

r_1, r_2 المسافات بين كل من الكتلتين m_1, m_2 ومركز الجاذبية c على التوالي ، r هي المسافة بين الذرتين كما في الشكل الآتي:



ومن الشكل نجد أن:

$$\begin{aligned} m_1 r_1 &= m_2 r_2 \\ \frac{m_1}{m_2} &= \frac{r_2}{r_1} \\ \frac{m_1}{m_1 + m_2} &= \frac{r_2}{r_1 + r_2} = \frac{r_2}{r} \end{aligned} \quad (1.19)$$

بالتعويض نجد أن:

$$r_1 = \frac{m_2}{m_1 + m_2} r, \quad r_2 = \frac{m_1}{m_1 + m_2} r \quad (1.20)$$

ونحصل على:

$$\frac{m_1 m_2}{m_1 + m_2} \frac{d^2 r}{dt^2} = -kr \quad (1.21)$$

وبالتعويض عن الكتلة المختزلة (μ) من العلاقة

$$\begin{aligned} \frac{1}{\mu} &= \frac{1}{m_1} + \frac{1}{m_2} \\ \therefore \mu &= \frac{m_1 m_2}{m_1 + m_2} \end{aligned} \quad (1.22)$$

إذا وضعنا بدلا من r المقدار $r - r_e$ ، حيث r_e مقدار ثابت. r_e عبارة عن مسافة الإمتزان، (شكل 7)، نجد أن:

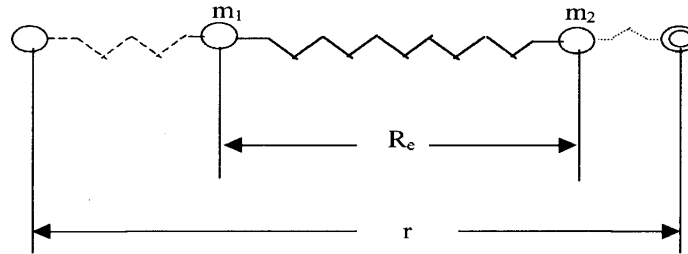
$$\mu \frac{d^2 (r - r_e)}{dt^2} = -kr \quad (1.23)$$

هذه المعادلة هي نفس معادلة الحركة التوافقية إلا أن x حل محلها $(r - r_e)$ وبذلك نكون قد إختزلنا إهتزازات ذرتي الجزيئ الى إهتزازة جسيم واحد كتلته الكتلة المختزلة (μ) وسعتها

تساوى التغير في المسافة بين نواتي الذرتين وموضع الإتران . والمعادلات السابقة تؤدي الى أن ν تساوى

$$\nu = \frac{1}{2\pi} \sqrt{\frac{K}{\mu}} \text{ CPS (Hz)} \quad (1.24)$$

$$\nu' = \frac{1}{2\pi c} \sqrt{\frac{k}{\mu}} \text{ cm}^{-1} \quad (1.25)$$



شكل (7): يمثل إهتزاز كتلتين m_1 و m_2 .

وحيث أن ترددات ذبذبات الجزيئات ترتبط بمجموعة من ذرتين أو ثلاثة أو مجموعة صغيرة من الذرات المتجاورة في الجزيء، والتي لا تعتمد على باقى الجزيء، فيمكن استخدام المعادلة السابقة لحساب القيمة التقريبية لتردد المد لذرتين غير متشابهتين. بالتعويض عن قيمة π c في المعادلة السابقة نحصل على المعادلة التالية لتكون أسهل من الناحية العملية في التطبيق.

$$\nu' = 1307 \sqrt{\frac{K}{\mu}} \text{ cm}^{-1} \quad (1.26)$$

حيث أن K ثابت القوة، وقيمتها تساوى تقريباً 5×10^5 دايين / سم للروابط الفردية وضعف وثلاثة أمثال هذه القيمة في حالة الروابط المزدوجة والثلاثية على الترتيب. و يعوض عنها في هذه المعادلة بالعدد الخالص أى 5, 10, 15 ويخرج الأس خارج الجزر. يعوض عن m بوحدة الكتلة الذرية. ومن هذه المعادلة يمكن حساب قيمة تردد ذبذبة المد C-H كميالى :
وحدة كتلة الهيدروجين = 1 ووحدة كتلة الكربون 12

الكتلة المختزلة

$$\frac{1}{\mu} = \frac{1}{m_1} + \frac{1}{m_2}$$

$$\therefore \mu = \frac{m_1 m_2}{m_1 + m_2} = \frac{12 \cdot 1}{12 + 1} = \frac{12}{13} \approx 1$$

بالتعويض في المعادلة:

$$\nu' = 1307 \sqrt{\frac{5}{1}} = 1307 (2.236) = 2920 \text{ cm}^{-1}$$

يظهر تردد هذه الذبذبة في مادة الميثان عند 2915 cm^{-1} وهذا يتفق تماماً مع القيمة المحسوبة.

يلاحظ من المعادلة السابقة أن تردد ذبذبة الإمتصاص لأي زوج من الذرات تعتمد

على :

1- كتلة الذرات.

2- القوة التي تربط هذه الذرات.

3- التوزيع الهندسي للذرات في الفراغ (لا يظهر في المعادلة).

إذا حددنا قيمة تردد ذبذبة أي زوج من الذرات أمكن حساب ثابت القوة بينها أو طاقة الربط الكيميائية.

8:1 مستويات الطاقة التذبذبية Vibrational Energy Levels

يمكن كذلك تطبيق نظرية الميكانيكا الموجية على الحركة التوافقية. في هذه الحالة تختزل ذبذبات الذرتين في الجزيء ثنائي الذرة إلى حركة جسيم واحد كتلته (μ) وإزاحته من موضع الإتزان تساوى التغير في المسافة بين النوايات ($r - r_e$). بفرض أن طاقة وضع الذرتين تساوى V حيث

$$V = \frac{1}{2} Kx^2$$

نحصل من معادلة شرودنجر التالية :

$$\frac{\partial^2 \Psi}{\partial x^2} + \frac{\partial^2 \Psi}{\partial y^2} + \frac{\partial^2 \Psi}{\partial z^2} + \frac{8\pi^2 m}{h^2} [E - v] \Psi = 0 \quad (1.27)$$

على المعادلة الموجية التي تصف حركة الجسيم (الحركة التوافقية)

$$\frac{\partial^2 \Psi}{\partial x^2} + \frac{8\pi^2 \mu}{h^2} [E - \frac{1}{2} Kx^2] \Psi = 0 \quad (1.28)$$

حلول هذه المعادلة ذات القيمة الوحيدة المحدودة والمستمرة غير موجودة لكل قيم E ولكن توجد فقط لقيمة E التالية :

$$E_v = \frac{h}{2\pi} \sqrt{\frac{K}{\mu}} \left(v + \frac{1}{2} \right) = h\nu_0 \left(v + \frac{1}{2} \right) \quad (1.29)$$

h = ثابت بلانك

E = الطاقة بوحدة الجول

ν_0 = تردد الذبذبة الأساسية

v = العدد الكمي التذبذبي ويأخذ قيم الأعداد الصحيحة بالإضافة الي الصفر (0,1,2,3,...).

يمكن كتابة المعادلة الأخيرة بوحدة cm^{-1} كالآتي:

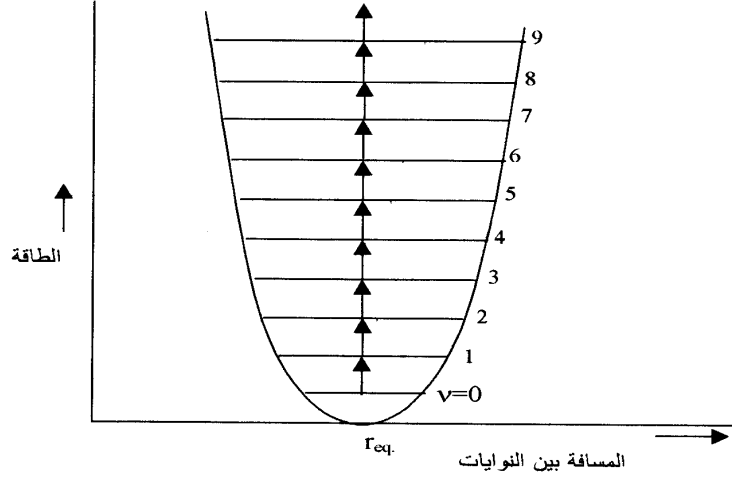
$$\varepsilon_v = \frac{E_v}{hc} = \left(v + \frac{1}{2} \right) \nu'_0$$

$$E_0 = \frac{1}{2} h\nu_0 \quad \text{وعندما } v = 0 \text{ فإن}$$

$$E_1 = \frac{3}{2} h\nu_0 \quad \text{وعندما } v = 1$$

$$E_2 = \frac{5}{2} h\nu_0 \quad \text{وعندما } v = 2$$

يصبح قانون الإنتقاء الذي يحكم الإنتقال التذبذبي للمتذبذب ثنائي الذرة هو $\Delta v = \pm 1$ كما في شكل (8).



شكل (8): مستويات الطاقة التذبذبية والانتقالات المسموحة بينها للحركة التوافقية البسيطة للجزيء ثنائي الذرة.

التردد الوحيد الذي يظهر في الطيف هو التردد الأساسي ν_0 . وفي الحقيقة هذا لا يحدث لأن ظهور تردد خالص للجزيء ثنائي الذرة نادر والسبب في ذلك أن دوران الجزيء يحدث في آن واحد مع التذبذب ولكن بتردد أقل بمعامل 10^2 أو 10^3 . تتزاوج الحركتان الدورانية والتذبذبية بنفس طريقة البندولين المتصلين ونتيجة لذلك يظهر بدلا من تردد تذبذبي خالص ترددان بين $\nu_0 \pm \nu_r$ يقعان بجوار ν_0 .

9:1 الطيف الدوراني للجزيء ثنائي الذرة في الحالة الغازية

Rotational Spectra of Diatomic Molecule in Gaseous State

تعتبر الذرتان m_1, m_2 كنقطتين مثبتتين في نهاية قضيب صلب طوله r . تعبر العلاقة التالية عن طاقة دوران الجسم الصلب

$$E = \frac{1}{2} I \omega^2 \quad (1.30)$$

حيث ω = السرعة الزاوية للدوران.

I = عزم القصور الذاتي للنظام حول محور الدوران.

تعطى العلاقة بين السرعة الزاوية والتردد الدوراني بالمعادلة:

$$\omega = 2 \pi \nu_{\text{rot}} \quad (1.31)$$

يعرف عزم القصور الذاتي بالعلاقة التالية:

$$I = \sum m_i r_i^2 \quad (1.32)$$

يمر محور دوران أي نظام معلق تعليقاً حراً في الفراغ بمركز الجاذبية c. وتعطى

كمية الحركة الزاوية للنظام بالعلاقة:

$$P = I \omega \quad (1.33)$$

نلاحظ مما سبق أن الطاقة الدورانية تعتمد أساساً على عزم القصور الذاتي. بالنسبة

للمنموذج الذي اعتبرناه للجزيء ثنائي الذرة نجد أن :

$$I = m_1 r_1^2 + m_2 r_2^2 \quad (1.34)$$

حيث: $m_1 r_1 = m_2 r_2$

$$I = m_2 r_2 r_1 + m_2 r_2 r_2$$

$$I = m_2 r_2 [r_1 + r_2]$$

$$I = m_2 r_2 r$$

$$r_1 = \frac{m_2}{m_1 + m_2} r, \quad r_2 = \frac{m_1}{m_1 + m_2} r \quad \text{و سبق أن بينا أن:}$$

r_1 و r_2 عبارة عن المسافات بين كل من m_1 و m_2 ومركز الجاذبية c. و r هي

المسافة بين الكتلتين النقطيتين m_1 و m_2 . بالتعويض نحصل على:

$$I = \frac{m_1 m_2}{m_1 + m_2} r^2 = \mu r^2 \quad (1.35)$$

معنى ذلك أن عزم القصور الذاتي للنظام هو نفسه عزم القصور الذاتي لكنتة نقطية كتلتها:

$$\mu = \frac{m_1 m_2}{m_1 + m_2}$$

وعلى مسافة r من المحور. وتسمى μ الكتلة المختزلة للجزيء. أى أننا استبدلنا دوران النظام بدوران كتلة نقطية واحدة كتلتها μ ومثبتة على مسافة r من محور الدوران. هذا النظام يسمى الدوار الصلب البسيط . Simple Rigid Rotator.

10:1 مستويات الطاقة الدورانية Rotational Energy Levels

لتحديد حالات الطاقة المحتملة للدوار الصلب باستخدام نظرية الكم لابد من حل معادلة شرودنجر مع التعويض عن قيمة الكتلة m بالكتلة المختزلة μ وعن طاقة الوضع بالصفر حيث لا توجد طاقة وضع للحركة الدورانية. باعتبار أن الدوار صلب تماما، ومعادلة شرودنجر التي تعبر عن ذلك هي :

$$\frac{\partial^2 \Psi}{\partial x^2} + \frac{\partial^2 \Psi}{\partial y^2} + \frac{\partial^2 \Psi}{\partial z^2} + \frac{8\pi^2 m}{h^2} E \Psi = 0 \quad (1.36)$$

حيث : ثابت $r^2 = x^2 + y^2 + z^2$

الحلول وحيدة القيمة المحدودة والمستمرة توجد عند قيمة معينة E وهي :

$$E = \frac{h^2 J[J+1]}{8\pi^2 \mu r^2} = \frac{h^2 J[J+1]}{8\pi^2 I} \quad (1.37)$$

حيث J العدد الكمي الدوراني و I عزم القصور الذاتي للجزيء حول محور دورانه.

يتضح أن قانون الانتقاء للطيف الدوراني الخالص للجزيء ثنائي الذرة هو:

$$\Delta J = \pm 1$$

من المعادلة (1.37) السابقة نجد أن $E_0 = 0$

$$E_1 = \frac{2h^2}{8\pi^2 I} \quad (1.38)$$

يكون تردد الخط الدوراني الأول بالهيرتز هو:

$$\nu_r = \frac{2h}{8\pi^2 I} \text{ Hz} \quad (1.39)$$

العدد الموجي له يساوى :

$$\nu'_r (\text{cm}^{-1}) = \frac{2h}{8\pi^2 Ic} = 2B \quad (1.40)$$

حيث

$$B = \frac{h}{8\pi^2 Ic} \quad (1.41)$$

و B تسمى ثابت الدوران.

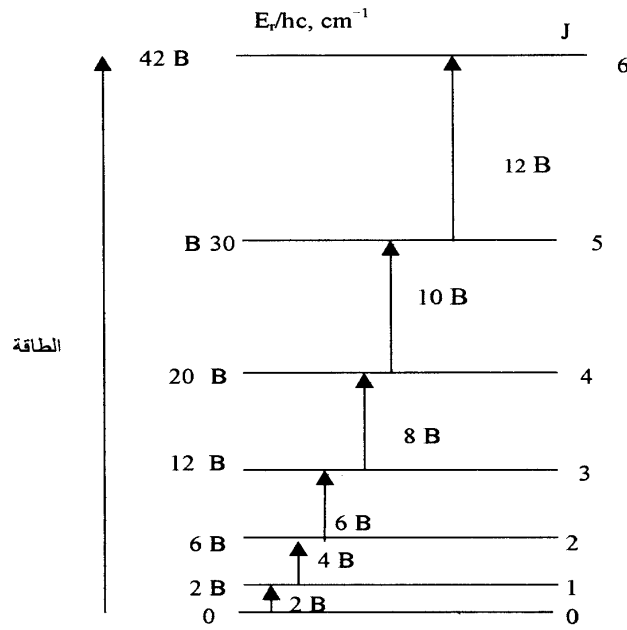
$$\frac{\Delta E}{h} = \nu \text{ Hz}$$

$$\varepsilon = \frac{\Delta E}{hc} = \nu' \text{ cm}^{-1} \quad \text{علما بأن:}$$

باستمرارنا بنفس الطريقة للانتقالات الدورانية : $J=1 \rightarrow J=2 \rightarrow J=3$

نرى أن الطيف الدوراني الخالص للجزيء ثنائي الذرة يتكون من سلسلة من الخطوط ذات الأعداد الموجية $2B, 4B, 6B, \dots$ الخ مع وجود فاصل ثابت بين الأعداد الموجية يساوى $2B$ ، شكل (9) يتناسب هذا الفاصل عكسيا مع عزم القصور الذاتي. على هذا يمكن قياس عزم القصور الذاتي من الطيف الدوراني الخالص وكذلك أبعاد الجزيء، وحيث أن عزم القصور

الذاتي I يكون دائما كبيرا فإن الطيف الدوراني يظهر في منطقة الأشعة تحت الحمراء البعيدة .Far IR



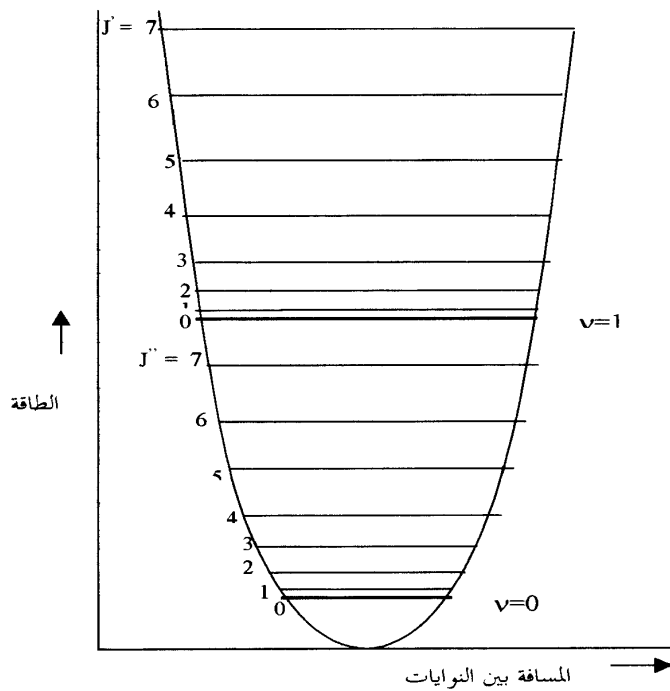
شكل (9): مستويات الطاقة الدورانية والانتقالات المسموحة بينها لجزيء ثنائي الذرة صلد

1.11 : الطيف التذبذبي الدوراني للأشعة تحت الحمراء Infrared Vibration - Rotation Spectra

يعبر عن تردد الأشرطة في الطيف التذبذبي الدوراني بالمعادلة التالية :

$$\nu_{vr} = \Delta [E_v + E_r] / h \quad (1.42)$$

يمثل شكل (10) مستويات الطاقة الدورانية لمستويين من مستويات الطاقة التذبذبية للجزيء ثنائي الذرة.



شكل (10): مستويات الطاقة الدورانية لمستويين من مستويات الطاقة التذبذبية للجزيء ثنائي الذرة.

تعطى الطاقة التذبذبية والدورانية الكلية للجزيء ثنائي الذرة من المعادلة (مع إعتبار أن الاهتزاز توافقي وأن الدوار صلد تماما) من المعادلة:

$$E_{vr} = (v + 1/2) h\nu_0 + \frac{h^2}{8\pi^2 I} J [J + 1] \quad (1.43)$$

إذا حدث انتقال بين مستويين ورمزنا لطاقة المستوى الأعلى منها E'_{vr} وللمستوى الأقل E''_{vr} نحصل على:

$$\Delta E_{vr} = E'_{vr} - E''_{vr} = h\nu_0 [\nu' - \nu''] + B_0 h [J'(J' + 1) - J''(J'' + 1)] \quad (1.44)$$

$$\nu' - \nu'' = 1 \quad \text{بالنسبة للأشربة الأساسية}$$

حيث:

$$B_0 = \frac{h}{8\pi^2 I} = Bc \quad (1.45)$$

عندئذ

$$\Delta E_{vr} = h\nu_0 + B_0 h [J'(J' + 1) - J''(J'' + 1)] \quad (1.46)$$

يجب الآن أن نأخذ في الاعتبار الأساليب المحتملة أن تتغير بها أعداد الكم الدورانية حسب قانون الانتقاء.

$$\Delta J = 0 \quad \text{or} \quad \pm 1$$

$$J' - J'' = 1 \quad \text{أ- إذا كانت}$$

بالتعويض عن J'' في المعادلة السابقة نجد أن:

$$\Delta E_{vr} = h\nu_0 + 2 B_0 h J' \quad (1.47)$$

$$J' = 1, 2, 3, \dots \quad \text{حيث}$$

ولا تساوى الصفر لأن ذلك يستلزم أن تكون J'' سالبة .

$$J' - J'' = -1 \quad \text{ب- إذا كانت}$$

بالتعويض عن J' نجد

$$\Delta E_{vr} = h\nu_0 - 2B_0 h \quad (1.48)$$

$$J'' = 1, 2, 3, \dots \quad \text{حيث أن}$$

$$J' - J'' = 0 \quad \text{ج- إذا كانت}$$

وهذا لا يحدث إلا في حالات خاصة ونادرة لأنه كما ذكرنا سابقا فإن وجود طيف تذبذبي خالص يكون نادرا.

$$\Delta E_{vr} = h\nu_0 \quad (1.49)$$

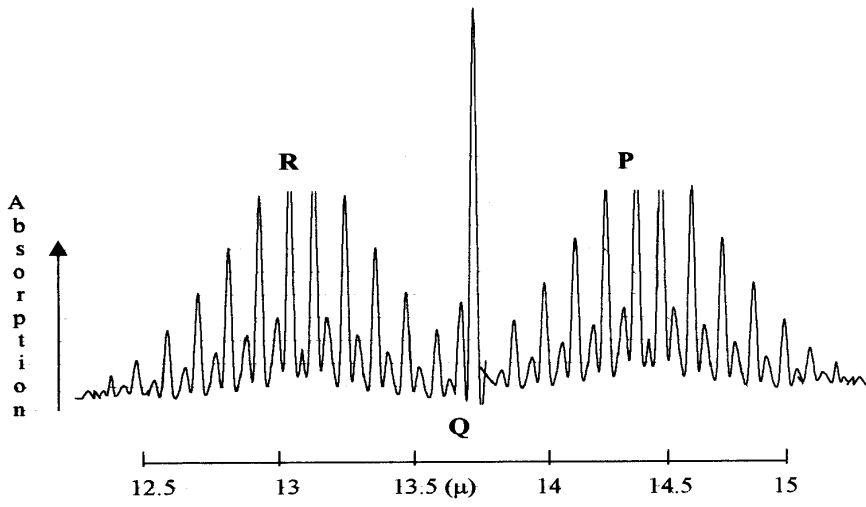
بجمع المعادلات الثلاثة السابقة نجد أن

$$\Delta E_{vr} = h\nu_0 + \frac{2h^2 M}{8\pi^2 I} = h\nu_0 + 2 B_0 h J \quad (1.50)$$

M تحل محل $J' + 1$ أو $J'' + 1$

حيث $J = 0, \pm 1, \pm 2, \pm 3$

١ - إذا عوضنا عن $J = 0$ ، نحصل على انتقال تذبذبي غير مصاحب بأي تغير في عدد الكم الدوراني ويتكون خط مفرد قوي في منطقة الشريط التذبذبي الدوراني يطلق عليه خط الصفر أو الفرع Q (شكل 11) .



شكل (11): أفرع الأشربة التذبذبية الدورانية.

ب - إذا أخذت J القيم الموجبة تتكون سلسلة من الخطوط تفصلها مسافات متساوية تقع على جانب التردد الأعلى للأصل وتكون هذه الخطوط الخط الموجب أو الفرع R .

ج - إذا أخذت J القيمة السالبة تتكون سلسلة من الخطوط تقع في جهة التردد الأدنى للأصل وتكون هذه الخطوط الخط السالب أو الفرع P . ويمكن استخدام المعادلات السابقة في حالة الجزيئات متعددة الذرات.

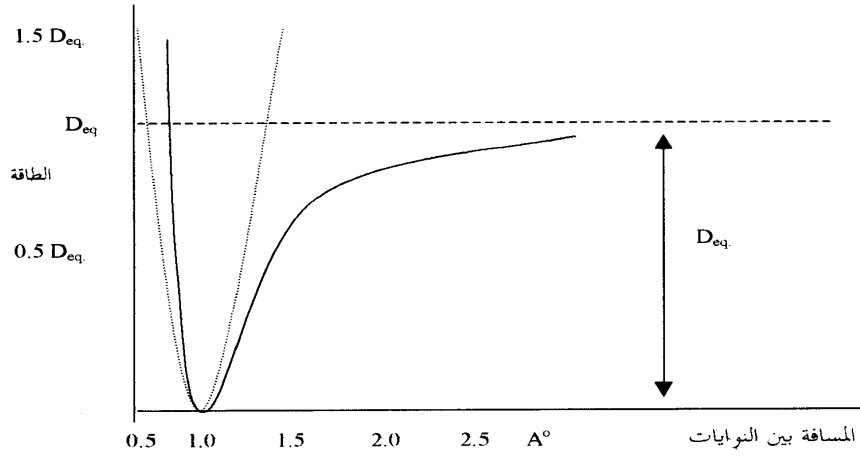
12:1 المهتز اللاتوافقي Anharmonic Oscillator

نموذج الحركة التوافقية البسيطة التي تتميز بمنحنى الجهد ذي القطع المكافئ، لا ينطبق تماما على الجزيئات الحقيقية لأن الجزيء الحقيقي يعتبر مهتزلاتوافقي، ولابد أن نأخذ في الاعتبار تأثير اللاتوافق على مستويات الطاقة الاهتزازية للحركة التوافقية البسيطة. فالروابط الحقيقية بالرغم من أنها مرنة إلا أنها ليست تامة المرونة لدرجة تجعلها تحقق قانون هوك [القوة المراجعة = ثابت القوة \times الإزاحة $F = -kx$]، وعندما تتمدد الرابطة تتباعد ذرات الجزيء عن بعضها إلى حد تنكسر عنده الرابطة ويتفكك الجزيء إلى ذرات، وعندما لا يوجد شيء يمسك الذرات ببعضها فإنه لا يكون هناك مسافات بين مستويات الطاقة الاهتزازية، ويقال في مثل هذه الحالة بأنه توجد مستويات طاقة اهتزازية متصلة، وبالرغم من أن التمددات و الإنكمشات الصغيرة للرابطة يمكن إعتبارها مرنة إلا أنه في حالة السعات الكبيرة من التمدد أو الانكماش [أكثر من 10% من طول الرابطة مثلا] ينشأ سلوك أكثر تعقيدا. والشكل (12) يمثل منحنى الطاقة للجزيء ثنائي الذرة في حالة الاهتزاز التوافقي (الخط المقطع)، وفي حالة الاهتزاز اللاتوافقي (الخط المتصل).

وقد اشتق مورس تعبيراً رياضياً يطابق (لدرجة جيدة من التقريب) منحنى الجهد للمهتز اللاتوافقي، ويطلق على هذا التعبير دالة مورس Morse Function (شكل 13) ويكتب على الصورة التالية:

$$E = D_{eq} [1 - \exp (a\{r_{eq} - r\})]^2 \quad (1.51)$$

حيث a ثابت للجزيء و D_{eq} تمثل طاقة التفكك.



شكل (12): منحني الطاقة للجزيء ثنائي الذرة في حالة الاهتزاز التوافقي (الخط المقطع)، وفي حالة الاهتزاز اللاتوافقي (الخط المتصل).

وعند التعويض بالمعادلة السابقة في معادلة شرودنجر وحل المعادلة الناتجة نحصل على مستويات الطاقة والانتقالات المسموحة بينها للمهتز ثنائي الذرة اللاتوافقي والتي يعبر عنها بالمعادلة التالية:

$$E_v = (v + \frac{1}{2}) h\nu - (v + \frac{1}{2})^2 h\nu X_e \quad (1.52)$$

وبوحدات cm^{-1}

$$\epsilon_v = \frac{E}{hc} = (v + \frac{1}{2}) \nu'_e - (v + \frac{1}{2})^2 \nu'_e X_e \quad (1.53)$$

حيث تمثل ν'_e تردد الاهتزاز (معبرا عنها بالأعداد الموجية)، X_e ثابت اللاتوافق، ويكون دائما صغيرا وموجبا. والمعادلة الأخيرة مقربة لأن المعادلات الأكثر دقة والتي تمثل مستويات الطاقة تستلزم استخدام مربع ومكعب المصطلح $(v + \frac{1}{2})$ كما في المعادلة التالية:

$$E_v = (v + \frac{1}{2}) h\nu - (v + \frac{1}{2})^2 h\nu X_e - (v + \frac{1}{2})^3 h\nu X_e \quad (1.54)$$

يمكن إعادة كتابة معادلة المهتز اللاتوافقي على الصورة التالية :

$$\varepsilon_v = \nu'_e [1 - X_e (v + \frac{1}{2})](v + \frac{1}{2}) \quad (1.55)$$

بمقارنة هذه المعادلة بمعادلة مستويات طاقة المهتز التوافقي، المعادلة:

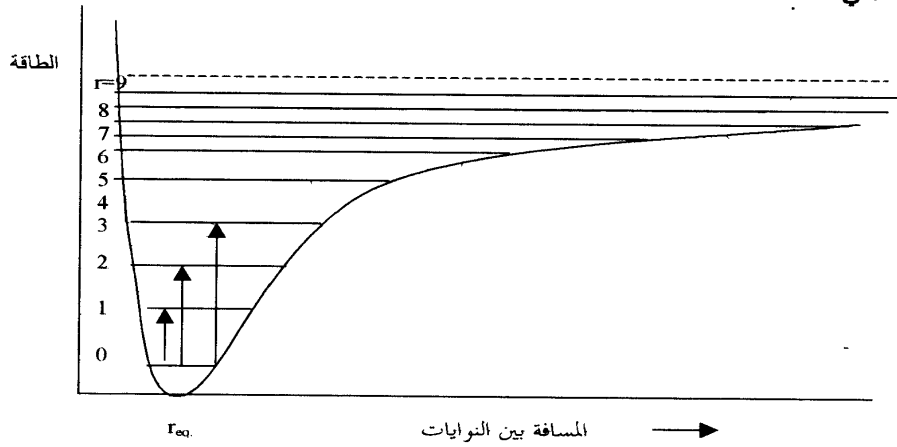
$$\varepsilon_v = \frac{E_v}{hc} = (v + \frac{1}{2})\nu'$$

وهي نفس المعادلة رقم (1.29) والتي يعبر فيها عن الطاقة بالجول، نجد أنه يمكن كتابة :

$$\nu'_{osc} = \nu'_e [1 - X_e (v + \frac{1}{2})] \quad (1.56)$$

تمثل هذه المعادلة تردد الاهتزاز للمستوى v لذلك يصبح تردد الاهتزاز للمستوى $v=0$

كالآتي:



شكل (13): مستويات الطاقة والانتقالات المسموحة بينها للحركة اللاتوافقية للجزيء ثنائي الذرة.

$$\nu'_0 = \nu'_e (1 - \frac{1}{2} X_e) \text{ cm}^{-1} \quad (1.57)$$

تمثل هذه المعادلة تردد نقطة الصفر أما طاقة نقطة الصفر للمهتز اللاطوافي تصبح :

$$\epsilon_0 = \frac{1}{2} \nu'_e (1 - \frac{1}{2} X_e) \text{ cm}^{-1} \quad (1.58)$$

من هنا نرى أن طاقة الصفر تختلف قليلا عن قيمتها في حالة المهتز التوافقي. ونعلم أن قانون الانتقاء للمهتز التوافقي $\Delta V = \pm 1$ ، أما في حالة المهتز اللاطوافي فإن هذا القانون يصبح :

$$\Delta V = \pm 1, \pm 2, \pm 3$$

والانتقال المضاعف في حالة المهتز اللاطوافي يصبح ممكنا ولكن احتمالية الانتقال وبالتالي شدة الخط الطيفي تكون أقل عندما تتغير بأكثر من واحد. من المعروف أن معظم الجزيئات عند درجات الحرارة العادية تكون في أوطأ حالة إهتزازية أي عند $v=0$. يمكن حساب عدد الجزيئات في المستوى $v=1$ مقارنة بعدها في المستوى $v=0$ من قانون بولتزمان للتوزيع:

$$\frac{N_{v=1}}{N_{v=0}} = e^{-\frac{\Delta E}{KT}} = e^{-\frac{\Delta \epsilon_{hc}}{KT}} \quad (1.59)$$

الفرق بين المستويات الاهتزازية يكون في حدود 10^3 cm^{-1} وبالتعويض في معادلة بولتزمان نحصل على:

$$\begin{aligned} \frac{N_{v=1}}{N_{v=0}} &= \exp\left(\frac{-6.63 \times 10^{-34} \times 3 \times 10^{10} \times 10^3}{1.38 \times 10^{-23} \times 300}\right) \\ &= \exp(-4.8) \cong 0.008 \end{aligned} \quad (1.60)$$

أي أن تعداد المستوى $v=1$ يساوي تقريبا 0.01 أو 1% من تعداد المستوى الأرضي $v=0$. يعتبر عدد الجزيئات في المستويات المثارة العليا أقل بكثير ويمكن إهماله. عموما يمكن بدرجة تقريبية جيدة إهمال جميع الانتقالات التي تحدث من المستوى $v=1$ فما فوق. نهتم بالانتقالات التي تبدأ من $v=0$ ، ونعتبر أول ثلاث إنتقالات تبدأ من $v=0$.

(1) في حالة الانتقال $v = 0 \rightarrow v = 1$

$$\Delta v = +1$$

$$\Delta \epsilon_1 = \epsilon_{v=1} - \epsilon_{v=0} \quad (1.61)$$

$$= \{ [(1+\frac{1}{2}) \nu_e' - (1+\frac{1}{2})^2 \nu_e' X_e] - [(0+\frac{1}{2}) \nu_e' - (0+\frac{1}{2})^2 \nu_e' X_e] \}$$

$$= \nu_e' (1 - 2X_e) \text{ cm}^{-1} \quad (1.62)$$

(2) في حالة الانتقال $v = 0 \rightarrow v = 2$

$$\Delta v = +2$$

$$\Delta \epsilon_2 = 2 \nu_e' [1 - 3X_e] \text{ cm}^{-1} \quad (1.63)$$

(3) في حالة الانتقال $v = 0 \rightarrow v = 3$

$$\Delta v = +3$$

$$\Delta \epsilon_3 = 3 \nu_e' [1 - 4X_e] \text{ cm}^{-1} \quad (1.64)$$

يعرف الامتصاص الناتج عن الانتقال $\Delta \epsilon_1$ بالامتصاص الأساسي Fundamental Absorption، أما الامتصاصات التي تنشأ عن الانتقالات $\Delta \epsilon_2, \Delta \epsilon_3$ تكون شدتها أقل كثيراً من الامتصاص الأساسي ويطلق عليها التردد المضاعف الأول First Overtone والتردد المضاعف الثاني Second Overtone على التوالي. إن قيمة X_e تساوى تقريباً 0.01، ويمكننا القول بأن الامتصاصات الثلاثة $\Delta \epsilon_1, \Delta \epsilon_2, \Delta \epsilon_3$ تقع بالقرب من $\nu_e', 2\nu_e', 3\nu_e'$ على التوالي. ونأخذ مثال على ذلك طيف HCl الذي يعطى امتصاص قوي عند 2866 cm^{-1} وآخر ضعيف عند 5668 cm^{-1} وآخر أضعف عند 8347 cm^{-1} . وبحل أي معادلتين من المعادلات التالية:

$$\nu_e' (1 - 2X_e) = 2886 \text{ cm}^{-1}$$

$$2 \nu_e' (1 - 3X_e) = 5668 \text{ cm}^{-1}$$

$$3 \nu_e' (1 - 4X_e) = 8347 \text{ cm}^{-1}$$

نحصل على تردد الاتزان

$$\nu_e' = 2990 \text{ cm}^{-1}, X_e = 0.0174$$

عند درجات الحرارة العالية [أعلى من درجة حرارة الغرفة] تظهر الأشطرة الساخنة Hot Bands التي تنشأ عن الانتقالات:

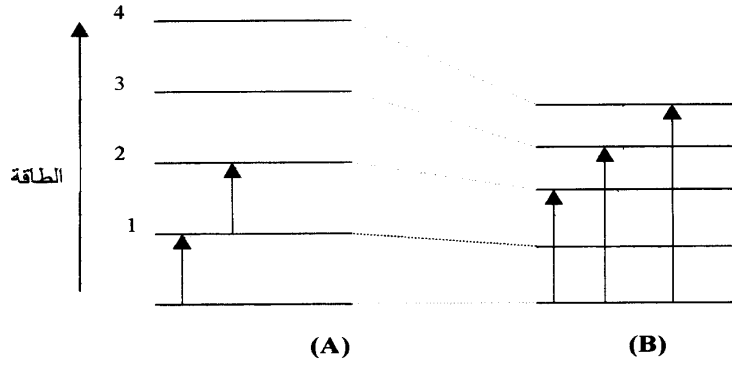
$$v = 1 \rightarrow v = 2, \quad v = 2 \rightarrow v = 3$$

وذلك لأن عدد الجزيئات في المستويات العليا يزداد عند درجات الحرارة العالية. أي أنه يمكن أن يتواجد عدد كافٍ من الجزيئات في المستوى الاهتزازي $v = 1$ وعند انتقالها إلى مستوى أعلى فإنها ستعطى امتصاص ضعيف و الانتقال إلى $v = 2$ يعطى بالعلاقة:

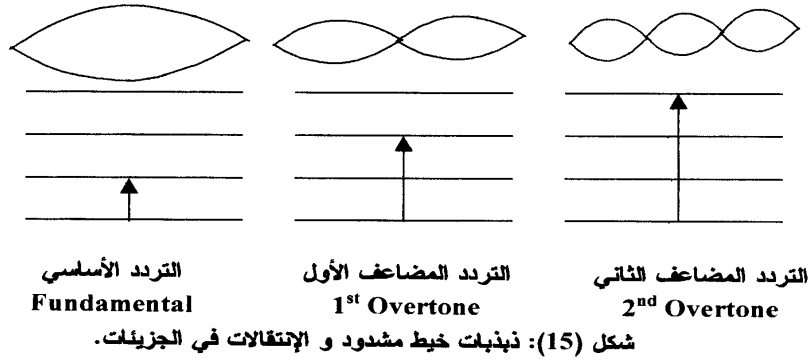
$$\Delta \epsilon = \epsilon_{v=2} - \epsilon_{v=1} = \nu_e (1 - 4X_e) \quad (1.65)$$

يتضح من ذلك أن هذا الامتصاص الضعيف يحدث عند تردد أقل بقليل من تردد الانتقال الناتج عن الامتصاص الأساسي ، وتزداد شدة شريط هذا الامتصاص كلما ارتفعت الحرارة، لذلك سميت هذه الأشطرة بالأشطرة الساخنة Hot Bands.

مما سبق نرى أنه ينشأ عن اللاتوافق بعض النتائج الهامة مثل:
1- تقل المسافة بين مستويات الطاقة التذبذبية كلما زاد العدد الكمي التذبذبي كما هو واضح من شكلين (13 و 14). ويمكن تمثيل المضاعفات بذبذبات خيط مشدود كما في شكل (15).



شكل (14): مستويات الطاقة والانتقالات المسموحة بينها في حالة (A) المهتز التوافقي (B) المهتز اللاتوافقي.



- 2- لا يتحقق قانون الانتقاء $\Delta v = \pm 1$. ولكن من المحتمل أن تأخذ الأعداد الكمية التذبذبية القيم $\pm 1, \pm 2, \pm 3, \dots$. ويتكون الطيف عندئذ من الترددات الأساسية ومضاعفات تردد هذه الذبذبات (Overtones) أي عند الترددات $2\nu_1, 3\nu_1, \dots$ نتيجة مضاعفة التردد الأساسي.
- 3- وأخيرا يظهر في طيف الجزيئات متعددة الذرات أشرطة ناتجة عن تراكب أو جمع ترددين أو أكثر $\nu_1 + \nu_2$ أو الفرق بينهما $\nu_2 - \nu_1$. ويلاحظ دائما أن شدة إمتصاص مضاعفات التردد أو أشرطة التراكب أو الفرق تكون أضعف بكثير من شدة إمتصاص الأشرطة الأساسية.

Non Rigid Rotator

13:1 الدوار غير الصلب

أهملنا في حالة الطيف الدوراني للجزيء ثنائي الذرة الصلب تأثير الإمتطاط المركزي Centrifugal Stretching Effect على طول رابطة الجزيء وبالتالي على عزم القصور الذاتي للنظام الدوار. وتأثير الإمتطاط المركزي يكون أكثر أهمية عند القيم العالية من J ، أي أن طول الرابطة يزداد بزيادة J . ويمكن حساب تأثير الإمتطاط المركزي كالتالي.

نفرض أن لدينا جسما ذا كتلة m تدور حول نقطة ثابتة بسرعة مقدارها ω . في حالة عدم وجود دوران يكون الجسم على بعد r_0 من النقطة الثابتة، وتزداد قيمة هذه المسافة كلما

دار الجسم حتى تصبح r . وعند ما تتزن القوة المركزية ($mr\omega^2$) مع القوة الارجاعية $K(r - r_0)$ التي تصاحب إمتطاط الرابطة ، أي عندما :

$$K(r - r_0) = mr\omega^2 \quad (1.66)$$

فإن طول الرابطة يساوى :

$$r = \frac{Kr_0}{K - m\omega^2} \quad (1.67)$$

حيث أن طاقة النظم الدوار يتكون من طاقة حركة وطاقة جهد

$$E = \frac{1}{2}I\omega^2 + \frac{1}{2}K(r - r_0)^2 \quad (1.68)$$

$$= \frac{1}{2}I\omega^2 + \frac{1}{2} \frac{Km^2r^2\omega^4}{K^2} \quad (1.69)$$

$$E = \frac{1}{2}I\omega^2 + \frac{1}{2} \frac{(I\omega^2)^2}{Kr^2} \quad (1.70)$$

$$E = \frac{h^2J(J+1)}{8\pi^2I} + \frac{h^4}{32\pi^4I^2r^2K} J^2(J+1)^2 \quad (1.71)$$

$$= \frac{h^2}{8\pi^2mr^2} J(J+1) + \frac{h^4}{32\pi^4m^2r^6k} J^2(J+1)^2 \quad (1.72)$$

بالتعويض عن r بقيمة r_0

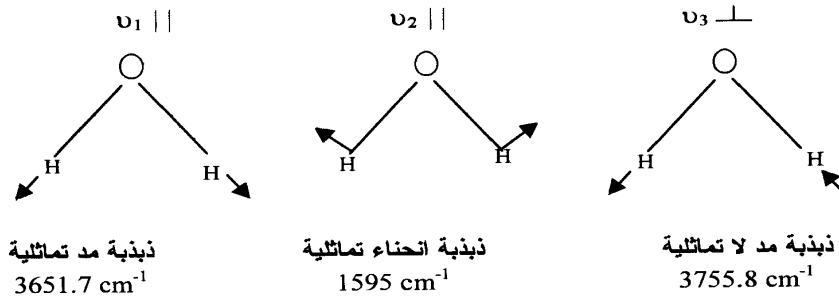
$$= \frac{h^2}{8\pi^2mr_0^2} J(J+1) - \frac{h^4}{16\pi^4m^2r_0^6k} J^2(J+1)^2 + \frac{h^4}{32\pi^4m^2r_0^6k} J^2(J+1)^2 \quad (1.73)$$

وينتضح من الشكل أن الفرق يكون أكثر وضوحا عند قيم J العالية. أي أن الاختلاف بين قيم D & B يعتبر صغيرا في حالة قيم J الصغيرة وكذلك يهمل الجزء $DJ^2(J+1)^2$ من المعادلة. إلا أن هذا الجزء يصبح مهما عند قيم J العالية عندما $J > 10$, ولا يمكن إهماله.

14:1 الأنماط القياسية للذبذبات الأساسية (للجزيء المتعدد الذرات)

Normal Modes of Vibrations (Poly Atomic Molecule)

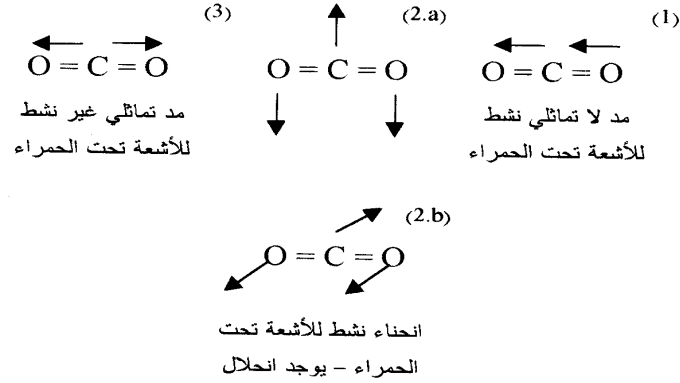
الجزيء غير الخطي الذي يحتوي على عدد N من الذرات لديه ثلاثة درجات من الحرية تنظر الحركة على المحاور الكرتيزية الثلاثة، فيكون للجزيء $3N$ درجة من درجات الحرية ثلاثة منها انتقالية بسبب انتقال الجزيء على المحاور الثلاثة، وثلاثة دورانية بسبب دوران الجزيء حول المحاور الثلاثة. ويبقى بعد ذلك $3N-6$ حركة تذبذبية. إذن من المفروض أن يظهر للجزيء الغير خطي امتصاص قوى عند $3N-6$ من الترددات المختلفة. الأنماط القياسية الثلاثة للذبذبات الجزيء الغير خطي والذي يحتوى على ثلاثة ذرات مثل H_2O موضحة بالرسم شكل (17).



شكل (17) : الأنماط القياسية للذبذبات الجزيء غير خطي ثلاثي الذرات (H_2O)

في حالة الجزيئات الخطية ثلاثية الذرات مثل CO_2 تظهر لها $3N-5 = 4$ أنماط قياسية للذبذبات كما هو مبين بالشكل (18).

وحيث أن الذبذبتين (2.a)، (2.b) لهما نفس التردد فإننا نتوقع وجود ثلاث ترددات تذبذبية مختلفة للجزيء، ولكن لا يظهر في طيف إمتصاص هذا الجزيء غير شريطين فقط عند 2349 cm^{-1} ، 667 cm^{-1} وذلك بسبب قانون الإنتقاء والإتحلال Degeneracy. ويقصد بالإتحلال وجود مستويين أو أكثر من مستويات الطاقة بنفس قيمة الطاقة بالضبط.



شكل (18): الأنماط القياسية للذبذبات في حالة الجزيئات الخطية ثلاثية الذرات (CO_2).

جدول (3): درجات الحرية لجزيء متعدد الذرات.

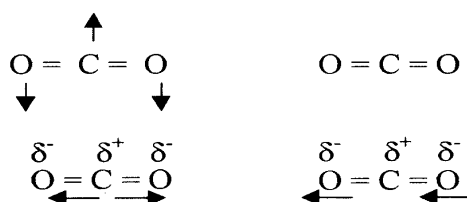
درجات الحرية		الحركة
خطي	غير خطي	
3	3	الإنتقالية الدورانية التذبذبية
2	3	
3 N-5	3N- 6	
3 N	3 N	المجموع

15:1 قوانين الإنتقاء وشدة الإمتصاص Selection Rules and The Intensity of Bands

لكي يحدث إمتصاص للأشعة الكهرومغناطيسية، من وجهة نظر الميكانيكا الكلاسيكية، يجب أن يحدث تغير في عزم ثنائي القطب [للمجموعة المهتزة] للرابطة أثناء التذبذب. وتتناسب شدة الإمتصاص مع مربع التغير في عزم ثنائي القطب. فكلما كان التغير في عزم ثنائي القطب كبيراً كلما كانت شدة شريط الإمتصاص قوية طبقاً للعلاقة.

$$A \propto \left(\frac{d\mu}{dr} \right)^2 \quad (1.79)$$

حيث A شدة الإمتصاص، μ عزم ثنائي القطب، r المسافة بين النواتين [لذبذبة المد].
والجدير بالذكر أنه في حالة عدم وجود تغير في عزم ثنائي القطب تكون شدة شريط الإمتصاص صفراً أي لا يوجد شريط إمتصاص. نلاحظ أيضاً أن قانون الإنتقاء له دور كبير في إختفاء بعض أشرطة الإمتصاص. ويمكن توضيح ذلك بالرجوع مرة ثانية إلى ثاني أكسيد الكربون الموضح بشكل (19).



شكل (19): ذبذبت ثاني أكسيد الكربون.

مجموعة الكربونيل دائماً مستقطبة بسبب الإختلاف في السالبية الكهربائية بين الكربون و الأكسجين. تمدد هذه الرابطة يزيد من عزم ثنائي القطب وتزداد عندئذ شدة إمتصاص شريط المد $C=O$ في الأحماض والكيوتونات والألدهايد وأحماض الكلورايد...الخ. وهذا هو سبب ظهور شريط إمتصاص هذه المجموعة دائماً قوياً.

قانون الانتقاء الذي يحكم الانتقال التذبذبي التوافقي لجزيء ثنائي الذرة من وجهة نظر ميكانيكا الكم هو $\Delta v = \pm 1$ حيث v العدد الكمي التذبذبي.

16:1 أنواع الذبذبات الجزيئية Types of Molecular Vibrations (1) ذبذبة المد Stretching Vibration

عبارة عن حركة دورية للأمام والخلف (مد وإرتخاء) على محور رابطة التكافؤ بين ذرتين أو ثلاث مثل $\text{C}-\text{H}$ وينتج عن ذلك تغير في طول الرابطة Bond Length. وحيث أن كتلة ذرة الهيدروجين أخف بكثير من كتلة ذرة الكربون ، علاوة على أنها أحادية التكافؤ، فإن حركتها تكون أكبر بكثير من حركة ذرة الكربون. أما في حالة مجموعة الكربونيل $\text{C}=\text{O}$ نجد أن حركة ذرة الكربون تساوى تقريباً حركة ذرة الأكسجين بسبب تقاربهما في الكتلة الذرية. يطلق على ذبذبة المد أحادية الرابطة أو ثنائية الرابطة أو ثلاثية الرابطة إذا كانت الرابطة بين الذرات أحادية أو ثنائية أو ثلاثية على التوالي. يعتمد تردد ذبذبة المد على عدد الروابط بين الذرات فكلما زاد عدد الروابط زاد ثابت القوة وزاد تبعاً لذلك تردد الذبذبة. وتصنف ذبذبة المد إلى :

أ- ذبذبة المد التماثلية Symmetrical Stretching Vibration

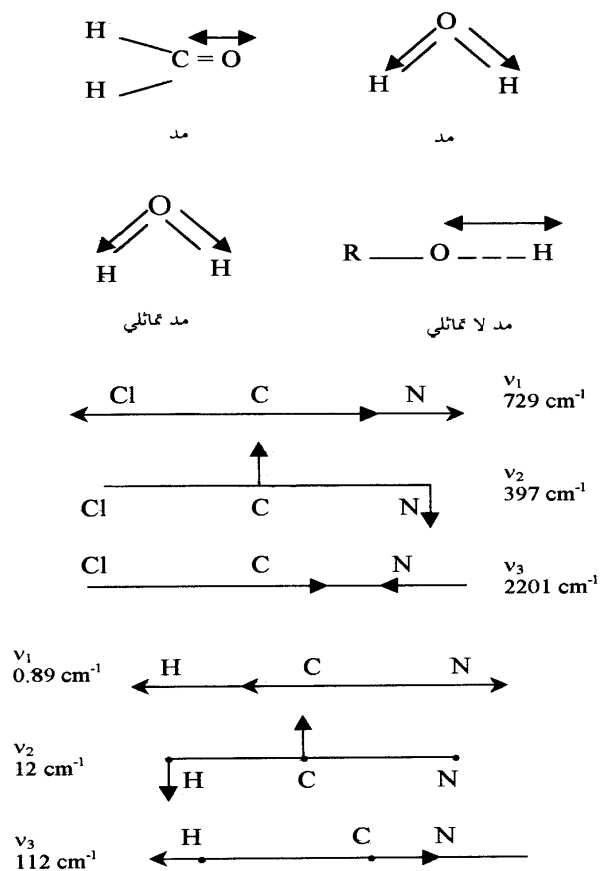
عندما ترتبط ذرتان متشابهتان بذرة مركزية واحدة مثل CH_2 تنشأ ذبذبتا مد إحداهما ذبذبة المد التماثلية وذلك عندما تتحرك كل من الذرتين المتشابهتين على محور خط التكافؤ مع الذرة المركزية، في نفس الطور والأخرى.

ب - ذبذبة المد اللاتماثلية Asymmetrical Stretching Vibration

وتنشأ عندما تتحرك الذرتان المتشابهتان على امتداد محور خط تكافؤهما مع الذرة المركزية في عكس الطور (شكل 20).

الفرق بين تردد ذبذبات المد التماثلية واللاتماثلية للمجموعة CH_2 ليس كبيراً. طاقة " أو تردد" الذبذبة التماثلية أقل من طاقة "أو تردد" الذبذبة غير التماثلية. إذا كان للجزيء ذرات طرفية مختلفة مثل HCN ، ClCN فإن ذبذبتي المد لن يكونا عند نفس تماثلية ولا تماثلية ذات

روابط متشابهة ولكن سيكون لديهما نسب متغيرة من حركة المد لكل مجموعة ويتضح ذلك من الشكل (20).



شكل (20) : الذبذبات القياسية لكل من HCN (i)، ClCN (ii).

2) ذبذبة الإحناء أو الثني Bending Vibration

عبارة عن الحركة عبر رابطة التكافؤ بين الذرات أو هي الإهتزازة التي ينشأ عنها تغير في زاوية الرابطة bond angle . ثابت قوة ذبذبة الإحناء اقل بكثير من ثابت القوة في ذبذبة المد. وعلى هذا الأساس نتوقع أن يكون تردد ذبذبة المد أعلى بكثير من تردد ذبذبة الإحناء لنفس المجموعة المهتزة. ويكفي أحيانا وصف الذبذبة بذبذبة الإحناء فقط ولكن في بعض الأحيان نكون في حاجة إلى المزيد من المعلومات فنلجأ إلى تصنيف ذبذبة الإحناء الى (شكل 21):

أ- ذبذبة الإلتواء Deformation Vibration

يطلق على ذبذبة الإحناء ذبذبة إلتواء عندما يحدث تغير في زوايا الروابط بين ذرات المجموعة المهتزة. وتسمى ذبذبة الإلتواء ذبذبة الإلتواء الهيكلي (Skeletal Bending Vibration) عندما يكون التغير في الزاوية صغيراً جداً بسبب تأثير الذبذبة بحركة الذرات الأخرى.

ب- ذبذبة الإحناء في المستوى وخارج المستوى In-Plane bending and out-of-Plane bending Vibrations

عندما تكون الإهتزازة عمودية على مستوى البنية مثل المركبات العطرية والإيثيلينية يطلق على ذبذبة الإلتواء اسم الإلتواء خارج المستوى أما إذا كانت الإهتزازة في نفس مستوى البنية المستوية يطلق عليها ذبذبة الإلتواء داخل المستوى.

ج- ذبذبة التمايل Wagging Vibration

عندما لا يعاني التجمع الذري أى تغير داخلي في الزاوية بين الذرات بل يتحرك كوحدة صلبة بالنسبة لباقي الجزيء حركة للأمام و الخلف في مستوى عمودي على مستوى التماثل للجزيئات تسمى ذبذبة الإحناء ذبذبة التمايل.

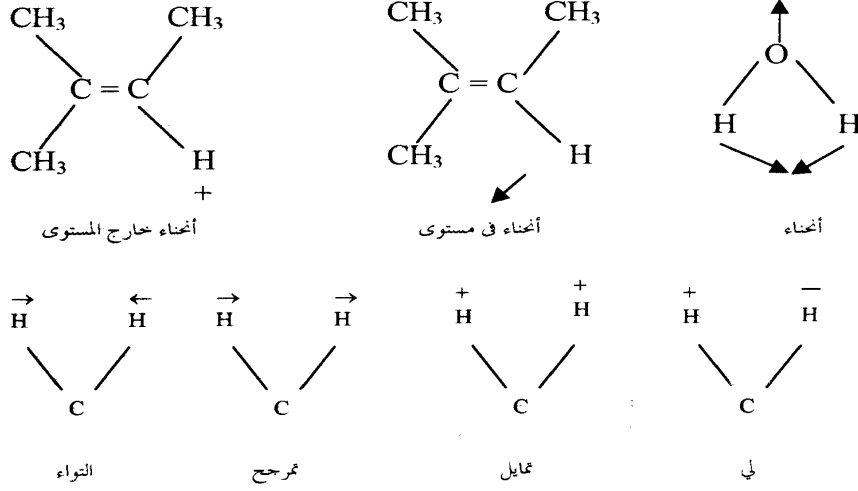
د- ذبذبة التمرجح Rocking Vibration

عندما يتحرك التجمع الذري في حركة للأمام و الخلف كوحدة واحدة بالنسبة لباقي الجزيء في نفس مستوى التماثل للجزيئات يقال عن هذه الذبذبة ذبذبة التمرجح.

Twisting Vibration

هـ- ذبذبة اللي

عندما يدور التجمع الذري كوحدة واحدة بالنسبة لباقي الجزيء للأمام والخلف حول محور الرابطة التي تربطه بباقي الجزيء تسمى ذبذبة الإحناء بذبذبة اللي.



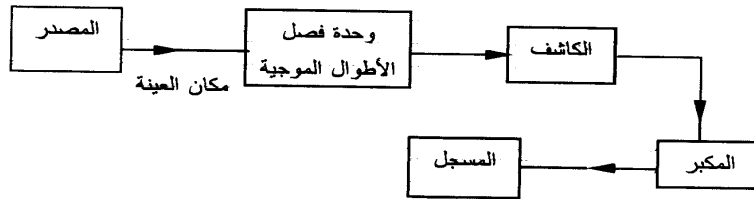
شكل (21): أنواع ذبذبات الإحناء.

الباب الثاني

الأجهزة وتحضير العينات Instruments and Sampling

1:2 مطياف الأشعة تحت الحمراء Infrared Spectrophotometer

طيف امتصاص المادة عبارة عن رسم يبين كيفية تغير امتصاص المادة للأشعة تحت الحمراء مع طول الموجة أو العدد الموجي. يسمى الجهاز المستخدم للحصول على هذا الطيف المطياف، يتكون المطياف من الوحدات الأساسية التالية (شكل 22):



شكل (22): الوحدات الأساسية للمطياف المزدوج الحزمة الضوئية.

1- مصدر الإشعاع Source

يصدر إشعاعاً مستمراً من الأشعة تحت الحمراء، لا تتغير شدته مع تغير طول الموجة في منطقة الأشعة تحت الحمراء، إلا بمقدار ضئيل.

2- وحدة تحليل الضوء Monochromator

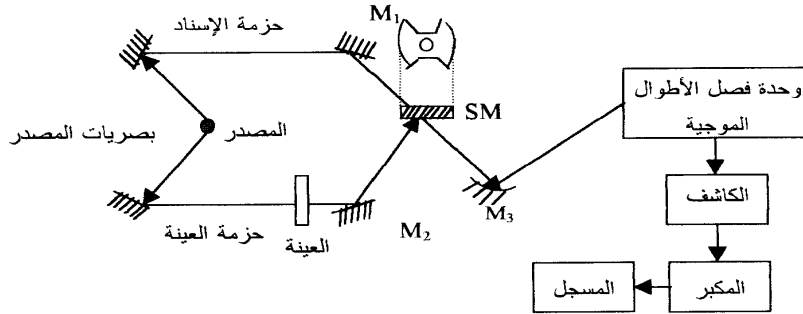
تعمل على فصل الأطوال الموجية للأشعة الساقطة عليها وتنتقى طولاً موجياً معيناً [في الواقع شريط ضيق من الأطوال الموجية] وتممرره إلى الكاشف.

يستقبل الطاقة الإشعاعية القادمة إليه من وحدة تحليل الضوء ويحولها إلى نبضات كهربائية بحساسية التأثير الحراري للأشعة تحت الحمراء.

Operation Of Spectrophotometer

طريقة عمل المطياف

تتجزأ الأشعة المنبعثة من المصدر إلى حزمتين ضوئيتين متماثلتين تماماً (شكل 23)، بواسطة مرآتين مستويتين، تمر إحدى الحزمتين وتسمى حزمة العينة إلى خلية العينة وتمر الأخرى وتسمى حزمة الإسناد إلى خلية الإسناد، ثم تنعكس الحزمتان النافذتان من الخليتين بواسطة مرآتين M_1, M_2 إلى مرآة مقطعية دوارة (Rotating Sector Mirror) تدور بواسطة محرك بسرعة معينة بحيث تعكس كل حزمة بالتناوب عشرين مرة في الثانية إلى المرآة M_3 التي تعكس هذه الحزم إلى وحدة تحليل الضوء [عدد الدوران في الثانية يختلف من جهاز إلى جهاز فمثلاً يكون في بعض الأجهزة عشرين وفي البعض الآخر يكون عشرة].

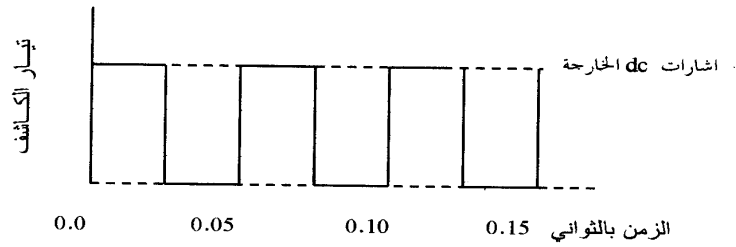


شكل (23): رسم تخطيطي للمسار الضوئي والوحدات الأساسية للمطياف المزدوج الحزمة الضوئية.

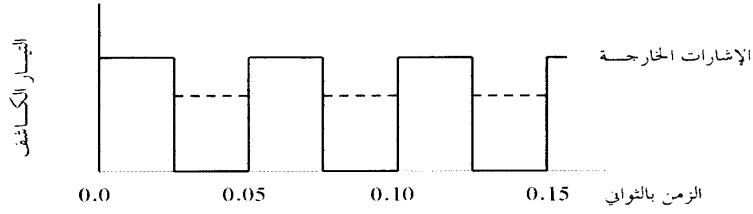
تعمل وحدة تحليل الضوء سواء كانت منشوراً أو محزوز حيود على فصل الأطوال الموجية وانتقاء طولاً موجياً معيناً أو شريطاً ضيقاً من الأطوال الموجية ثم تمرره إلى الكاشف. يحول الكاشف الطاقة الإشعاعية الساقطة عليه باستشعاره الحراري للأشعة تحت

الحمراء إلى نبضات كهربائية تصل بعد ذلك إلى المكبر الذي يعمل على تكبيرها ومنه إلى وحدة التسجيل. عندما تكون شدة الضوء النافذ من كل من الخليتين متساوية، تكون شدة الضوء الساقط على الكاشف من كل منهما متساوية أيضاً، وبالرغم من أن كل من الحزمتين تمر بالتناوب من المرآة المقطعية إلا أن الإشارات الصادرة من الكاشف عن كل منهما تكون ثابتة أى تكون عبارة عن إشارات تيار مستمر d . c. signals (شكل 24). وفى هذه الحالة لا يستقبل الكاشف تلك الإشارات ولا يكبرها حيث إنه حسب تصميمه لا يستجيب إلا لإشارات التيار المتردد فقط.

عندما تمتص العينة طولاً موجياً معيناً في هذه الحالة تكون الإشارات الناتجة عن الحزمة الضوئية للعينة أضعف من تلك الناتجة عن الحزمة الضوئية للإسناد، يصدر عن الكاشف في هذه الحالة إشارات تيار متردد a c. Signals تردده 20 Hz حيث أن المرآة الدوارة تقطع الضوء 20 مرة في الثانية كما هو واضح في شكل (25) ويستقبل المكبر بعدئذ هذه الإشارات بتردد 20 Hz ويستجيب لها ويكبرها. الإشارات الصادرة من المكبر تعمل على دفع إسفين ضوئي Optical Wedge إلى الحزمة الضوئية للإسناد لكي تتساوي الحزمتان في الشدة مرة أخرى. يتصل الاسفين الضوئي مباشرة بسن المسجل ويتحركان بمقدار تحدده شدة الامتصاص عند كل طول موجي.



شكل (24): إشارات الكاشف في عدم وجود العينة.

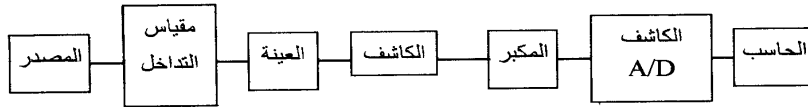


———— سقوط حزمة الإسناد على الكاشف.
 - - - - سقوط حزمة العينة على الكاشف.

شكل (25): إشارات الكاشف في وجود العينة.

2:2 مطياف تحويل فوريير Fourier Transform Spectrophotometer

تفضل المعامل الآن استخدام مطياف الأشعة تحت الحمراء بتحويل فوريير FTIR. وكل يوم يزداد الإقبال عليه، وهذه الطريقة الحديثة تستخدم الفكرة القديمة لتداخل شعاعين من الضوء لتكوين نموذج تداخل، وهذا النموذج يعتمد على الفرق في طول مسار الشعاعين، وتسمى المعالجات الرياضية التي تحلل الموجة المركبة إلى مركباتها من الترددات تحويل فوريير. وجاءت هذه التسمية بعد أن طور عالم الرياضيات الفرنسي Jean Bapt, ste Fourier هذه الطريقة سنة 1800م. وبدون تفاصيل يكفي أن نذكر أنها عملية تكامل على شكل الموجة المركبة و يتم تنفيذ هذه العملية بواسطة الحاسب. مقياس التداخل لميكلسون، الذي يمثل الوحدة الأساسية في المطياف، معروف منذ قرن مضى إلا أنه لم يستخدم في هذا المجال إلا بعد التقدم الهائل في تكنولوجيا الحاسبات. وشكل 26 يبين الوحدات الأساسية لجهاز FTIR .

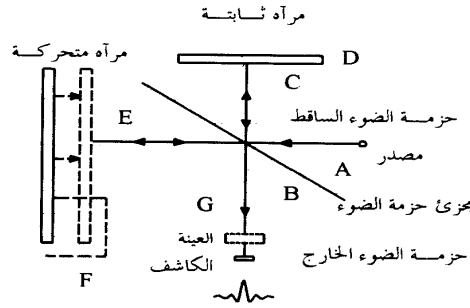


شكل (26): الوحدات الأساسية لجهاز FTIR.

تمر الأشعة من المصدر إلى العينة من خلال مقياس التداخل قبل وصولها إلى الكاشف، وعند تكبير الإشارات بالمكبر الذي يستبعد الترددات العالية تتحول البيانات إلى أرقام بواسطة Analog - to - Digital Converter ثم تنتقل إلى الحاسب حيث يتم تحويل فوريير.

مقياس ميكلسون للتداخل Michelson Interferometer

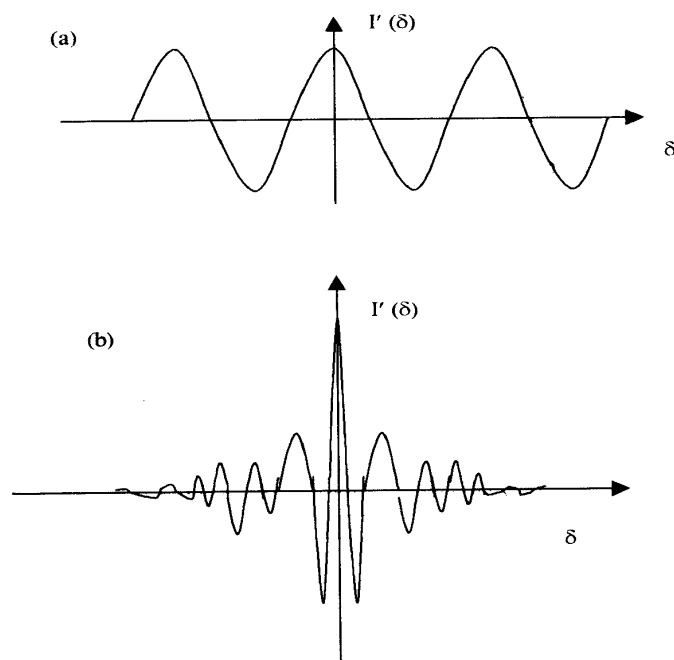
يتكون مقياس ميكلسون للتداخل، كما في شكل (27)، من مرأتين مستويتين موضوعتين على محورين متعامدين إحداهما تتحرك بسرعة ثابتة والأخرى ثابتة، بالإضافة إلى مجزئ للشعاع عبارة عن لوح نصف مقبض يميل بزاوية 45° على مستوى المرأتين. يسقط ضوء ذو طول موجي واحد من المصدر (A) على المجزئ (B) المصمم على أساس تجزيء الشعاع (A) إلى جزأين، جزء ينعكس [الشعاع C] إلى المرآة (D) التي تعكسه إلى الخلف مرة أخرى إلى (B)، الجزء الثاني [الشعاع E] ينفذ إلى المرآة المتحركة F التي تعكسه خلفاً إلى (B). ينفذ و يعكس المجزئ الشعاعين السابقين على التوالي مرة ثانية ليتحدوا في الشعاع (G) في اتجاه عمودي على انتشار الشعاع (A) ليصل إلى الكاشف.



شكل (27): مقياس التداخل لميكلسون.

إذا كان الفرق في مسار الشعاع من B إلى المرأتين D و F يساوي مضاعفات العدد الصحيح للطول الموجي أي $s = n\lambda$ حيث $n = 0, \pm 1, \pm 2$ فإن الشعاعين (G) يتحدان في

تداخل بناء ويصل الكاشف أشعة ذات شدة عالية. أما إذا كان الفرق في المسار يساوي $s = (n + \frac{1}{2}) \lambda$ فإن الشعاعين يتحدان في تداخل هدمي ويصل الكاشف أشعة ضعيفة الشدة [يتغير طول المسار بتحريك المرآة المتحركة F]. والمرآة المتحركة F تتحكم في نوع التداخل فيصل الكاشف بالتناوب صور مضيئة ثم معتمة إذا تحركت المرآة (F) ببطء بعداً عن أو قريباً من (B). وتكون الإشارات الصادرة من الكاشف كما هو موضح في الشكل (28). ويكون شكل نموذج التداخل في حالة الشعاع وحيد الطول الموجي كما في شكل (28.a). أما إذا كان الشعاع الصادر من المصدر متعدد الأطوال الموجية يكون نموذج التداخل كما في شكل (28.b).



شكل (28): نموذج تداخل (a) شعاع وحيد الطول الموجي،
(b) شعاع متعدد الطول الموجي.

يجب أن نذكر أنه لا بد من اختيار مادة المجزئ على أساس منطقة قياس الطيف. ترسب مواد مثل الجيرمانيوم أو أكسيد الحديد على أقراص شفافة للأشعة تحت الحمراء من بروميد البوتاسيوم أو أيوديد السيزيوم للحصول على مجزئ في منطقة الأشعة تحت الحمراء الوسطى والقريبة. وتستخدم أفلام عضوية رقيقة من البولي إيثيلين تريفتاليت للمنطقة البعيدة. المرآة المتحركة هي أهم وحدة في مقياس التداخل فيجب أن تكون حركتها الإتجاهية دقيقة تماماً لكي يمكن مسح مسافتين بحيث يأخذ فرق المسار قيمة محددة. لاستنتاج المعادلات الأساسية لنظام تحويل فورير نعتبر أولاً أبسط حالة وهي التي يكون فيها الشعاع الصادر من المصدر ذا طول موجي واحد (ν_0)، وأن هذا الشعاع يتجزأ بواسطة مقياس التداخل إلى موجتين متساويتي الشدة (ν_0) I . ويقاس الكاشف الشدة $I(\varphi)$ التي تساوي :

$$I(\varphi) = 2I(\nu_0) [1 + \cos \varphi] \quad (2.1)$$

ويمكن التعبير عن فرق الطور φ بدلالة فرق المسار الضوئي (s) للشعاعين الضوئيين والطول الموجي λ_0

$$\varphi = \frac{2\pi s}{\lambda_0} \quad (2.2)$$

وبالتعويض تصبح العلاقة السابقة على الصورة:

$$I(s) = 2I(\nu_0) [1 + \cos 2\pi \nu_0 s] \quad (2.3)$$

وكما ذكرنا فإن التداخل البناء يحدث عندما

$$s = n\lambda_0, \quad n = 0 \pm 1 \pm 2 \dots\dots$$

والتداخل الهدمي يحدث عندما

$$s = (n + \frac{1}{2}) \lambda_0$$

في مقياس تداخل ميكلسون الماسح، يتغير فرق المسار الضوئي بتحريك إحدى المرآتين بسرعة ثابتة v . ينشأ عن هذا المسح تغيير شدة الموجة الصادرة جيبياً بالنسبة للزمن بتردد f يعتمد على العدد الموجي ν وسرعة حركة المرآة v ، أي أن:

$$f = 2\nu \cdot v \quad (2.4)$$

أما إذا كان الضوء الصادر من المصدر متعدد الأطوال الموجية أو مستمراً، في هذه الحالة تكون الشدة الناتجة عبارة عن حاصل الجمع أو التكامل على جميع الاهتزازات الناتجة عن كل تردد ضوئي على التوالي. على ذلك تكتب المعادلة (2.3) بالنسبة للمصدر المستمر على الصورة التالية:

$$I(s) = 2 \int_0^{\infty} I(\nu) (1 + \cos 2\pi \nu s) d\nu \quad (2.5)$$

ويمكن تجزئ الدالة $I(s)$ إلى مركبتين إحداها لا تعتمد على s وهي:

$$I(\infty) = 2 \int_0^{\infty} I(\nu) d\nu \quad (2.6)$$

والمركبة التذبذبية يمكن أن تأخذ قيمة سالبة أو موجبة. وهذه المركبة هي، في الواقع، المسئولة عن التركيب المميز لنموذج التداخل وتسمى دالة نموذج التداخل $F(s)$

$$F(s) = 2 \int_0^{\infty} I(\nu) \cos 2\pi \nu s d\nu \quad (2.7)$$

وحيث أن: $I(\nu) = I(-\nu)$

فإن :

$$F(s) = 2 \int_{-\infty}^{+\infty} I(\nu) \cos 2\pi \nu s d\nu \quad (2.8)$$

يبين شكل (28) نموذج التداخل في الحالتين، في حالة الشعاع وحيد الطول الموجي، والشعاع متعدد الأطوال الموجية . واضح من الشكل أنه يبدو من الصعب الحصول على بيانات مفصلة عن الطيف في نموذج التداخل الناتج عن لأشعة متعددة الأطوال الموجية أو من المصدر المستمر ولذلك نطبق الطريقة الرياضية لتحويل فوريير. وهذه الطريقة تربط بين الطيف $I(u')$ ودالة نموذج التداخل $F(s)$ كمايلي :

$$I(0) = 4 \int_0^{\infty} I(u') du' = 2 I(\infty) \quad (2.9)$$

$$I(u') = \int_{-\infty}^{+\infty} F(s) \cos 2\pi u's ds \quad (2.10)$$

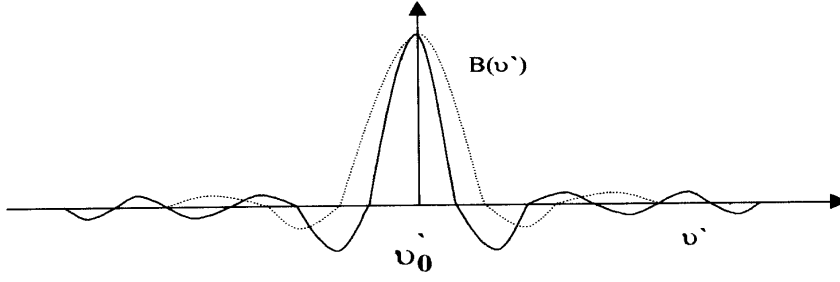
ولأن $F(s) = F(-s)$ فإن

$$I(u') = 2 \int_0^{\infty} F(s) \cos 2\pi u's ds \quad (2.11)$$

لحساب الطيف $I(u')$ باستخدام العلاقة الجيبية لتحويل فوريير السابقة، يلزم معرفة نموذج التداخل لفروق في المسار تصل إلى مالا نهائية، ولكن التحويل الذي يتم من الناحية العملية يشمل تكامل على إزاحة محدودة وليست لانهائية، المعالجة الرياضية لتحويل فوريير تفرض حدود لانهائية، ونتيجة لهذا التقريب الحتمي فإن الشكل الظاهري للخط الطيفي سيظهر كما في شكل (29) حيث تكون مساحة الشريط الأساسي عبارة عن سلسلة من الفصوص الموجبة والسالبة التي تتناقص سماتها حتى تتلاشى. يمكن التخلص من هذه الفصوص أو الفلقات (Lobes أو Pods) بضرب $F(s)$ بدالة مناسبة قبل إجراء تحويل فوريير والدالة المناسبة تجعل شدة نموذج التداخل يهبط إلى الصفر عند كل من نهايتيه بدون ظهور أي فصوص.

إذا كانت الأشعة الصادرة من المصدر ذات طول موجي واحد فإن الأشعة المتحدة التي تغادر الجهاز عند النقطة (B) تتداخل تداخلا بناء أو هدمياً حسب الفرق في طول المسار من B إلى D و من B إلى F. إذا كان طول المسارين متساوي أو كان الفرق بينهما يساوي

مضاعفات الطول الموجي فإن التداخل يكون بناء أما إذا كان الفرق يساوى نصف العدد الصحيح لمضاعفات λ فإن التداخل يكون هدمياً.



شكل (29): الشكل الظاهري للخط قبل التصحيح وبعده.

عندما تتحرك F إلى B أو بعيداً عنها فإن الكاشف يسجل أشعة ذات شدة دورية. فإذا فرضنا أن المصدر يبعث ترددين منفصلين ν_1, ν_2 لهما نفس الطول الموجي فإن نموذج تداخل ν_1, ν_2 سيعطى نموذج التداخل الناتج من F ، D و يسجل الكاشف شدة معقدة و متغيرة عند تحرك F، ولكن تحويل فوريير يحول هذه الإشارات بسرعة إلى الترددات والشدة الأصلية الناتجة من المصدر. وحتى إذا بعث المصدر ضوءاً أبيض و نتج عن ذلك تداخل معقد فإن تحويل فوريير سيعيد ذلك إلى التوزيع الأصلي للترددات. فإذا مر الشعاع المتحد الخارج من مقياس التداخل على العينة قبل وصوله إلى الكاشف فإن العينة ستمتص بعض الترددات ويظهر هذا الإمتصاص كفجوات في توزيع الترددات، هذا يعطى بعد التحويل طيف الإمتصاص العكسي. فإنتاج الطيف يمكن أن نفكر فيه كما يلي:

تتحرك المرآة F خلال فترة من الزمن [ثانية مثلاً] مسافة حوالي واحد سم بينما تتجمع إشارات الكاشف (Interferogram) في كمبيوتر متعدد القنوات (Multi Channels). يسجل الكمبيوتر إشارات الكاشف في زمن قدره واحد من ألف من الثانية وأثناء تحرك المرآة تخزن البيانات في ذاكرة الكمبيوتر، يقوم الكمبيوتر بإجراء تحويل فوريير على البيانات المخزنة وبعد ذلك يتم تسجيل الطيف المناسب على الورق.

أهم ميزة في FTIR هي سرعة التسجيل حيث يتم الحصول على الطيف بأكمله في صورة التداخل الذي يسجله الكمبيوتر خلال ثانية واحدة وهذا هو زمن التسجيل الفعلي. وحتى

لو أضفنا مثلاً زمناً للحاسب وزمناً للتسجيل حوالي 15 ثانية فإن مجموع الزمن الذي نحصل فيه على الطيف الكامل يعتبر ضئيلاً جداً مقارنة بالزمن الذي يستغرق في الحصول على نفس الطيف في الأجهزة العادية والمميزات الأخرى هي:

1- في الأجهزة العادية يركز الضوء على شق ضيق و يسجل الكاشف صورة هذا الشق، والشق الرقيق يعطى قوة تحليل جيدة حيث سينفذ منه حزمة ضيقة من الأطوال الموجية لتصل إلى الكاشف في أي لحظة لكن كمية الطاقة الكلية التي تمر في الجهاز تكون محدودة ويلزم تكبيرها باستخدام المكبر. في جهاز FTIR لا توجد حاجة إلى الشق وهذا يعنى أن كل طاقة المصدر تمر خلال الجهاز والحاجة إلى المكبر تقل. وتعتمد قوة التحليل على حركة المرآة وسعة الكمبيوتر. لهذا السبب استخدم جهاز التداخل أولاً في حالة منطقة الأشعة تحت الحمراء البعيدة حيث أن طاقتها أقل من طاقة أشعة المنطقة الوسطى.

2- قوة التحليل في جهاز FTIR ثابتة لكل أجزاء الطيف. في أجهزة المنشور ومحزوز الحيود تعتمد قوة التحليل على الزاوية التي يصنعها الشعاع مع المنشور أو المحزوز.

3- وجود الحاسب يساعد على عمليات أخرى مثل تحسين شكل الطيف.

Reflectance Methods

3:2 طرق الانعكاس

تستخدم طرق الانعكاس في حالة العينات التي لا يمكن قياسها بطريقة النفاذية المعتادة. ويمكن تقسيم هذه الطرق إلى طريقتين:

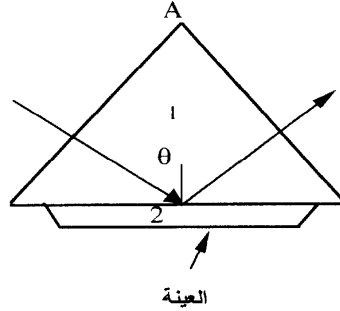
1- قياس الانعكاس الداخلي Internal Reflectance Measurement

ويتم ذلك باستخدام خلية الانعكاس الكلى الموهن بالتلامس مع العينة.

2- قياس الانعكاس الخارجي External Reflectance Measurement

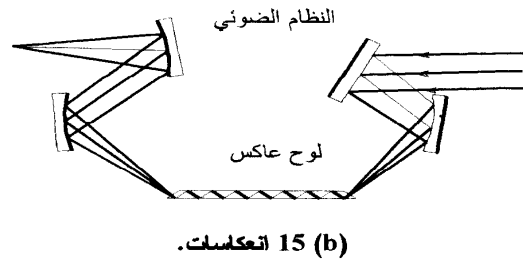
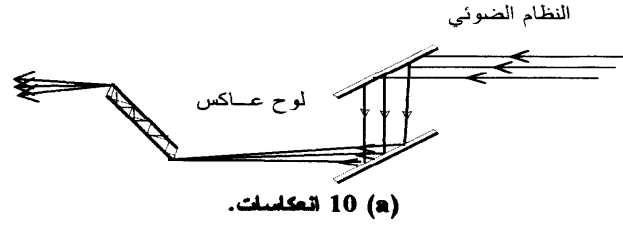
وفيها يتم قياس الأشعة تحت الحمراء المنعكسة من سطح العينة مباشرة.

إذا سقط شعاع من الأشعة تحت الحمراء على السطح الخلفي لمنشور بزواوية θ أكبر من الزاوية الحرجة فإنه يعاني انعكاساً كلياً. إذا طلى هذا السطح بالعينة فإن الأشعة تنفذ خلال العينة عند الأطوال الموجية التي تمتصها بينما يحدث الانعكاس الكلي في مكان آخر. عندئذ يكون الانعكاس الكلي قد وُهن عند هذه الأطوال الموجية. والعلاقة بين شدة الامتصاص والأطوال الموجية للضوء المنعكس تشبه طيف امتصاص العينة مع بعض الخلافات في الشدة النسبية وشكل أشرطة الامتصاص. وطريقة ATR (الانعكاس الكلي الموهن) مهمة خصوصاً في حالة العينات التي لا يمكن دراستها بطرق الامتصاص العادية و التي لا تذوب في المذيبات المناسبة للأشعة تحت الحمراء مثال على هذه المواد أفلام البوليميرات أو الفوم، المنسوجات، العجائن السميكة، الطلاء مثل أفلام الدهانات ، أحبار الطباعة على المعادن والمعادن. يمكن تسجيل الطيف بواسطة عاكس متطور بطريقة تعتمد على الانعكاس الكلي للضوء. إذا علم أن معامل انعكاس المنشور 1 (الشكل 30) أكبر من معامل إنكسار 2 و إذا كانت زاوية السقوط θ أكبر من الزاوية الحرجة فإن الحزمة الضوئية للأشعة تحت الحمراء في 2 سوف تعاني انعكاساً كلياً عند سطح التلامس بين 2,1 وحزمة الضوء يجب أن تقطع مسافة قصيرة جداً (عدد قليل من الميكرون) في الوسط 2 قبل نفاذها مرة ثانية إلى 1، إذا امتص الوسط 2 جزءاً من الضوء فإن الحزمة النافذة سوف توهن بدلا من أن تنعكس كلياً. هذا المبدأ يمكن أن يمتد لينتج طيف امتصاص الأشعة تحت الحمراء للوسط 2 وهذه الطريقة تسمى الانعكاس الكلي الموهن ATR.



شكل (30): الانعكاس الكلي.

الانعكاس الواحد في الوسط (الشكل 30) ينشأ عنه طول مسار قصير جداً في الوسط 2 وينشأ عن ذلك طيف ضعيف الشدة إذا لم يحدث تكرار الانعكاس كما في الشكل (31). هذا النظام يمكن إدخاله إلى حزمة الضوء في مطياف الأشعة تحت الحمراء. وبذلك يمكن الوصول إلى عدد من الانعكاسات يمكن أن يصل إلى 25 انعكاساً وبهذا نحصل على طيف يشابه طيف الامتصاص العادي.



شكل (31): وحدة انعكاس كلي.

نجاح الطريقة يعتمد على استخدام الوسط I المنفذ لضوء الأشعة تحت الحمراء و الذي له معامل انكسار عالي ($\mu = 2.5 - 3.5$). شدة الطيف تعتمد على درجة الالتصاق بين البلورة والعينة وعلى مساحة الالتصاق وزاوية الانعكاس. وعمق نفاذية الشعاع في الانعكاس الكلي الموهن دالة لطول الموجة λ شكل (32) ومعامل انكسار المنشور وزاوية سقوط الشعاع θ .

ويمكن تعيين عمق النفاذ dp للوسط الذي لا يمتص من الصيغة التالية:

$$dp = \frac{(\lambda / n_1)}{2 \left[\sin \theta - \left(\frac{n_1}{n_2} \right)^2 \right]^{0.5}} \quad (2.12)$$

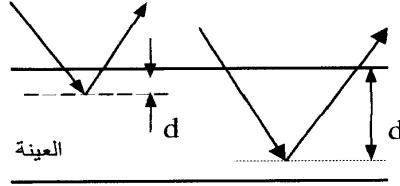
حيث n_1 معامل انكسار العينة.

n_2 معامل انكسار منشور الانعكاس الكلي الموهن.

ويتضح من هذه المعادلة ما يلي:

1 - زيادة عمق النفاذ مع زيادة الطول الموجي.

2 - لأي قيمة من n_1/n_2 يقترب عمق النفاذ من القيمة العظمى في اتجاه الزاوية الحرجة للانعكاس الداخلي (θ_c).



شكل (32): تأثير الطول الموجي على مقدار عمق الاختراق.

وتصنع مادة المنشور أو البلورة المستخدمة من مادة قليلة الذوبان في الماء ولها معامل إنكسار كبير جداً. هذه المواد تشمل :

Thalium iodide (KRS-5), Germanium(Ge) , Zinc Selenide(Znse).

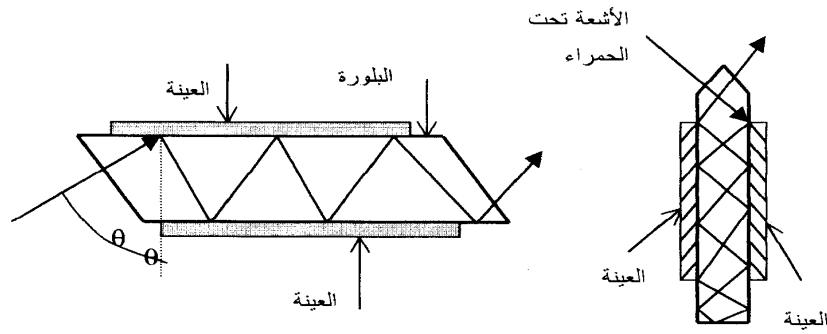
وخواص هذه المواد موضحة بالجدول (4).

جدول(4): خواص مادة المنشور.

المادة	معامل الانكسار	الخواص
KRS-5	2.4	تذوب في القاعدة bases تذوب قليلاً في الماء لا تذوب في الأحماض، لينه Soft، سامة جداً ولا بد من الحذر عند استخدامها.
Zn Se	2.4	لا تذوب في الماء أو المذيبات العضوية والأحماض المخففة و القاعدة.
Ge	4	لا تذوب في الماء، هش.

تتكون الوحدة من جزأين أساسيين.

- 1- بلورة optical system وتقوم بدور الوسط العاكس.
 - 2- مجموعة بصرية وعملها تركيز أشعة المصدر على السطح الأمامي للبلورة وفى بعض الأحيان تجمع الأشعة النافذة وتوجهها إلى وحدة تحليل الأشعة.
- لكي يحدث الإعتكاس الكلى الموهن لابد أن يوجد فرق كبير بين معامل إتكسار الوسط العاكس والعينة. وبما أن معامل إتكسار معظم العينات يكون في حدود الواحد فإن معامل إتكسار الوسط يجب أن يكون على الأقل 2.
- في البداية كان الوسط العاكس على شكل منشور وكان يتم تكبير زاوية سقوط الشعاع حتى يمكن الحصول على أنسب طيف بالشدة المناسبة وكانت المجموعة البصرية لهذه الأجهزة ليست عالية الحساسية مما يؤدي إلى صعوبة تحليل بعض العينات. وقد استبدل هذا النظام في الأجهزة الحديثة باستخدام نظام الإعتكاس المتعدد ويستخدم فيه ألواح عاكسة على شكل مقطع من متوازي أضلاع أو معين شكل (33).



شكل (33): الإعتكاس الداخلي المتكرر.

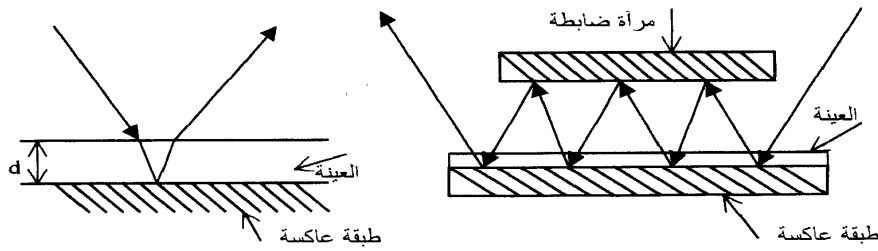
ويوجد نوعان من وحدة الإعتكاس المتعدد أحدهما ثابت الزاوية والثاني متغير الزاوية. يستخدم في النوع الأول ألواح عاكسة ذات أبعاد $30 \text{ mm} \times 20 \text{ mm}$ وسماك 3mm وتعطى 9

أو 10 إنعكاسات عند زاوية إنعكاس 45° . هذه الوحدة ذات حساسية كافية لمعظم الاستخدامات. يمكن تغيير سمك هذه الألواح لتغيير عدد الإنعكاسات للحصول على الطيف المناسب الشدة.

النظام البصري في الوحدة التي تستخدم زاوية سقوط متغيرة يكون أكثر تعقيداً من النظام في الوحدة السابقة، حيث تستخدم مرايا مقعرة لتكبير أشعة المصدر على السطح الأمامي للوح العاكس ومجموعة أخرى لتركيز الأشعة الخارجة من السطح العاكس. وأبعاد الألواح العاكسة في هذه الوحدة يكون في حدود $50\text{mm} \times 20\text{mm}$ وسمك 2mm وتعطى 25 إنعكاساً عند زاوية سقوط 45° .

الانعكاس المنظاري Specular Reflectance

في الإنعكاس الخارجي تركز الأشعة الساقطة على العينة ويمكن حدوث شكلين من الإنعكاسات أحدهما يسمى الانعكاس المنظاري Specular والآخر يسمى الانعكاس المنتشر diffuse ، لقياس الإنعكاس الخارجي للأشعة المنعكسة من السطح لابد إذن أن تكون العينة عاكسة أو تكون ملتصقة من الخلف بمادة عاكسة. ويحدث الإنعكاس المنظاري عندما تكون زاوية إنعكاس الأشعة الساقطة مساوية لزاوية السقوط كما في الشكل (34). كمية الضوء المنعكسة تعتمد على زاوية السقوط ومعامل إلتكسار وخشونة السطح وخواص امتصاص العينة. والتطبيق المفيد لهذه الطريقة هو دراسة أسطح الطلاء مثل أسطح المعادن المعالجة، والدهانات و البلمرات .

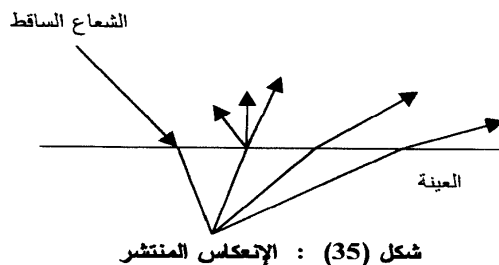


(a): إنعكاس متكرر. (b): إنعكاس منظاري

شكل (34) : انعكاس منظاري متكرر

Diffuse reflectance : الإنعكاس المنتشر:

عندما تسقط الأشعة على سطح مادة فإنها إما تمتص أو تنعكس مباشرة كما في الإنعكاس المنطاري Specular أو إنها تنتشر متشتتة في مساحة واسعة. والإنعكاسات المنتشرة في كل الاتجاهات يطلق عليها الإنعكاسات المنتشرة إكما في الشكل (35) ففى هذه الطريقة تخلط العينات في صورة مسحوق بمسحوق KBr. تعكس خلية الإنعكاسات المنتشرة الأشعة إلى المسحوق و تجمع الأشعة المنعكسة خلال زاوية كبيرة. هذه الطريقة معقدة جداً في حالة المساحيق.



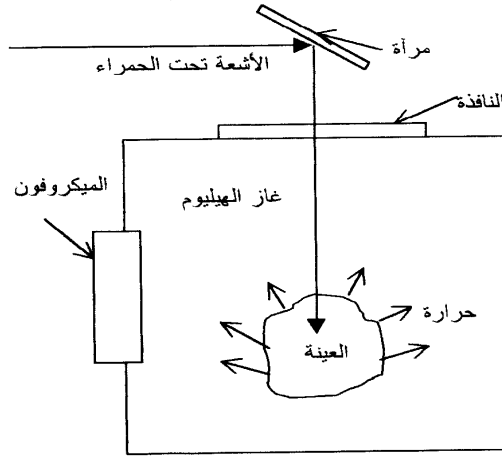
وقد طور كيوبلكا ومنك Kubelka & Munk نظرية توصف الإنعكاس المنتشر لعينات المساحيق وترتبط بين تركيز المسحوق وشدة الأشعة المشتتة والمعادلة التي وصفها هي :

$$\frac{(1 - R_{\infty})^2}{2R_{\infty}} = \frac{C}{K}$$

حيث R_{∞} الإنعكاس المطلق لطبقة المسحوق و c تركيز العينة و K معامل الإمتصاص المولى .Molar extenction coefficient

4:2 الطيف الضوء - صوتي [PAS] Photo Acoustic Spectroscopy

بنيت هذه الطريقة على أساس تحويل الأشعة تحت الحمراء المعدلة Modulated إلى ذبذبات ميكانيكية. ويمكن قياس المادة في صورها الثلاث الصلبة والسائلة والغازية بهذه الطريقة. تظهر أهمية هذه الطريقة في حالة المواد عالية الإمتصاص مثل الكاوتشوك والفحم. عندما تمتص العينة الأشعة تحت الحمراء المعدلة Modulated فإن المادة تسخن و تبرد حسب الاستجابة للأشعة التي تصل العينة. وهذا النموذج من التسخين و التبريد يتحول الى موجة ضغط يمكن كشفها بالميكروفون وشكل (36) يوضح خلية PAS .



شكل (36): خلية الطيف الضوء- صوتي.

طريقة الطيف الضوء - صوتي مفيدة جداً لأن الإشارة المكتشفة detected تتناسب مع تركيز العينة ويمكن استخدامها في حالة العينات عالية الإمتصاص أو السوداء جداً. هذه الطريقة تسمح في الغالب المادة من السطح أو لعدة ميكرو مترات تحت السطح لذلك فهي طريقة لها أهمية خاصة في دراسة السطوح.

Combination Techniques

5:2 طرق القياس المشتركة

التحليل الجرافومتري الحراري TGA طريقة لقياس الفقد في كتلة العينة عند تسخينها ويمكن الحصول منها على معلومات كمية عن عملية تحلل العينة ولكن لا نستطيع تمييز نواتج التحلل باستخدام هذه الطريقة و يتم الآن استخدام طريقتي TGA , IR مشتركين في جهاز واحد للحصول على معلومات كمية ووصفية عن نواتج التحلل في المراحل المختلفة. كما تستخدم طريقة IR مشتركة مع طريقة الغاز جروماتوجرافي GC-IR لمعرفة تركيب المواد الناتجة.

Sampling Techniques

6:2 طرق تحضير العينات

تعيين التركيب الجزيئي لمدة ما من طيف إمتصاصها للأشعة تحت الحمراء يشمل ثلاثة مراحل، تحضير العينة، تسجيل الطيف بالمطياف ثم تفسير الأطياف. لا تقل أهمية أي مرحلة عن الأخرى ووجود خطأ ما في أي من هذه المراحل يتسبب في عدم دقة النتائج. معنى ذلك أنه عندما نرغب في الحصول على طيف مادة ما يجب أن نختار أولاً الشكل المناسب الذي تكون عليه العينة التي يتم عليها القياس. والأشكال المختلفة التي يمكن أن تكون عليها العينة هي :

- 1- محلول في مذيب مناسب أو سائل.
- 2- فيلم رقيق من السائل أو الصلب [في حالة البوليمرات مثلا].
- 3- عجينه ملساء.
- 4- قرص مضغوط لخليط من بروميد البوتاسيوم و العينة.
- 5- سطح أملس ينعكس منه الشعاع.
- 6- غاز.

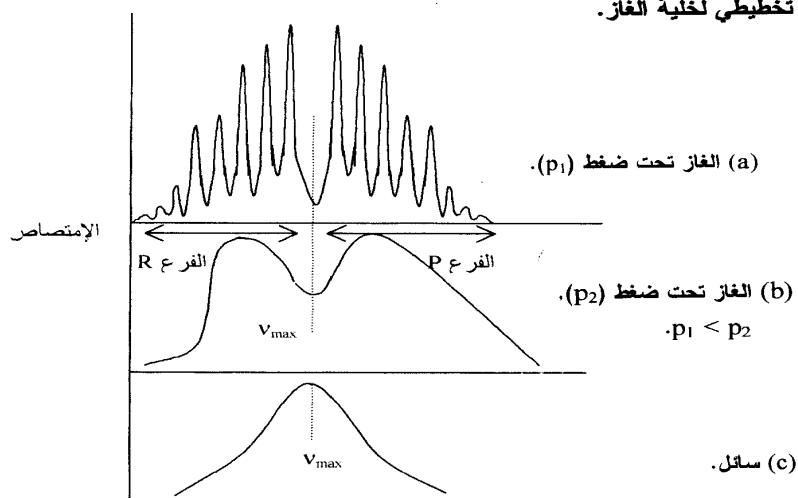
Gasses

الغازات

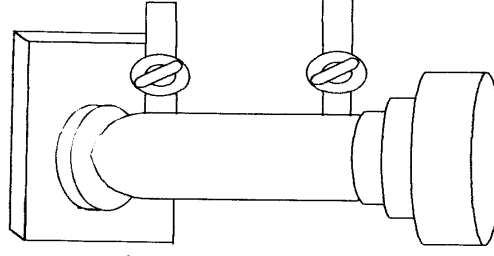
عند دراسة التركيب الجزيئي لمادة ما، من الأفضل دراسة الجزيئات وهي غير واقعة تحت تأثير المؤثرات الخارجية، مثل تأثير الجزيئات المجاورة (كما في حالة الغازات). عند

ضغط الغاز المنخفض (أقل من 10^{-2} جو) لا تؤثر الجزيئات المجاورة على الجزيء إلا بأقل قدر ويكون التغير في مستويات الطاقة الجزيئية ضعيف. الجزيء في حالة الغازات حر الدوران والتذبذب أيضا حيث أن التأثير المتبادل بين الجزيئات يمثل أدنى قيمة له، لذا يكون طيف الأشعة تحت الحمراء للغاز عبارة عن أشرطة امتصاص عريضة ناشئة عن تراكب عديد من أشرطة الدوران الحادة على أشرطة الذبذبات.

يسجل طيف الأشعة تحت الحمراء للغازات في خلايا على هيئة أسطوانة جذراتها من البيركس Pyrex وقاعدتها (النوافذ) من مادة شفافة منفذة للأشعة تحت الحمراء مثل KBr أو NaCl، ويتراوح طولها من واحد سنتيمتر إلى 10 سم. توضع الخلية في مسار شعاع الضوء مباشرة. في بعض القياسات تتكرر إنعكاسات الضوء في الخلية (خلية الغاز متعددة الإنعكاسات) ولذلك توضع مرآيا في مسار شعاع الضوء لتتيح له الإنعكاس عدة مرات خلال الخلية لزيادة حساسيتها وطول مسار الضوء. يمكن بسهولة تسجيل طيف إمتصاص الأشعة تحت الحمراء للغازات حيث يسهل التحكم في تركيز العينات بتغيير ضغط الغاز. وتزود الخلية بفتحات لقياس الضغط والتفريغ. تستخدم الخلية في دراسة ملوثات الهواء والشوائب في الغازات. يعتمد شكل طيف الغاز على ضغطه كما في شكل (37) وشكل (38) يوضح رسم تخطيطي لخلية الغاز.



شكل (37): طيف المادة في الحالة الغازية.



شكل (38): رسم تخطيطي لخلية الغاز.

السوائل Liquids

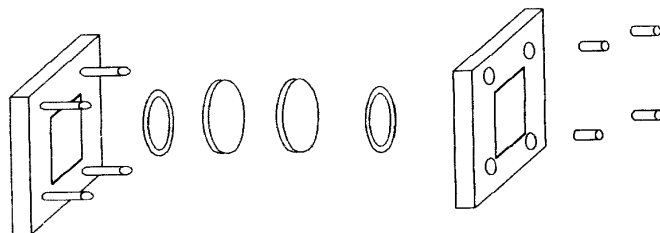
أ- السوائل اللزجة أو القليظة Viscous Liquids

توضع نقطة من السائل فوق قرص [نافذة] من مادة الهالوجينات القلوية مثل بروميد البوتاسيوم أو كلوريد الصوديوم ويغطي القرص بقرص آخر مماثل ويضغط على القرصين معاً ضغطاً خفيفاً عن طريق مسك فيتكون بينهما فيلم رقيق. إذا حدث وكانت شدة امتصاص العينة ضعيفة بسبب صغر سمك العينة فيمكن وضع رقائق فاصلة بينهما من التفلون أو الرصاص أو الألومنيوم للحصول على السمك المناسب. هذه الرقائق يختلف سمكها من 0.06 mm إلى 1 mm. السوائل تحتاج إلى سمك يصل 0.025mm لكي تعطى الطيف المناسب. هذه الخلية لا تصلح للسوائل المتطايرة و الخفيفة لأنها تسيل من جوانب الخلية قبل التسجيل وشكل (39) يوضح شكل تخطيطي للخلية.

ب - السوائل الطيارة غير اللزجة Non-viscous Liquids (Volatile)

توجد أنواع مختلفة من الخلايا المنفذة للأشعة تحت الحمراء خاصة بالسوائل منها الخلايا ذات السمك الثابت المحكمة، للسوائل الطيارة ومن عيوبها عدم إمكانية تنظيف الأقراص أو النوافذ قبل و بعد التسجيل. وهناك الخلايا النصف دائمة والتي يمكن فكها لتنظيف النوافذ. والشكل يبين مكونات هذه الخلية. والرقائق كما ذكرنا من قبل متغيرة السمك فيمكن التحكم في

سمك العينة. ويوجد نوع آخر من الخلايا محكمة ومتغيرة السمك مزودة بنظام لتغيير السمك و
تدريج لقراءة قيمة السمك. يساعد التدريج على التحكم وضبط السمك بدقة.



شكل (39): رسم تخطيطي لخلية السوائل.

أهم عنصر في اختيار الخلية المناسبة هو مادة النوافذ ومن أهم خصائص مادة النوافذ
أن تكون منفذة للأشعة الساقطة عليها. والجدول المرفق يوضح أهم المواد المستخدمة
وخصائصها.

مادة النافذه	منطقة القياس cm^{-1}	معامل الانكسار	الخواص
كلوريد الصوديوم NaCl	$4000\text{cm}^{-1} - 600\text{cm}^{-1}$	1.52	يذوب في الماء، قليل الذوبان في الكحول، رخيص الثمن، مقاومة متوسطة للصدمات الميكانيكية والحرارية. سهل الصقل.
بروميد البوتاسيوم KBr	$4000\text{cm}^{-1} - 400\text{cm}^{-1}$	1.5 3	يذوب في الماء والكحول وقليل الذوبان في الأكاسيد والقاعدة. تمتص الماء. مقاومته للصدمات جيدة.
فلوريد الكالسيوم Ca F_2	$4000\text{cm}^{-1} - 1100\text{cm}^{-1}$	1.4	لا يذوب في الماء، يقاوم الأحماض والقاعدة، لا يتعتم، مفيد في حالة الضغوط المرتفعة.
فلوريد الباريوم Ba F_2	$4000\text{cm}^{-1} - 800\text{cm}^{-1}$	1.45	لا يذوب في الماء ويذوب في NH_4Cl ، لا يتعتم، حساس للصدمات الميكانيكية والحرارية.
كلوريد البوتاسيوم KCl	$4000\text{cm}^{-1} - 400\text{cm}^{-1}$	1.5	له خواص مشابهة NaCl ولكنه أقل ذوبان في الماء ويمتص الماء.
بروميد السيوم Cs Br	$4000\text{cm}^{-1} - 250\text{cm}^{-1}$	1.7	يذوب في الماء والأحماض ويمتص الماء.
أيوديد السيزيوم CsI	$4000\text{cm}^{-1} - 200\text{cm}^{-1}$	1.7	يذوب في الماء والكحولات ويمتص الماء.

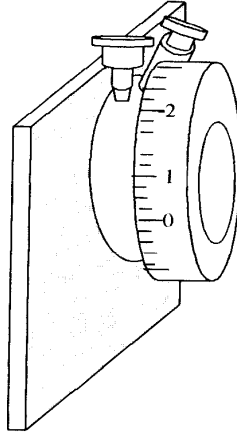
إذا كان إمتصاص المادة المراد تسجيل طيفها، سواء كانت سائلة أو صلبة، قويا و يصعب تسجيله وكان من السهل إذابة المادة في مذيب عضوي، يفضل تسجيل طيف محاليل هذه المواد في المذيبات. و تستخدم نفس الخلايا التي تستخدم في حالة السوائل ولكن يجب وضع خلية مملوءة بالمذيب في المسار الآخر للضوء لطرح إمتصاص المذيب من إمتصاص المحلول لنحصل على إمتصاص المادة فقط.

ولا بد أن تتوفر الخواص التالية للمذيب المناسب:

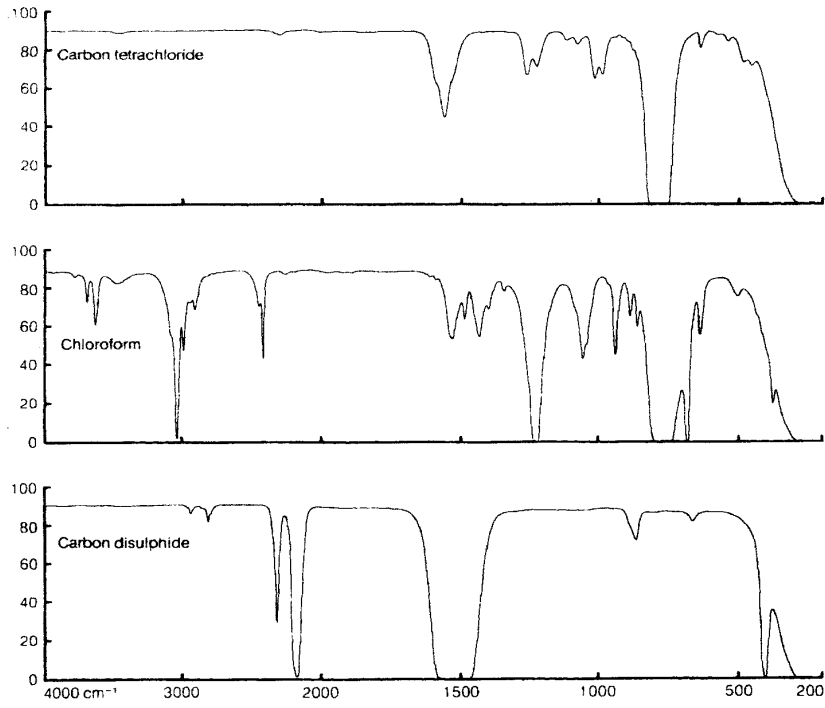
1- لا يكون للمذيب إمتصاص قوى في منطقة القياس.

2- لا يتفاعل مع المذاب.

ومن أهم المذيبات المستخدمة رابع كلوريد الكربون، الكلوروفورم و ثنائي كبريتيد الكربون. لا يوجد مذيب واحد يغطي منطقة طيف الأشعة تحت الحمراء بأكملها ولكن يمكن إستخدام أكثر من مذيب حسب المنطقة التي لا يمتص فيها هذا المذيب وشكل (40) يوضح رسم تخطيطي لخلية متغيرة السمك. كما يبين شكل (41) أطيايف بعض المذيبات الشائعة الاستخدام.



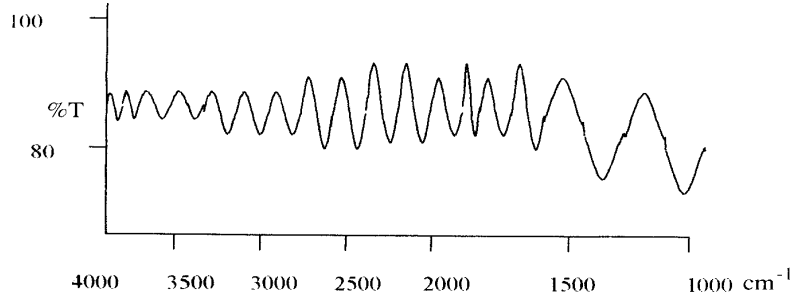
شكل (40) : رسم تخطيطي للخلية متغيرة السمك



شكل (41): أطياف بعض المذيبات.

تعيين و معايرة سمك الخلية

من المفيد أن نعرف بدقة سمك الخلية التي تحتوى السوائل والمحاليل وخصوصاً في حالة القياسات الكمية. يمكن أن يتم ذلك بطريقة حساب عدد حلقات التداخل interference fringes كما يلي: توضع الخلية فارغة في مسار الضوء في المطياف ويتم تسجيل منطقة من الأطوال الموجية. سيظهر نموذج تداخل مثل الموضح في الشكل (42) و تتغير سعة الموجة من 2% إلى 15% حسب حالة النوافذ.



شكل (42): نموذج التداخل في الخلية.

عندما تسقط الأشعة عمودياً على سطح الخلية شكل (43) فإن معظمها ينفذ في خط مستقيم مثل A وبعض منها يعاني إنعكاساً مزدوجاً داخل الخلية مثل B الذي سوف يقطع مسافة $2l$ زيادة عن A. إذا كان فرق المسار $2l$ يساوي عدداً صحيحاً من الأطوال الموجية أي $2l = n\lambda_1$ فإن الشعاعين A, B يكونان في طور واحد وتكون شدة الشعاعين قيمة عظمى A + B مثل النقطتين a, c كما في الشكل (43) بينما تكون شدتهما قيمة صغرى مثل النقط b, d عندما يكون فرق المسار

$$2l = (n + \frac{1}{2}) \lambda_2$$

فإذا كان λ_1 هو طول الموجة عند القيمة العظمى (a) و λ_2 طول الموجة عند القيمة الصغرى التي تليها مباشرة في شكل (43) أي عندما تكون

$$2l = n\lambda_1, \quad 2l = (n + \frac{1}{2}) \lambda_2 \quad (2.13)$$

فإذا عوضنا عن قيمة n نجد أن :

$$2l = \lambda_2 \left[\frac{2l}{\lambda} + \frac{1}{2} \right] \quad (2.14)$$

وبدلالة التردد

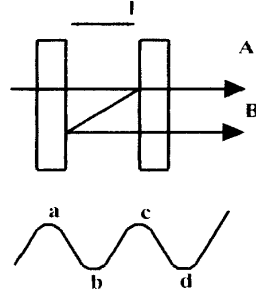
$$\nu_1 = \frac{1}{\lambda_1} \text{ cm}^{-1}, \quad \nu_2 = \frac{1}{\lambda_2} \text{ cm}^{-1}$$

$$\therefore 2 I v_2' = 2 I v_1' + \frac{1}{2} \quad (2.15)$$

$$4 I v_2' = 4 I v_1' + 1$$

$$I = \frac{1}{4(v_2' - v_1')} \text{ cm} \quad (2.16)$$

أو
وهذا يعطى



شكل (43) : مسار الأشعة داخل الخلية الفارغة

لقياس I نحدد قيمة العدد الموجي عند القيمة العظمى والعدد الموجي عند القيمة الصغرى التي تليها مباشرة ولكن من الناحية العملية لابد أن نقيس عدد كامل من الهدب Fringes وليكن العدد الموجي v_1' عند أول قيمة عظمى و v_2' عند القيمة العظمى لعدد كامل من الهدب فيصبح السمك

$$I = \frac{N}{2(v_2' - v_1')}$$

فمثلا إذا كانت

$$v_1' = 500 \text{ cm}^{-1}, v_2' = 1980 \text{ cm}^{-1}, N = 30$$

إذن

$$l = \frac{0.5 N}{(\nu_2' - \nu_1')} \text{ mm} = \frac{5 \times 30}{(1980 - 500)} = 0.1014 \text{ cm}$$

مثال: إذا كان عدد القيم العظمى بين الترددات $1180 - 3780 \text{ cm}^{-1}$ يساوي 13 إحصى سمك الخلية.

$$l = \frac{N}{2(\nu_2' - \nu_1')} = \frac{5 \times 13}{3780 - 1180}$$

الحل:

$$= 2.5 \times 10^{-3} \text{ cm}$$

Solid Samples

العينات الصلبة

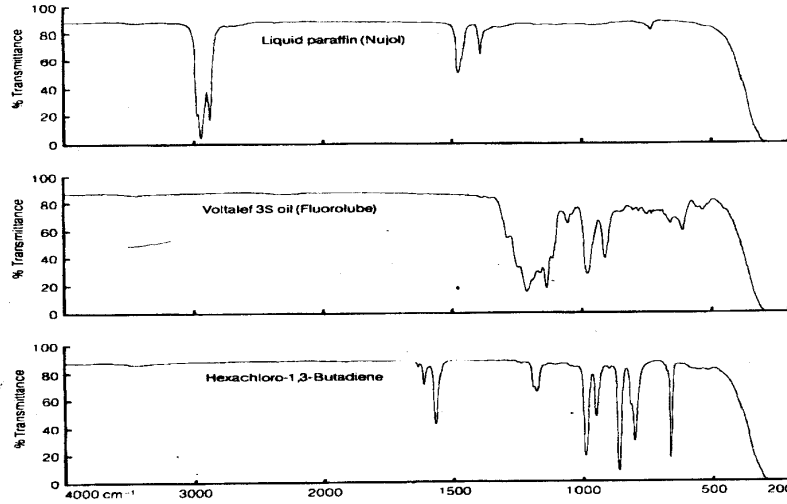
أهم عامل يجب أخذه في الاعتبار للحصول على أفضل طيف للمادة هو حجم الحبيبات. من وجهة النظرية يتحتم أن يكون حجم الحبيبات أقل من طول الموجة الساقطة عليها لتقليل تشتت وإنكسار الأشعة. لذا يجب أن لا يزيد حجم الحبيبات عن 2 ميكرون للعينات التي تقاس في المنطقة من $200 - 5000 \text{ cm}^{-1}$. للحصول على الأحجام المناسبة للحبيبات يلزم طحن العينات مما ينشأ عنه رفع درجة حرارتها أو تغيير شكلها البلوري. يمكن التغلب على مساوئ الطحن إما بتبريد العينة أثناء الطحن أو الطحن لفترات دورية قصيرة. أما العامل الثاني الذي يجب أخذه في الاعتبار للحصول على طيف جيد هو ضرورة تقارب معاملي إنكسار المادة والوسط الموزعة فيه المادة. وهذا التقارب يقلل من تشتت أو إنكسار الأشعة ولا يتسبب في إزاحة أو تشويه أشرطة الإمتصاص.

Mull

طريقة المعلق

أبسط طريقة لتحضير العينات الصلبة التي لا تذوب في مذيب مناسب هي طريقة توزيع حبيبات العينة في سائل شفاف غليظ القوام مثل زيت السبرافين أو Nujol. في هذه الطريقة تطحن العينة جيدا إلى مسحوق ناعم، يقلب جزء من المسحوق جيدا في عدة قطرات من السائل اللزج ثم يضغط المعلق بين قرصين من بروميد البوتاسيوم أو كلوريد الصوديوم أو

أيوديد السيزيوم فيتكون فيلم رقيق للمخلوط بين القرصين. في هذه الطريقة يجب أن يكون حجم الحبيبات صغيراً جداً لتتلافى التشتت والإكسار و هذا يفقد المادة أحد خصائصها التركيبية حيث تفقد الخاصية البلورية. ومن عيوب هذه الطريقة كذلك أنه لا يمكن إجراء دراسات كمية على العينات حيث لا يمكن التحكم في سمكها أو تجانسها وأيضاً تركيزها ، علماً بأن هذا السائل شفاف في منطقة الأشعة تحت الحمراء ولا يتفاعل مع المواد. يوضع في المسار الآخر للضوء عينة من هذا السائل لطرح الطيف الخاص به من طيف العينة. شكل (44) يبين طيف بعض المواد التي تستخدم Mull.



شكل (44): طيف Nujol وبعض مواد Mull.

Melting Method

طريقة الصهر

يمكن صهر كمية صغيرة من المادة ، التي لها نقطة إنصهار منخفضة بين قرصين من بروميد البوتاسيوم ثم تبريد القرصين فتتكون طبقة رقيقة من المادة يمكن قياس طيف امتصاصها ولكنها طريقة غير كمية.

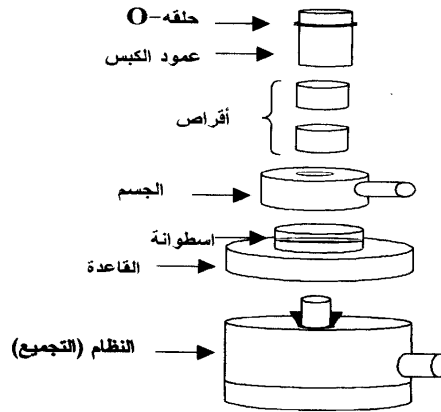
تذاب المادة في مذيب مناسب ثم يصب المحلول على لوح من الزجاج أو بروميد البوتاسيوم و يترك المذيب عند درجة حرارة مناسبة أو تحت تفريغ حتى يتبخر. يمكن سحب الفيلم بسهولة وقياسه. هذه الطريقة كمية ودقيقة. يجب أن يتوافر في المذيب الخصائص التالية:

- 1- قدرته على إذابة المادة تماماً.
- 2- له درجة غليان منخفضة و يتطاير بسهولة.
- 3- لا يتفاعل مع المادة.

KBr Disc Method

طريقة أقراص بروميد البوتاسيوم

تعد العينة أولاً على هيئة مسحوق ناعم. يضاف من 1-3 ملليجرامات من المادة على حوالي 200 ملليجرام من أي من بروميد البوتاسيوم أو أيوديد السيزيوم ويقلب المخلوط جيداً للحصول على خليط متجانس. يوضع الخليط في قالب خاص شكل (45) ثم يضغط على العينة أثناء التفريغ لسحب بخار الماء للحصول على قرص شفاف متماسك.



شكل(45): الأجزاء المختلفة لقالب أقراص بروميد البوتاسيوم.

تتميز هذه الطريقة بمايلي:

أ - يمكن حساب تركيز العينة وسمك القرص مما يساعد على إجراء دراسة كمية لطيف المادة.

ب- يمكن توزيع حبيبات المادة توزيعاً متجانساً في الوسط كما أن حجم الحبيبات لا يلزم أن يكون صغيراً إلى حد يفقد المادة خواصها البلورية.

ج- يمكن حفظ القرص لفترة طويلة لإعادة القياس عليه مرة أخرى إذا لزم الأمر.

ويجب أخذ الاحتياطات لكي لا يمتص القرص بخار الماء من الجو فتظهر خطوط الماء في الطيف كما أن إمتصاص الماء يقلل من شفافية القرص وهذا يؤثر على شكل أشطرة إمتصاص مجموعات OH، NH.

العينات المجهرية Micro Samples

طيف الأشعة تحت الحمراء أداة ممتازة في تمييز المواد غير المعروفة و تتفوق على غيرها من الطرق التحليلية الأخرى في كونها لا تحتاج الا لميكرو جرامات قليلة من المادة. ولكن لا يمكن استخدام الطرق المعتادة لقياس طيف الكميات الصغيرة جداً. وتوجد قطع إضافية خاصة لتحضير هذه الكميات سواء كانت صلبة أو سائلة في حدود الميكروجرامات أو الميكرومليمترات. يتم ذلك بتكثيف شعاع الضوء الساقط على العينة بحيث يمر بالعينة أكبر قدر ممكن من الشعاع. وتوجد خلايا صغيرة جداً يصل حجمها إلى 4 ميكرو ملليمترات وسمكها 1mm. وتوجد أنواع متعددة من الخلايا. ومثال على ذلك خلية الألماس للعينات الصلبة وتتكون من قطعتين من الألماس تضغطان بينهما العينة للسمك المناسب للقياس ولزيادة مساحة السطح. ويمكن استخدام الخلية المتعددة الإ انعكاسات الداخلية وهذه الطريقة تمكن من الحصول على أطياف قوية الإمتصاص.

توجد أنواع من الخلايا التي يمكن بواسطتها قياس طيف العينات عند درجات حرارة مختلفة من $180^{\circ}\text{C} - 250^{\circ}\text{C} +$ بدقة 0.1°C . وهذه الخلايا مزودة بنظام تسخين كهربائي للحرارة فوق درجة حرارة الغرفة و بالنيتروجين السائل و التسخين لدرجات أقل من درجة حرارة الغرفة ويمكن بواسطة هذه الخلايا دراسة انتقال المادة من حالة إلى أخرى وميكانيكية التفاعل. كما توجد خلايا حرارية للقياس في حالة الإ انعكاس الكلي الموهن وكذلك العينات المجهرية.

تفسير أطياف الأشعة تحت الحمراء Infrared Spectra Interpretation

1.3 ترددات المجموعة Group Frequencies

ترددات المجموعة يقصد بها ترددات الذبذبات المرتبطة بمجموعة صغيرة من الذرات داخل الجزيء. معظم ترددات الجزيء تنقسم لمجموعات صغيرة جداً من الذرات داخل الجزيء. ترددات أي مجموعة ذرية تميزها عن غيرها بغض النظر عن موضعها في الجزيء. تستخدم ترددات المجموعات الذرية في تحديد صنف ونوع المركب بالإضافة إلى التعرف على مكونات المخاليط. تنقسم منطقة الأشعة تحت الحمراء الوسطى إلى أربع مناطق ويمكن تحديد طبيعة ترددات المجموعة من المنطقة التي تقع فيها.

2:3 ترددات ذبذبات المد الهيدروجينية X- H stretching Region

تصنف جميع الذبذبات الأساسية التي تظهر بعد العدد الموجي 2500 cm^{-1} إلى حد كبير من التأكد " إلى الرابطة بين ذرة الهيدروجين وأي ذرة أخرى. تعتبر ذرة الهيدروجين أخف الذرات لذا تتذبذب بأقصى قوة ولا يرجع ذلك إلى صغر كتلتها فقط بل وأيضاً لتكافؤها الأحادي.

ذبذبة المد O-H O - H Stretching Vibration

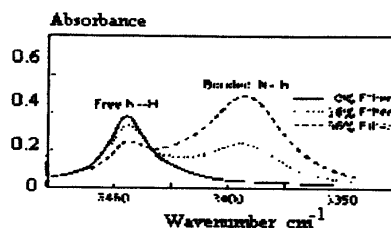
تظهر هذه الذبذبة في المنطقة بين 3000 cm^{-1} و 3700 cm^{-1} مع بعض الاستثناءات. ومجموعة OH الحرة، أي مجموعة الهيدروكسيل التي لا تتضمن ترابط هيدروجيني، تظهر في المنطقة 3500 cm^{-1} إلى 3700 cm^{-1} وأشرطة هذه المجموعة

تتميز بضيق عرضها على عكس مجموعة الهيدروكسيل ذات الرابطة الهيدروجينية القوية التي تتميز بأشرطة امتصاص عريضة وقوية في المنطقة 3100 cm^{-1} إلى 3500 cm^{-1} . كلما زادت قوة الرابطة الهيدروجينية كلما قل العدد الموجي وزاد عرض وشدة شريط الامتصاص. هنا يلعب تخفيف المحاليل بالمذيبات العضوية دوراً كبيراً، فكلما حدث تفكك في الرابطة الهيدروجينية كلما زادت إزاحة شريط الامتصاص إلى العدد الموجي الأعلى وقل عرض الشريط وأصبح حاداً. الرابطة الهيدروجينية تقلل العدد الموجي وتزيد من شدة شريط الامتصاص وتزيد من عرض الشريط. ومن معرفة تردد مجموعة الهيدروكسيل يمكن حساب شدة الرابطة الهيدروجينية للجزيء. وتغير العدد الموجي بسبب استخدام المذيبات العضوية يعطى فكرة عن تأثير الوسط مما يساعد على معرفة التركيب الكيميائي للجزيء في المحلول.

N-H Stretching Vibration

ذبذبة المد N-H

تظهر أشرطة امتصاص هذه المجموعة في منطقة مجموعة الهيدروكسيل حيث أنها تحتوي على ذرة الهيدروجين ذات الكتلة الذرية الخفيفة والتكافؤ الأحادي بالإضافة إلى أن كتلة ذرة النيتروجين تقترب من كتلة ذرة الأكسجين. شريط امتصاص ذبذبة المد N-H يكون عادة أضيق من شريط ذبذبة المد لمجموعة O-H وهذا يساعد على التفريق بينهما (شكل 46). عند وجود الشريطين معاً يطمس شريط O-H شريط N-H، وهنا يجب الرجوع إلى منطقة ذبذبات الاتحناء لمجموعة N-H في المنطقة من 1650 cm^{-1} إلى 1490 cm^{-1} مما يساعد على التأكد من وجود أو عدم وجود هذه المجموعة. المركبات التي تحتوي على مجموعة NH_2 يظهر لها غالباً شريطاً امتصاص بينما يظهر للأمين الثانوي Secondary amines شريطاً امتصاص واحد حاد.



شكل (46): تأثير تركيز المحلول على تردد المجموعة N-H.

تظهر أشربة امتصاص هذه المجموعة عند الترددات بين 2700 cm^{-1} و 3300 cm^{-1} . ويظهر للمجاميع CH_2 و CH_3 شريطان أو ثلاثة أشربة امتصاص في المنطقة من 2850 cm^{-1} إلى 950 cm^{-1} . ولكل من هاتين المجموعتين ترددات مد تماثلية ولا تماثلية. نستطيع أن نشير إلى قاعدة هامة تساعد على تصنيف ذبذبات C-H وهى:

1. تظهر أشربة امتصاص C-H بعد 3000 cm^{-1} إذا كانت C-H غير مشبعة، أي أن تكون ذرة الهيدروجين متصلة بذرة كربون فى حلقة عطرية، أو فى الأليفينات Olefine أو الأستيلين Acetylene.
2. تظهر أشربة امتصاص C-H قبل 3000 cm^{-1} إذا كانت C-H مشبعة، مثل مركبات الأليفات Aliphatic Compounds، أي أن تكون ذرة الكربون ذات روابط أحادية مع الذرات الأخرى. عند ظهور أشربة امتصاص فوق 3000 cm^{-1} وأقل من 3000 cm^{-1} فإن ذلك يدل على وجود C-H مشبعة وأخرى غير مشبعة.

التأثير الإلكتروني للمجاميع المجاورة يمكن أن يؤثر على ترددات أشربة امتصاص هذه المنطقة. فمثلا تردد المد C-H فى مجموعة الألدهايد ($\text{H}-\text{C}=\text{O}$) فى الغالب يتجزأ إلى ترددين عند 2850 cm^{-1} و 2750 cm^{-1} . بالإضافة إلى ذلك، إذا كانت الرابطة الأحادية C-H مجاورة لرابطة ثنائية أو حلقة عطرية Aromatic ring فإن تردد المد C-H يزداد ويمتص فى المنطقة من 3100 cm^{-1} إلى 3000 cm^{-1} . هذا مهم جداً فى تعيين أشربة امتصاص مركبات الأليفات، ويجب استخدام ذلك بعناية حيث أنه فى العديد من المركبات التى تحتوى على عدد صغير من الهيدروجين العطري Aromatic Hydrogen وعلى الكثير من الرابطة C-H الأليفاتية Aliphatic C-H bonds قد تظهر أشربة المنطقة بعد 3000 cm^{-1} على صورة كتف فقط للأشربة القوية الخاصة بامتصاص مجاميع الأليفات أو من الممكن أن لا يكون لها وجود حيث تطمسها الأشربة القوية. الهيدروجين المتصل بالكربون المحمل بالكلور يمتص بعد 3000 cm^{-1} وهذا يؤدى بالطبع إلى بعض الالتباس Confusion. على أية حال وجود الحلقات العطرية يمكن التحقق منه بالبحث عن أشربة امتصاص هذه المجموعات فى المناطق الأخرى.

3:3 منطقة الرابطة الثلاثية Triple Bond Region

ذكرنا فيما سبق أنه كلما زاد عدد الروابط بين ذرات المجموعة المهتزة زاد ثابت القوة وزاد تبعاً لذلك تردد ذبذبة هذه المجموعة، معنى ذلك أن أعلى الترددات تنشأ عن تذبذبات المجموعات ذات الروابط الثلاثية باستثناء ترددات ذبذبات المجموعات الذرية التي تشمل ذرة الهيدروجين أي X-H بسبب صغر كتلتها الذرية وتكافؤها الأحادي. ونعلم أيضاً أن ثابت القوة في حالة ذبذبة المد أكبر منه في حالة ذبذبة الانحناء وهذا هو المسبب في ظهور أشرطة امتصاص ذبذبات المد عند ترددات أعلى من ترددات أشرطة امتصاص ذبذبات الانحناء لنفس المجموعة المهتزة.

تظهر أشرطة امتصاص ذبذبات المد للروابط الثلاثية ($C \equiv X$) في المنطقة من 2000cm^{-1} إلى 2500cm^{-1} وتظهر أشرطة امتصاص ذبذبات المد للمجموعة $C \equiv N$ بين 2200cm^{-1} و 2300cm^{-1} .

تمتص مجموعة $C \equiv C$ في المنطقة من 2050cm^{-1} إلى 2300cm^{-1} . يمكن التمييز بين أشرطة امتصاص المجموعتين السابقتين حيث أن شريط امتصاص المجموعة الأولى يكون متوسط الشدة بينما يظهر شريط امتصاص المجموعة الثانية ضعيف الشدة. يرجع ذلك لأن المجموعة ($C \equiv N$) لديها ثنائي قطب قوى ينشأ عنه تغير كبير في عزم ثنائي القطب عندما يتغير طول الرابطة. أما في حالة مجموعة ($C \equiv C$) يكون التغير في عزم ثنائي القطب صغيراً إلا إذا كانت هذه المجموعة متصلة بمجموعة قطبية. يمكن ظهور أشرطة امتصاص أخرى غير السابق ذكرها في هذه المنطقة تنتمي للمجموعة X - H عندما تكون كتلة ذرة X كبيرة مثل السيليكون أو الفسفور.

4:3 الرابطة المزدوجة Double Bond

ترددات ذبذبات المد للمجموعات ذات الروابط الثنائية ($C = X$) توجد في المنطقة من 1500cm^{-1} إلى 2000cm^{-1} .

$C = O$

تظهر أشرطة امتصاص المد للمجموعة $C = O$ في المدى بين 1640cm^{-1} و 1830cm^{-1} ، ويمكن تمييز أشرطة هذه المجموعة بسهولة لأنها تتميز بامتصاص قوى في

هذه المنطقة، كما أن ترددات ذبذباتها تعتمد على نوع المجموعات الذرية المتصلة بذرة الكربون. وعليه يمكن تمييز ترددات ذبذبات الاسترات Esters والكيتونات Ketones والألدهايد... الخ. فمثلاً تظهر أشرطة امتصاص الكربونيل استر في المدى بين 1710cm^{-1} و 1750cm^{-1} ، والأحماض في المدى من 1660cm^{-1} إلى 1730cm^{-1} ، والكيتونات والألدهايد في المدى من 1645cm^{-1} إلى 1740cm^{-1} ، والأميد من 1630cm^{-1} إلى 1710cm^{-1} .

C = C

تمتص ترددات المد لهذه المجموعة في المنطقة من 1575cm^{-1} إلى 1700cm^{-1} . فمعظم الأليفينات Olifins، $\text{C}=\text{C}'\text{s}$ توجد بين 1625cm^{-1} و 1680cm^{-1} عندما لا تكون مقترنة Non-Conjugated وتتخفض هذه الترددات بمقدار 30cm^{-1} عندما تكون مقترنة Conjugated. ويلاحظ أحياناً اختفاء امتصاص هذه المجموعة أو ظهور امتصاص ضعيف وذلك بسبب الخواص التماثلية أو عزم ثنائي القطب. امتصاص المجموعة $\text{C}=\text{C}$ في المركبات العطرية توجد في المدى من 1550cm^{-1} إلى 1650cm^{-1} . يلاحظ ظهور سلسلة من الأشرطة الضعيفة في المنطقة من 2000cm^{-1} إلى 1650cm^{-1} ناتجة عن امتصاص ترددات مضاعفات الذبذبات الأساسية لمركبات مشتقات البنزين (overtones).

C = N

توجد ترددات ذبذبات المد للمجموعة ($\text{C}=\text{N}$) في المدى من 1580cm^{-1} و 1700cm^{-1} . المركبات غير المقترنة Non-Conjugated التي تحتوي على التركيب $\text{R}-\text{CH}=\text{N}-\text{R}$ تمتص في المدى من 1665cm^{-1} إلى 1675cm^{-1} . مركبات Imines $\text{C}=\text{NH}$ تعطى عادة امتصاصاً بين متوسط وقوى الشدة في المدى من 1690cm^{-1} و 1630cm^{-1} بينما تعطى مركبات Imines التي تحتوي المجموعات $\text{C}=\text{N}-\text{C}$ امتصاصاً بين 1600cm^{-1} و 1670cm^{-1} . وعموماً تصنيف أشرطة امتصاص مجموعة $\text{C}=\text{N}$ ليس من السهل كما أن شدة أشرطة الامتصاص تتغير من قوى إلى ضعيف.

5:3 الرابطة الأحادية [Finger Print Region] Single Bond Region

1- ترددات ذبذبات المد

C - O

تقع ترددات هذه المجموعة في المدى من 900 cm^{-1} إلى 1300 cm^{-1} .

C - N

يوجد تردد هذه المجموعة في نفس المدى السابق للمجموعة C-O.

C - C

نشاهد أشرطة امتصاص هذه المجموعة في مدى الترددات بين 800 cm^{-1} إلى 1200 cm^{-1} .

يلاحظ أن المدى التي تقع فيه ترددات ذبذبات المد للروابط الأحادية أوسع بكثير من المدى الذي تشاهد فيه ترددات ذبذبات المد للروابط الثلاثية. ومن المعروف أن قوة الترابط بين الذرات في الرابطة الثلاثية تساوي مرة ونصف قوة الترابط في الرابطة الثنائية وتساوي ثلاثة أمثال قوة الترابط في الرابطة الأحادية. هذا يؤدي إلى أن طول الرابطة الثلاثية يكون أصغر من طول الرابطة الثنائية الذي يكون بدوره أصغر من طول الرابطة الأحادية معنى ذلك أن تأثير المجموعة المجاورة القريبة من هذه الروابط يكون ضعيفاً أو متوسطاً أو قوياً على ترددات الروابط الثلاثية والثنائية والأحادية على التوالي. على هذا الأساس تكون منطقة ترددات ذبذبات المد للمجموعات ذات الروابط الأحادية أوسع من منطقة ترددات ذبذبات المد للمجموعات ذات الروابط الثنائية التي تكون بالتالي أوسع من منطقة ترددات ذبذبات مجموعات الروابط الثلاثية.

2 - ترددات ذبذبة الانحناء للروابط الأحادية

N - H

نشاهد ترددات هذه المجموعة بين 1650 cm^{-1} و 1490 cm^{-1} . ظهور شريط امتصاص بالقرب من 1490 cm^{-1} يدل مباشرة على وجود مجموعة -NH- للمركب غير

المعروف في مركبات Imine أو Secondary amine أو Non Substituted amide.

C - H

توجد ترددات ذبذبات الإحناء لهذه المجموعة في المدى من 1300 cm^{-1} إلى 1475 cm^{-1} . وجود أو عدم وجود مجموعات CH_2 أو/و CH_3 يدل عليه وجود أو عدم وجود شريط امتصاص عند حوالي 1460 cm^{-1} . بالمثل وجود أو عدم وجود $\text{CH}_3\text{-C}$ يستدل عليه من وجود أو عدم وجود شريط امتصاص بالقرب من 1375 cm^{-1} .

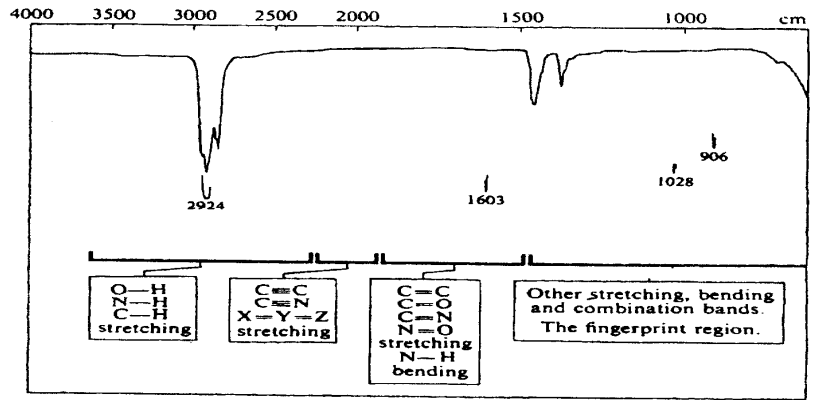
O- H

توجد ترددات ذبذبات الإحناء لهذه المجموعة في المنطقة 1200 cm^{-1} إلى 1450 cm^{-1} وبمجرد مشاهدة ترددات ذبذبات المد لمجموعة الهيدروكسيل عند حوالي 3300 cm^{-1} فإن التعرف على وجود ترددات ذبذبات الإحناء لهذه المجموعة وترددات ذبذبات المد للمجموعتين C-O، C-C يساعد على معرفة نوع الكحول الموجود.

الكحول الأولي	Primary Alcohol	يمتص بالقرب من	1040 cm^{-1}
الكحول الثانوي	Secondary Alcohol	يمتص بالقرب من	1110 cm^{-1}
الكحول الثالثي	Tertiary Alcohol	يمتص بالقرب من	1160 cm^{-1}
الكحولات العطرية	Aromatic Alcohols	تمتص بالقرب من	1230 cm^{-1}

ترددات التمرجح Rocking Frequencies

تشاهد ترددات التمرجح لمجموعة C - H في المنطقة من 600 cm^{-1} إلى 900 cm^{-1} بينما تظهر ترددات التمايل للمجموعة C - H في المنطقة من 700 cm^{-1} إلى 900 cm^{-1} . ومن أهم ترددات التمرجح التي تظهر في هذه المنطقة تردد المجموعة C - H الذي يشاهد بالقرب من 725 cm^{-1} فهو ذو أهمية كبيرة في الاستدلال عن وجود CH_2 - وهذا الامتصاص ينشأ عن وجود سلسلة مفتوحة متجاورة تتكون من عدد أربعة أو أكثر من مجموعة الميثيل CH_3 . وشكل (47) يبين مناطق ترددات المجموعات الوظيفية الهامة.



شكل (47): مناطق ترددات المجموعات الوظيفية الهامة.

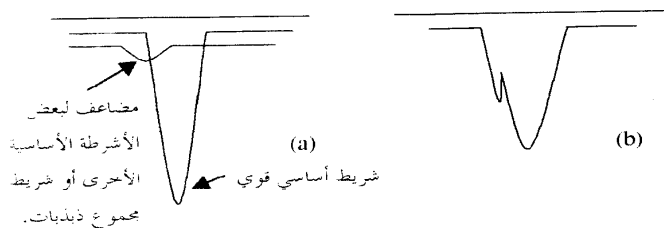
6:3 مضاعفات ومتراكبات الترددات Overtones and Combinations

سبق أن بينا أنه ينشأ عن اللاتوافق ظهور أشرطة إمتصاص غير الأشرطة الناتجة عن الذبذبات الأساسية وذلك بسبب تضاعف تردد إحدى الذبذبات أو لتركيب تردد ذبذبة مع تردد أخرى $[2\nu_1]$ أو $[\nu_1 + \nu_2]$ وشدة إمتصاص هذه الأشرطة تكون دائماً أضعف من شدة الأشرطة الأساسية الأصلية.

رنين فيرمي : Fermi Resonance

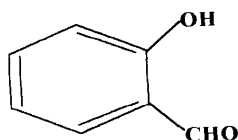
بالرغم من أن أشرطة مضاعفات ومجموع متراكبات الترددات تظهر أحيانا ضعيفة جداً إلا أنها في بعض الأحيان لأخرى تظهر قوية مقارنة بالأشرطة الأساسية ضعيفة الشدة. هذا يحدث بسبب ظاهرة تسمى رنين فيرمي Fermi resonance. والظاهرة تحدث عندما

عندما يتساوى تقريبا تردد المضاعف أو المتراكبات مع تردد ذبذبة أساسية أخرى. يكون رنين فيرمي أقوى ما يمكن عندما تتساوى الترددات تماماً شكل (48).



شكل (48): (a) حالة رنين فيرمي، (b) نتيجة رنين فيرمي.

في هذه الحالة يلاحظ شريطين متساويي الشدة وقريبين من بعضهما وعلى جانبي تردد الرنين ويطلق على هذين الشريطين مزدوج فيرمي. يوجد مثال على رنين فيرمي في طيف ساليسيل الدهايد Salicyl aldehyde. في هذا المركب لا يوجد غير رابطة C-H واحدة غير عطرية (أروماتية) في مجموعة CHO.



في المنطقة التي يظهر فيها شريط لذبذبة مد هذه الرابطة يظهر شريطان متساويي الشدة تقريبا عند 2732 cm^{-1} و 2833 cm^{-1} يفسر ذلك على أساس رنين فيرمي بين تردد المد C-H للمجموعة CHO - ومضاعف ذبذبة الإحناء C-H عند 1390 cm^{-1} أي $2 \times 1390 = 2780 \text{ cm}^{-1}$ ، ومثال آخر على ذلك رابع كلوريد الكربون الذي له أربع ترددات أساسية توجد ثلاثة منها عند 217، 313، 459 أما التردد الرابع يتوقع وجوده في المنطقة $700 - 800 \text{ cm}^{-1}$. يظهر في طيف الأشعة تحت الحمراء في هذه المنطقة مزدوج متساوي الشدة تقريبا عند 762 cm^{-1} ، 791 cm^{-1} . والسبب في ذلك رنين فيرمي بين تردد الذبذبة الأساسية الرابعة و $459 + 313 = 772 \text{ cm}^{-1}$.

7:3 العوامل التي تؤثر على تردد إهتزازات الجزيء Factors Affecting Vibrational Modes

نعلم أن تردد إهتزازات ذرتين أو مجموعة صغيرة من الذرات يعتمد أساساً على شدة الرابطة بين الذرات أى على ثابت القوة وكتلة الذرات وتوزيعها في الفراغ ولكن توجد بعض العوامل الأخرى التي تؤثر على تردد الإهتزازات ويمكن تقسيم هذه العوامل إلى نوعين هما:

- العوامل الخارجية (External Factors): هي التي ترتبط بالظروف الخارجية وتشمل: تغير حالة المادة من صلبة إلى سائلة أو غازية أو العكس، تغير التركيب البلوري (أو تعدد الشكل البلوري لمركب كيميائي واحد)، وجود أو عدم وجود رابطة هيدروجينية ثم تأثير المذيبات.

- عوامل داخلية (Internal Factors): هي التي تؤثر على الرابطة بين الذرات وتشمل التغير في موضع أو كتلة الذرات، الازدواج الميكانيكي بين إهتزازة وأخرى، والتأثير الفراغي والتأثير الكهربائي.

1- العوامل الخارجية

تغير الحالة Change of Phase

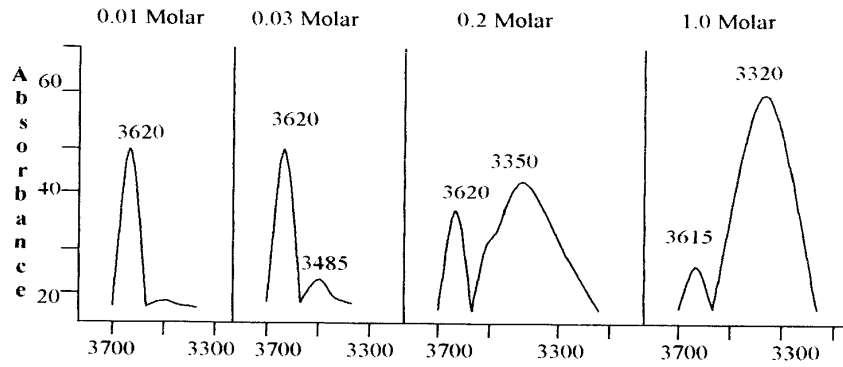
يتغير تردد المجموعة المهتزة تبعاً لحالة المادة، وذلك لأن الجزيئات في الحالة الغازية توجد على مسافات بعيدة عن بعضها مما يجعل القوى المتبادلة بينها عند أقل قيمة لها. لكن في السوائل والمحاليل يتأثر الجزيء بالجزيئات المتشابهة المحيطة به وبجزيئات المذيب وهذا يؤثر على تردد المجموعات المهتزة سواء كان خلال التجمع الجزيئي أو ثابت العزل للوسط. مثال على ذلك يظهر شريط إمتصاص إهتزازة المد لمجموعة الكربونيل للأستيتون في الحالة الغازية عند التردد 1742 cm^{-1} بينما يظهر عند 1718 cm^{-1} في الحالة السائلة. ويتغير تردد المجموعة المهتزة كذلك تغيراً صغيراً (معدداً في حالة وجود ترابط هيدروجيني) في حالة تحول المادة من الحالة السائلة إلى الحالة الصلبة وذلك لزيادة القوى المتبادلة بين الجزيئات. قد يتغير

شكل الطيف بتغير بنيه المادة من الحالة البلورية إلى الحالة الأمورفية فيمكن بسبب هذا التحول أن تظهر أو تختفي بعض أشرطة الإمتصاص. وإذا تعددت الأشكال البلورية للمركب الواحد ظهر لكل شكل من هذه الأشكال البلورية طيف إمتصاص مميزا له، مثال على ذلك يختلف طيف إمتصاص Ca CO_3 إذا وجد على صورة calcite عنه إذا وجد على صورة aragonite وكذلك الأشكال البلورية المختلفة لثاني أكسيد السيليكون يظهر لها أطيف إمتصاص للأشعة تحت الحمراء مختلفة.

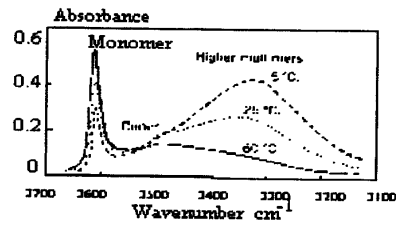
الترابط الهيدروجيني X-HO Hydrogen Bonding

يعتبر طيف إمتصاص الأشعة تحت الحمراء من أهم الطرق المستخدمة في قياس الترابط الهيدروجيني سواء كان داخل أو بين الجزيئات. وجود الترابط الهيدروجيني وخصوصاً في الجزيئات O - H ، N - H يحدث تغيراً واضحاً في تردد وشدة إمتصاص واتساع شريط إمتصاص هذه المجموعات فالترابط يقلل من قيمة التردد ويزيد من شدة واتساع شريط الإمتصاص. تستخدم قيمة الإزاحة في التردد $\Delta\nu = \nu_2 - \nu_1$ لقياس ثابت القوة للرابطة الهيدروجينية. وينشأ عن الرابطة الهيدروجينية لمجموعة الهيدروكسيل O-H أكبر إزاحة في تردد المد فبينما يوجد شريط المد للمجموعة OH الحرة عند $3600 \text{ cm}^{-1} - 3700 \text{ cm}^{-1}$ وهو شريط حاد، يوجد شريط المد للمجموعة المترابطة عند $2500 \text{ cm}^{-1} - 3500 \text{ cm}^{-1}$. يفسر ذلك على أساس أن وجود الترابط الهيدروجيني يزيد من طول الرابطة O-H الأصلية مما يقلل من ثابت القوة وقيمة التردد. ومما يذكر أن تردد إنحناء هذه المجموعات يكون أقل تأثراً بوجود الترابط الهيدروجيني الذي يزيد من قيمة تردد الإنحناء.

بصرف النظر عن تأثير المذيبات فإن تركيز المحاليل وأيضاً درجة حرارتها يؤثران على شدة الرابطة الهيدروجينية للمركبات، فكلما قل التركيز قلت فرصة أي جزيئين على التصادم ونقل بذلك درجة الرابطة الهيدروجينية مع زيادة تخفيف المحلول. الشكل (49) يبين تأثير التركيز على الترابط الهيدروجيني. وزيادة درجة الحرارة يعني أن طاقة كل جزيء تزداد وعندئذ يمكن أن تنكسر قوى الترابط الضعيفة وهذا يؤدي إلى تقليل درجة الترابط الهيدروجيني وإزاحة تردد المجموعة التي تحتوي على رابطة هيدروجينية إلى قيمة أعلى (شكل 50).

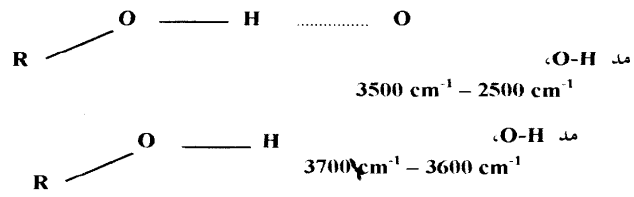


شكل (49): تأثير التركيز على أشرطة امتصاص مجموعة OH.

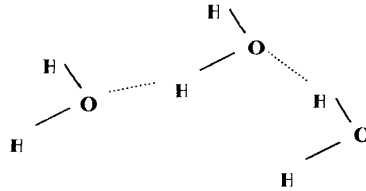


شكل (50): تأثير الحرارة على أشرطة امتصاص مجموعة OH.

يعرف الترابط الهيدروجيني بأنه التجانب الذي يوجد بين ذرة ذات سالبية كهربائية عالية تحمل زوج إلكترونات غير مرتبط مثل [النتروجين N والأكسجين O والفلور F] وذرة الهيدروجين التي تكون مرتبطة أيضاً بذرة صغيرة لها سالبية كهربائية عالية شكل (51). والشكل (52) يوضح الترابط بين جزيئات الماء وهذا يمثل الترابط بين الجزيئات.

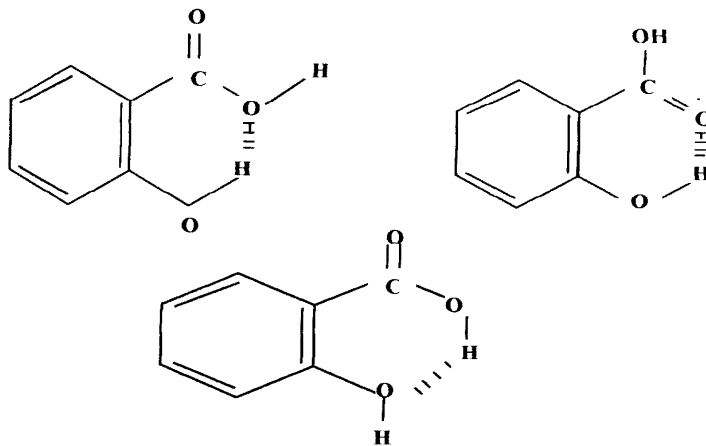


شكل (51): الترابط الهيدروجيني.



شكل (52): الترابط بين جزيئات الماء.

Intermolecular hydrogen bonding



شكل (53): الترابط داخل الجزيء

Intramolecular hydrogen bonding.

يمكن كذلك تكون رابطة هيدروجينية بين OH , COOH داخل نفس الجزيء وهذا يعرف بالترابط داخل الجزيء Intramolecular ويمكن تمثيله كما بالشكل (53). كثير من المذيبات يكون رابطة هيدروجينية مع المذيب. ويلزم لتكوين رابطة هيدروجينية وجود مجموعة مانحة للبروتونات وأخرى مانحة للإلكترونات.

Solvent Effects

تأثير المذيبات

من الأفضل أن تسجل جميع أطيف المواد في الحالة الغازية عند ضغط منخفض حيث يكون التأثير المتبادل بين الجزيئات عند أدنى قيمة له. أما في حالة المواد المذابة فيجب أن تسجل الأطيف في مذيبات غير قطبية وبتركيز مخفف. لكن من الناحية العملية، نظراً لعدم ذوبان المادة في مذيبات لا قطبية، نحتاج أحياناً إلى مذيبات قطبية. نجد أنه كلما زاد تركيز المادة وزادت قطبية المذيب زاد التفاعل المتبادل بين المذيب والمذاب. ويكون هذا التفاعل عادة ضعيفاً إلا إذا شمل وجود ترابط هيدروجيني. عادة يقل تردد اهتزازات المد بينما يزيد تردد اهتزازات الإنحناء لنفس المجموعة المهتزة في المحاليل إذا قورنت بمثلتها في الحالة الغازية. إزاحة التردد نتيجة لتغير المذيبات يتبعه عادة تغير في شدة الامتصاص بسبب تغير نسبة الأيزومرات Isomers. مثال على ذلك الأيزومرات ألد ورائية كما في الرسم.



من الممكن ربط الإزاحة في التردد بثابت العزل أو معامل انكسار الوسط وقد وضع كرك وود Kirk Wood أول علاقة بين الإزاحة في التردد وثابت عزل المذيب وهذه العلاقة هي:

$$\frac{\nu'_0 - \nu'_s}{\nu'_0} = \frac{K(D-1)}{2D+1} \quad (3.1)$$

حيث ν_s, ν_o تمثلان تردد البخار والسائل على التوالي، D و K ثابت العزل للمذيب وثابت التناسب على التوالي.

توجد ثلاث أنواع من المذيبات ينشأ عنها بعض المشاكل عند إستخدامها بالنسبة لتكوين ترابط الهيدروجيني وهذه هي:

1- المركبات التي تحتوي على مجموعات ماثحة للهيدروجين مثل الهالوجينات

التي تحتوى على عدد كافى من الهالوجين لتنشيط لهيدروجين الموجود ويمثل ذلك الكلوروفورم.

2- المركبات التي تحتوى على زوج إلكترونات غير مرتبطة مثل الأثير، الألكيهايدات و الأمينات amines.

3- المركبات التي تحتوى على الماء أو الكحولات.

من أهم المذيبات التي ليس لها الخصائص السابقة رابع كلوريد الكربون CCl_4 وكبريتيد الكربون CS_2 . وبالرغم من أنهما يحتويان على Cl و S فإن تأثيرهما على تكوين رابطة هيدروجينية ضعيف.

2- العوامل الداخلية

تأثير كتلة الذرة Mass Effect

إحلال عنصر مكان آخر في أي مجموعة كيميائية وظيفية يغير تردد هذه المجموعة. هذا التغير ليس فقط بسبب كتلة العنصر بل أيضاً بسبب خاصيته الكهربائية، ومن الصعب فصل تأثير كل منهم فمثلاً إحلال ذرة ما في المجموعة C-H محل أخرى لا يغير فقط في قيمة الكتلة بل من المحتمل أن يتسبب في وجود ازدواج ميكانيكي بين الإهتزازات مما يتسبب عنه إزاحة في التردد أكبر مما هو متوقع من تأثير التغير في الكتلة فقط.

يساعد تأثير الكتلة في تصنيف أشرطة الإمتصاص لمجموعاتها الجزيئية وذلك باستخدام النظائر، فمثلاً عندما يحل الديوتيريوم محل الهيدروجين يقل تردد المد X-H. فقد وجد أن تردد X-D يظهر عند قيمة أقل من تردد المد X-H بسبب ثقل كتلة الديوتيريوم عن كتلة الهيدروجين ويحدد ذلك العلاقة التالية:

$$\frac{\nu'(X-D)}{\nu'(X-H)} = \sqrt{\frac{2+2M_X}{2+M_X}} \quad (3.2)$$

حيث M_X تساوى الوزن الذرى للذرة X . عندما تكون $X = \text{كربون}$ ، نيتروجين أو أكسجين تكون $(1,86)^{1/2}$ ، $(1,87)^{1/2}$ ، $(1,89)^{1/2}$ على الترتيب. يمكن أيضاً إحلال الستريتيوم محل الهيدروجين لنفس الغرض.

Bond Angle Effect

تأثير زاوية الرابطة

عندما تتغير زوايا الرابطة الطبيعية للمجموعات حول ذرة كربون نتيجة لتأثيرها بحلقة أو باتفعال فراغي للجزيئات Steric Strain يتغير تبعاً لذلك ترددات الإهتزاز نتيجة للتغير الحادث في طول الرابطة. فمثلاً تظهر ترددات المد $C-H$ في الكاتات Alkanes في المدى 2850 cm^{-1} إلى 2965 cm^{-1} بينما تظهر ترددات المد $C-H$ في السيكلوبروبان Cyclopropane بالقرب من 3030 cm^{-1} . تفسير ذلك هو أن إنتفعال الحلقة Ring Strain قلل قيمة الزوايا، رباعية الجوانب، الطبيعية حول ذرة الكربون المشبعة، و إزداد جزء المدار P للرابطة $C-C$ ومن ثم زادت الخاصية S للروابط $C-H$ ، أي أن الروابط قلت وزادت قوتها، وبالتالي زاد التردد وهذه الزيادة أزاحت تردد المد $C-H$ إلى 3030 cm^{-1} . إذا فحصنا أطراف الكيتونات نجد أن أعلى تردد للمجموعة $C=O$ تظهر في طيف السيكلوبيوتانونات Strained Cyclobutanones الواقع عليها إنتفعال والسبب في ذلك إنتفعال الرابطة الزاوية Bond – Angular Strain، فزاوية الرابطة $C-CO-C$ تقل عن الزاوية الطبيعية 120° مما يؤدي الى زيادة الصفة S في الرابطة $C=O$ ، وبناء عليه تقصر الرابطة وتزداد قوتها وبالتالي يزداد تردد المجموعة $C=O$.

Electrical Effect

التأثير الكهربائي

أي تغير في التوزيع الإلكتروني للرابطة يؤثر على ثابت القوة وبالتالي يغير من تردد الإهتزازة. يتأثر هذا التوزيع الإلكتروني للرابطة بالسالبية الكهربائية للمجموعات المجاورة في الجزيء سواء كانت هذه المجموعات ماثحة أو جاذبة للشحنات، ويتغير تبعاً لذلك موضع وشدة

شريط الإمتصاص. فمثلا قابلية الأكسجين في مجموعة الكربونيل لجذب إلكترونات $C=O$ تضعف ثابت القوة $C=O$ ويقلل تردد هذه المجموعة، وأي مجموعة تزامم الأكسجين في الإلكترونات وينتج عنها زيادة ثابت القوة سوف تزيد قيمة تردد المجموعة $C=O$. مثال على ذلك، يظهر تردد المد للمجموعة $C=O$ في الكيتونات Ketones عند 1700 cm^{-1} بينما يظهر هذا التردد في أطيف الكلوريدات الحمضية Acid Chlorids عند 1800 cm^{-1} . يمكن ذكر مثال آخر للمقارنة بين تردد $C=O$ في كل من الكيتونات والأميد حيث يظهر شريط هذه المجموعة في طيف المركب الأول عند 1700 cm^{-1} وفي طيف المركب الثاني عند 1650 cm^{-1} . معلوم أن النتروجين له سالبة كهربائية Electro-negativity أعلى من الكربون وعليه يقل تردد الأميد عندما يجذب الأكسجين إلكترونات ويمتص النتروجين إلكترونات يؤدي هذا إلى ضعف رابطة $C=O$ وتقوى الرابطة $C-N$.

8:3 طريقة عامة لتفسير طيف الأشعة تحت الحمراء

General Procedure for Infrared Spectra Interpretation

قبل أن نتطرق للتحليل الوصفي لطيف إمتصاص الأشعة تحت الحمراء يجب أن نذكر حقيقة أساسية وهامة وهي أنه لا توجد مادتان تمتصان الأشعة تحت الحمراء عند نفس الترددات وبنفس الشدة، ولكن يميز كل مادة طيف إمتصاص وحيد تنفرد به ويكون بمثابة بصمة تميزها عن غيرها من المواد تماما كبصمة الإنسان.

نبدأ طريقة التفسير بتقسيم منطقة طيف إمتصاص المادة في المدى من 400 cm^{-1} إلى 5000 cm^{-1} إلى منطقتين. المنطقة الأولى من 1330 cm^{-1} إلى 5000 cm^{-1} والثانية من 400 cm^{-1} إلى 1330 cm^{-1} . وجاء هذا التقسيم على أساس أن معظم أشرطة إمتصاص المجموعات الوظيفية المميزة تظهر في المنطقة الأولى. أما المنطقة الثانية (منطقة البصمة) فتحتوي على معظم الإمتصاصات الفريدة المحددة لأي مادة. ثم نركز أولاً على المنطقة الأولى، ونأخذ في الاعتبار أقوى الأشرطة. فمثلا إذا وجدنا أن أقوى الأشرطة يقع عند العدد الموجي 1740 cm^{-1} وأكثر الإحتمالات لهذا الشريط أنه ينتمي لمجموعة أستر كاربونيل نواصل النظر في إتجاه تناقص العدد الموجي لنبحث عن أشرطة أخرى. وبفرض ظهور شريط ذو شدة إمتصاص متوسطة عند العدد الموجي 725 cm^{-1} ، على أساس أن المادة سائلة، فيكون الإحتمال أن المادة المجهولة تحتوي على إستر ألفي مشبع يحتوي على سلسلة مفتوحة من أربعة

مجموعات مثيلين متجاورة أو أكثر. ثم نقارن بعد ذلك طيف المادة التي نفحصها (الغير معروفة) مع الطيف المعروف للإستيرات. نفحص بعد ذلك شريط الإمتصاص الأقل شدة في المنطقة الأولى أيضاً. وبفرض وجود شريط عند 1667 cm^{-1} ، هذا يعني احتمال وجود أميدكربونيل. ونواصل البحث عن وجود أو عدم وجود أشرطة ذات شدة إمتصاص في إتجاه تناقص الطول الموجي في المنطقة من 1150 cm^{-1} إلى 1600 cm^{-1} لكي يمكن تحديد ما إذا كان هذا الأמיד أولي (Primary) أو ثانوي (Secondary). وبنفس الطريقة نفحص جميع الأشرطة القوية ثم أشرطة الإمتصاص ذات الشدة المتوسطة في المنطقة الأولى، بعد ذلك نصنف هذه الأشرطة حسب المجموعات الكيميائية. وفي هذه المرحلة لا نأخذ في الإعتبار أشرطة الإمتصاص ضعيفة الشدة.

في تصنيف أشرطة الإمتصاص في المنطقة الأولى أو الثانية على السواء توجد أكثر من مجموعة كيميائية من الممكن أن تكون السبب في ظهور شريط ما. بفرض ظهور شريط إمتصاص قوي عند 1695 cm^{-1} ، هذا الشريط يمكن أن يكون نتيجة حمض الكربوكسيل أو الأكدهايد العطري أو الألكيني، أو الكيتون العطري أو الألكيني، أو نتيجة للأמיד. ويجب التفريق بين هذه الإحتمالات بالبحث عن أشرطة الإمتصاص الأخرى المميزة لهذه المجموعات.

يأتي بعد ذلك التركيز على تحديد وجود أو عدم وجود ذبذبات C-H. ذكرنا فيما سبق أن ذبذبة المد C-H تقع في المدى بين 2700 cm^{-1} و 3200 cm^{-1} . وظهور شريط الإمتصاص بعد 3000 cm^{-1} يدل على أن ذرة الكربون غير مشبعة أو وجود الهالوجينات العالية. وعدم تشبع ذرة الكربون يعني أن ذرة الهيدروجين تتصل بذرة كربون في الأوليفينات أو العطريات أو الأستيلينات.

في حالة ظهور هذا الشريط قبل 3000 cm^{-1} يدل هذا على تشبع ذرة الكربون وهذا يعني إتصال روابط الكربون الأربعة بأربعة ذرات أخرى. وظهور أشرطة إمتصاص قبل وبعد 3000 cm^{-1} يدل ذلك على وجود ذرات كربون مشبعة وغير مشبعة. ويجب ألا نتوقع أنه في استطاعتنا تصنيف جميع الأشرطة.

الخطوة التالية بعد ملاحظة وجود شريط ذبذبة المد C-H هي البحث عن وجود شريط إمتصاص أقل شدة عند الطول الموجي 1460 cm^{-1} ، وجود هذا الشريط يدل على إحتمال وجود مجموعات الميثيل أو المثيلين. ومن الممكن معرفة الكثير عن طبيعة C-H من وجود أو عدم وجود شريط إمتصاص عند الطول الموجي 1375 cm^{-1} . وظهور شريط بالقرب من هذا العدد الموجي يدل على وجود C-CH_3 . وظهور شريط إمتصاص ضعيف عند العدد الموجي

1350 cm^{-1} يدل على وجود C-H المشبعة والتي تحتوي على ذرة هيدروجين واحدة متصلة بذرة الكربون. ولا توجد أشرطة ذات أهمية في المدى من 1370 cm^{-1} إلى 1400 cm^{-1} . ثم نبحث عن وجود أو عدم وجود شريط إمتصاص ذي شدة متوسطة عند 725 cm^{-1} . وجود شريط أو شريط مزدوج بالقرب من هذا العدد الموجي يدل على وجود سلسلة مفتوحة من أربعة مجموعات متجاورة من الميثيلين أو أكثر. ويكون الشريط مزدوج في حالة تسجيل طيف المادة في الحالة الصلبة، ويكون شريط مفرد في حالة تسجيل الطيف في الحالة السائلة أو في المحلول.

الخطوة التالية في التقسيم -ومازلنا في المنطقة الأولى- هو تحديد الرتبة العامة للمركب العضوي إذا أمكن. و يدل وجود أو عدم وجود شريط إمتصاص متوسط الشدة بالقرب من 1500 cm^{-1} إلى 1600 cm^{-1} على وجود أو عدم وجود المركبات العطرية. و يدل وجود إمتصاص متوسط الشدة في المدى من 1610 cm^{-1} إلى 1650 cm^{-1} على وجود الأوليفين. لابد أن نتذكر أن عدم وجود شريط إمتصاص في هذه المنطقة لا ينفي وجود الأوليفين. ففي حالة وجود $C = C$ في مركز تركيب تماثلي لا يظهر أي إمتصاص في هذه المنطقة.

ظهور شريط إمتصاص ضعيف عند 2210 cm^{-1} أو شريطين متوسطي القوة عند 3250 cm^{-1} و 2115 cm^{-1} قد يدل على وجود مشتقات الأستيلين، لكن غياب هذه الأشرطة لا ينفي وجود مشتقات الأستيلين لنفس السبب الذي ذكرناه سابقاً في حالة الأوليفين.

التحليل الكمي Quantitative Analysis

طيف إمتصاص الأشعة تحت الحمراء عبارة عن مخطط بياني يوضح العلاقة بين الطاقة الإشعاعية و التردد أو الطول الموجي، تمثل الطاقة على المحور الصادي والتردد على المحور السيني. ويقاس موضع شريط الإمتصاص إما بالميكرون أو بمقلوب السننيمتر، بينما يقاس ارتفاعه بالنسبة المئوية للطاقة النافذة أو النسبة المئوية للطاقة الممتصة، وتستخدم وحدة العدد الموجي (سم⁻¹) نظرا لعلاقتها المباشرة بتغير الطاقة الناتجة من عملية الإمتصاص.

$$\text{و مقلوب السننيمتر} = 10^{-16} \times 1,09863 \text{ ارج /جزئي}^{\circ}$$

$$= 2,85581 \text{ سعر/جزئي}^{\circ}$$

$$= 1,239 \times 10^{-14} \text{ إلكترون فولت /جزئي}^{\circ}$$

قانون بير Beer's Law

تعرف العلاقة التي تربط كمية الضوء،النافذة خلال الخليط الكيميائي المحتوى على المكونات الممتصة، بتركيز هذه المكونات في الخليط بقانون لامبرت-بوجير-بيير Lambert - Bouguer - Beer' s Law وللسهولة بقانون بير Beer's Law وينص هذا القانون على: تتناسب النسبة الممتصة من الطاقة الإشعاعية الساقطة على العينة تناسباً طردياً مع عدد جزيئات المادة الماصة التي تمر خلالها الأشعة. فإذا عبرنا عن الطاقة الإشعاعية الساقطة على العينة بالرمز I_0 وعن الطاقة الإشعاعية النافذة من العينة بالرمز I فإن :

$$I = I_0 e^{-\epsilon l C}$$

حيث ϵ = معامل الإمتصاص للجزيء.

l = سمك العينة بالسنتيمتر.

C = تركيز العينة.

$$\frac{I}{I_0} = e^{-\epsilon l C}$$

ويطلق على $\frac{I}{I_0}$ النفاذية T وهي النسبة بين الطاقة الإشعاعية النافذة من العينة و الطاقة

الإشعاعية الساقطة عليها. ويعبر عن النفاذية في الملة بالرمز $T\%$. إذن

$$T = e^{-\epsilon l C}$$

$$\text{Log} T = \log e^{-\epsilon l C} = -\epsilon l C$$

ويعرف $\log_{10} T = -\log_{10} \frac{1}{T}$ بشدة الإمتصاص Absorbance أو الإمتصاصيه وهي عبارة عن \log_{10} لمقلوب النفاذية T أي أن:

$$\log_{10} \frac{1}{T} = \epsilon l C$$

$$A = -\log_{10} [\% T / 100] = \epsilon l C$$

وطبقا لهذه العلاقة تتغير شدة الإمتصاص خطياً مع تركيز المادة الماصة، ولكن في أحيان كثيرة لا تكون هذه العلاقة خطية، فمثلاً تغيير التركيز يمكن أن ينشأ عنه تغير في طبيعة نوع الجزيئات الممتصة أو يتسبب في حدوث تفاعل بين الجزيئات الماصة. والعلاقة السابقة تتحقق فقط عندما يكون الضوء أحادى الطول الموجي، لأن قيم معامل الامتصاصية ϵ (absorbitivity) لا تكون دقيقة إلا إذا كان الضوء أحادى الطول الموجي.

سنوضح فيما يلي كيف يمكن استخدام طيف الأشعة تحت الحمراء في التحاليل الكمية. ولتحقيق هذا توجد عدة طرق تساعد في إجراء القياسات الكمية المطلوبة بدقة وكفاءة عالية. ويجب قبل التطرق لهذه الطرق أن نأخذ في الاعتبار أولاً مايلي:

1- يتكون طيف العينة من عدد من أشرطة الإمتصاص و لا يمكن أن تصلح جميعها للقياس الكمي لذا يجب اختيار شريط مناسب يقع في منطقة واضحة خالية من تداخلات أشرطة أخرى ولا يكون واقعاً تحت تأثير التفاعل بين الجزيئات. في الواقع اختيار الشريط بهذه المواصفات يكون صعباً.

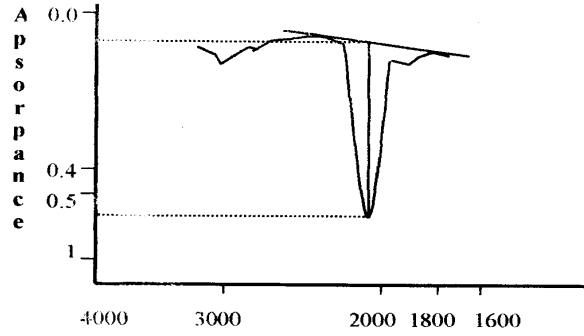
2- نأخذ في الإعتبار شدة إمتصاص الشريط فيجب أن لا تتعدى إمتصاصيته في التحاليل الكمية المدى من 0.2 إلى 0.7 أي تكون نفاذيته حوالي 20% إلى 60% تقريباً، وإذا تعدت الإمتصاصية هذه الحدود يصبح الخطأ وعدم دقة القياسات كبيراً.

3- يراعى أن يكون منحنى شريط الإمتصاص أملس أي لا يكون متدرجاً أو متعرجاً وسنذكر بعض الطرق المساعدة في إجراء التحليل الكمي

Baseline

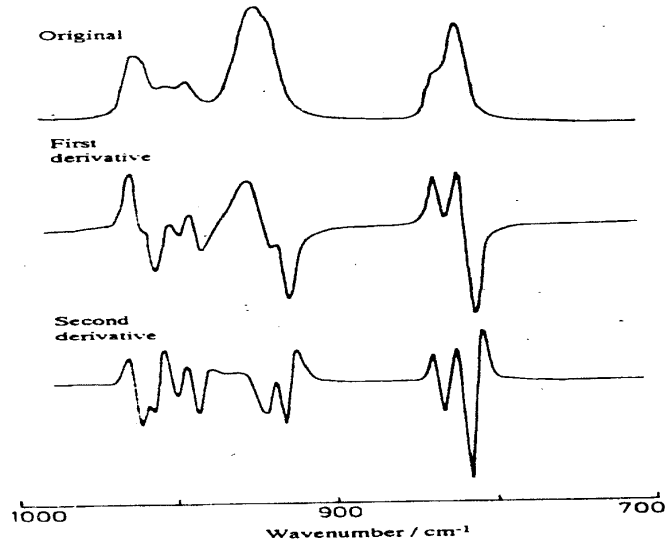
2.4 خط القاعدة

هو الخط المماس لنهايتي شريط الامتصاص (عند أدنى إمتصاص له) اللتين تحصران بينهما القمة العظمى للشريط. وتقاس الامتصاصية بالمسافة الرأسية من القمة حتى خط القاعدة. ويمكن أخذ هذا الخط لشريط واحد أو لعدة أشرطة وهو اختياري وذلك يعتمد على الخبرة ولكن يجب في حالة مقارنة القياسات تثبيت هذا الخط. والشكل (54) يبين مثال علي ذلك.



شكل(54): خط القاعدة.

تستخدم طريقة الاشتقاق في حالة الأطياف المعقدة وخصوصا في حالة دراسة أطياف المخاليط حيث تتراكب أشرطة إمتصاص المكونات المختلفة للخليط والقريبة جدا من بعضها ويظهر شريط واحد عريض. لذلك تستخدم المشتقة الأولى لفصل الأشرطة المترابكة. الشكل (55) يوضح الطيف الذي تسجله معظم أجهزة الطيف ويمكن تمثيل هذا الطيف بشكل آخر وذلك بتسجيل مشتقة المنحنى الطيفي. وتعرف مشتقة المنحنى بأنها ميل هذا المنحنى عند نقطة معينة، وطبقا لحساب التفاضل تكون مشتقة المنحنى الطيفي هي $dA/d\nu$ حيث A الامتصاصية. ويكون الطيف المسجل للمشتقة عبارة عن علاقة بين الميل $dA/d\nu$ و ν والمشتقة الأولى (First derivative) للطيف الأصلي (Original) موضحة بالشكلين (55,56).

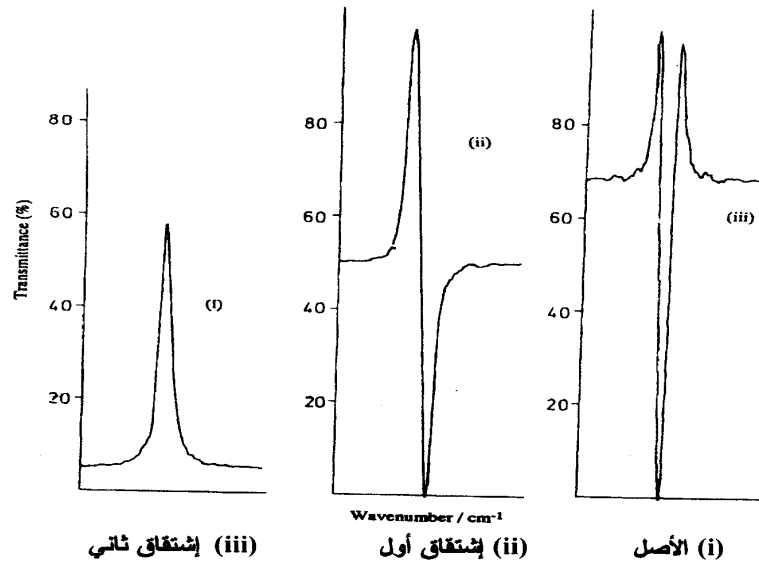


شكل (55): الاشتقاق الأول والثاني لطيف معقد.

وبالرغم من أن الطيف المشتق يبدو معقد إلا أن له مميزات عديدة عن الطيف المسجل مباشرة في بعض الظروف. وأول هذه المميزات أنه يوضح بدقة مركز قمة كل امتصاص، حيث يكون مركز الإمتصاص في الطيف الأصلي أفقي، أي أن $\frac{dA}{d\nu} = 0$ ، ويعرف المركز بتقاطع المنحنى المشتق مع المحور السيني. وميزة أخرى تتعلق بأسباب التجهيز حيث يكون من الأفضل دائماً حساب شدة امتصاص الشريط من المنحنى المشتق وليس من المنحنى المسجل مباشرة.

في الطيف العادي نرسم العلاقة بين الامتصاصية Absorbance والتردد، أما في حالة الاشتقاق نرسم العلاقة بين معدل تغير الامتصاصية $\frac{dA}{d\nu}$ والتردد.

يمكن كذلك حساب و رسم المشتقة الثانية (Second derivative) للمنحنى و هذه تزيد من حدة الأشرطة و فصل الأشرطة المتراكبة كما في شكل (55) و شكل (56).



شكل (56): اشتقاق قمة واحدة.

عند استخدام أجهزة FT IR يستخدم ما يسمى اشتقاق فورير. أثناء هذه العملية يحول الطيف إلى نموذج تداخل ثم يضرب في دالة معينة وفي النهاية يعاد تحويله ليعطى المشتقة وهذه الطريقة عالية الحساسية.

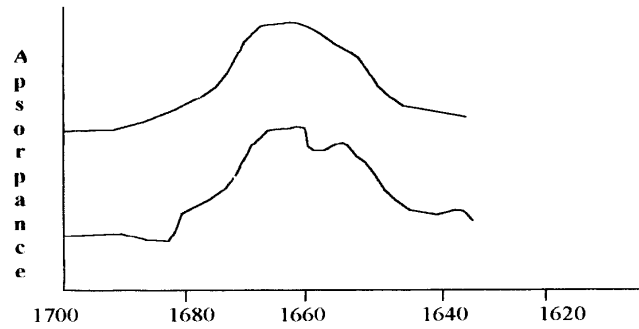
5.4 فصل الأشرطة المتراكبة Deconvolution

تستخدم هذه الطريقة لتحليل الأشرطة العريضة إلى أشرطة ضيقة وبذلك يمكن تمييز ملامح الأشرطة القريبة جداً من بعضها علماً بأن هذه الطريقة لا تستلزم تغيير قوة تحليل الجهاز وإنما تحتاج إلى زيادة القدرة على اشتقاق الأشرطة differentiation. وتشمل هذه الطريقة عدة خطوات:

1- حساب نموذج تداخل العينة بحساب تحويل فورير العكسي للطيف Inverse Fourier Transform.

2- ضرب نموذج التداخل بدالة الملاءمات Smoothing Function وبدالة تتكون من شكل شريط جاوس- لورنتز.

3- استخدام تحويل فورير لنموذج التداخل الناتج وتكرر الطريقة السابقة للحصول على نتائج جيدة و شكل (57) يوضح الطيف قبل و بعد إجراء عملية الفصل.



شكل (57): الطيف قبل و بعد إجراء عملية الفصل

Analysis of Liquids

1 - تحليل السوائل

نذكر أولاً طريقة لتعيين الشوائب في المواد المحتوية عليها:

نفرض أن لدينا مادة غير نقية ونريد تحديد نسبة المادة أو الشوائب في هذا المخلوط. في هذه الحالة أمامنا طريقتين. الطريقة الأولى؛ أن نختار شريط امتصاص للمادة الأصلية. الطريقة الثانية؛ أن نختار شريط امتصاص للمادة ضئيلة التركيز، المادة الشائبة. وبما أن الاهتمام ينصب على تحديد تركيز الشوائب وعلى أساس أن شدة امتصاص أشرطة المادة الأساسية لا يتغير كثيراً لأن تركيزها سيتراوح بين 95% و 100%، لذا يفضل اختيار شريط امتصاص للمادة ضئيلة التركيز وذلك لحساب شدة امتصاصها وتطبيق قانون بير. ولكن لابد أن تتوافر في هذا الشريط الشروط التالية:

- يكون له معامل امتصاص مولارى (Molar absorptivity) عالى.
- لا يكون مترابط مع أشرطة أخرى من أشرطة المواد في الخليط أو المذيب.
- يكون متماثل الجانبين.
- تمثل امتصاصية الشريط علاقة خطية مع تركيزه.
- الخطوة التالية نرسم خط معايرة بين تركيز المادة ضئيلة التركيز وشدة امتصاص (الامتصاصية A) شريط الإمتصاص.
- بعد ذلك تحسب شدة امتصاص الشريط المختار في طيف الخليط ونحسب تركيز المادة ضئيلة التركيز من علاقة المعايرة.
- ويمكن تعميم هذه الخطوات لحساب تركيز أي مادة في خليط من المواد في السوائل والمحاليل.

7.4 طريقة النسبة بين امتصاصية شريطين

Absorbances Ratio Method

في حالات كثيرة يصعب قياس سمك العينة مثل أفلام البوليميرات وكذلك تجانس العينة في الخليط أو عدم توزيعها في الوسط كما في حالة أقراص بروميد البوتاسيوم، في مثل هذه الحالات توجد طريقتان تستخدم النسبة بين امتصاصية شريطين.

في الطريقة الأولى يجب أن يتوفر في كل مادة من الخليط متعدد المركبات الشروط التالية:

ا . يكون لكل مادة امتصاص معروف يحقق علاقة بير ولا يتداخل مع امتصاص المركبات الأخرى في الخليط.

ب. يكون معامل امتصاص (absorptivity) كل المكونات معروفة ولا توجد مادة ليس لها امتصاص واضح.

فيذا تحققت هذه الشروط يمكن تطبيق علاقة بير على خليط من ثلاث مركبات كمايلي:

$$C_1 = A_1/a_1b_1 \quad , \quad C_2 = A_2/a_2b_2 \quad , \quad C_3 = A_3/a_3b_3$$

حيث C التركيز

A الامتصاصية Absorbance.

a معامل الامتصاص Absorptivity.

b طول المسار (سمك الخلية).

وذلك لكل مادة

وبفرض أن السمك يساوي واحد وأن $c_1 + c_2 + c_3 = 1$ فإن

$$\% c_1 = \frac{c_1 \times 100}{c_1 + c_2 + c_3}$$

أي أن

$$\% c_1 = \frac{(A/a_1)(100)}{(A_1/a_1 + A_2/a_2 + A_3/a_3)}$$

وحيث أن معامل الامتصاص معروف لكل مادة كما ذكرنا والامتصاصية يمكن حسابها من الطيف، فيمكن حساب التركيز. ولكن هذه الطريقة قليلا ما تستخدم لصعوبة قياس معامل الامتصاص لأنه في الغالب لا يكون ثابت حيث يتأثر ببعض العوامل الخارجية مثل الحرارة وتأثير المحاليل وخلافه.

الطريقة الأسهل والأكثر استخداماً هي التي فيها نختار شريطين ونحسب امتصاصيهما ونوجد النسبة بينهما ونرسم العلاقة بين هذه النسبة وتركيز المادة و من هذه العلاقة يمكن بسهولة الحصول على تركيز المادة.

8.4 طريقة إضافة مواد معايرة: Standard Addition Method

تستخدم هذه الطريقة في المخاليط المعقدة التي يصعب فيها تحديد أشرطة امتصاص بعيدة عن تأثير أشرطة المواد الأخرى، وكذلك في حالة عدم تعيين سمك العينة وخصوصاً في حالة استخدام أقراص الهالوجينات القلوية مثل KBr أو المحاليل اللزجة Mull. في هذه الطريقة تضاف المادة على العينة بنسبة 50% ثم بعد ذلك نخفف الخليط تدريجياً سواء كان سائل أو مسحوق. ثم يرسم منحنى معايرة بين النسبة بين إمتصاصية شريطي المادة المضافة والعينة ، تركيز العينة. لابد أن تتميز المادة المضافة بالتالي:

- ا. طيف امتصاص بسيط وبه عدد قليل من الأشرطة.
- ب. لا تمتص الماء ويمكن الحصول عليها في صورة مسحوق ناعم في حالة الدراسة بأقراص بروميد البوتاسيوم.
- ج. يمكن الحصول عليها في حالة نقية وغير سامة ولا تتفاعل مع العينة.

9.4 حساب عدد المجموعات الوظيفية في الجزيء :

Number of Functional Groups in a Molecule

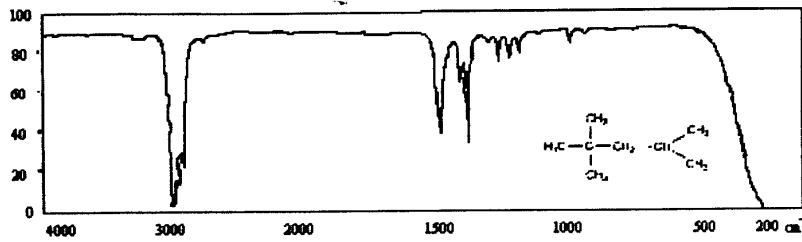
يمكن استخدام طيف الأشعة تحت الحمراء لقياس عدد المجموعات الوظيفية في الجزيء مثل مجموعات OH أو NH_2 . وقد وجد أن معامل الامتصاص المولارى Molar absorptivity للأشرطة التابعة للمجموعة تتناسب مع عدد المجموعات، أى أن كل مجموعة لها شدة امتصاص لا تتغير كثيراً من جزيء لآخر. ومن ذلك يمكن حساب طول السلسلة باختبار شريط مناسب للمجموعة وقياس امتصاصيته مع تغيير عدد المجموعة ورسم منحنى المعايرة. ومن هذا المنحنى يمكن حساب العدد في العينة التي لا يعرف طول السلسلة فيها.

التطبيقات
Applications

Organic Compounds 1:5 المركبات العضوية

Alkanes 1- الكانات

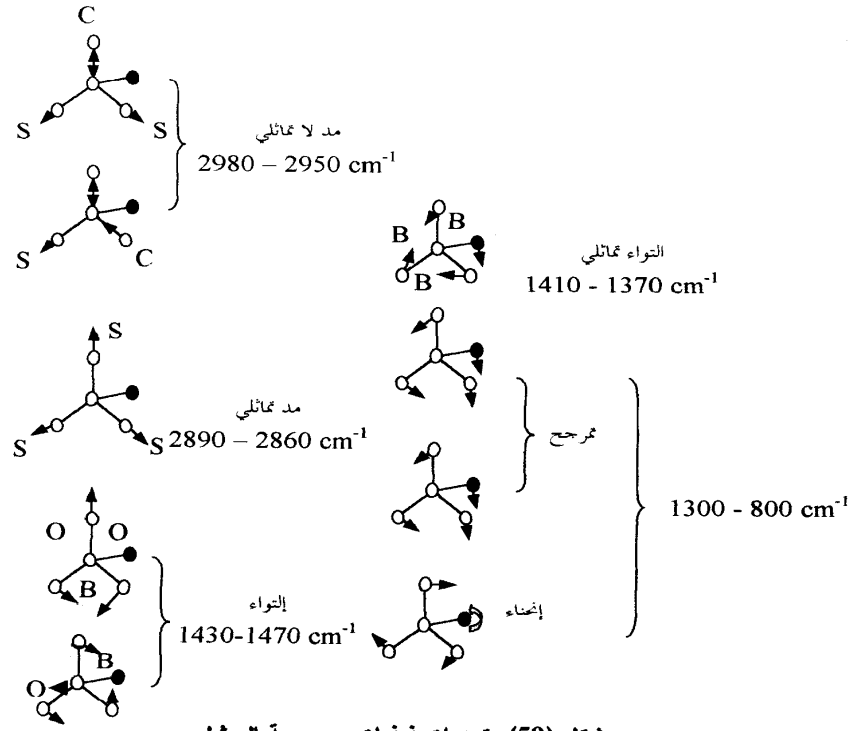
أهم الترددات التي تستخدم للتعرف على وجود هذه المركبات هي ترددات ذبذبات المد $C-H$. كما ذكرنا سابقاً هذه الترددات تقع قبل 3000 cm^{-1} وتكون شدة إمتصاص الأشرطة التابعة لها متوسطة. أما ترددات ذبذبات المد $C-C$ فليس لها أهمية كبيرة في التعرف على هذه المركبات، لأن شدة إمتصاص أشرطتها تكون ضعيفة ومتداخلة مع غيرها من ترددات مجموعات $C-C$ الأخرى. وأنسب مثال على هذه المركبات هو 2,2,4-trimethylpentane حيث يحتوى على مجموعات الميثيل (methyl) والميثيلين (methylene) والميثين (methine) شكل (58).



شكل (58): طيف إمتصاص الأشعة تحت الحمراء لمادة.

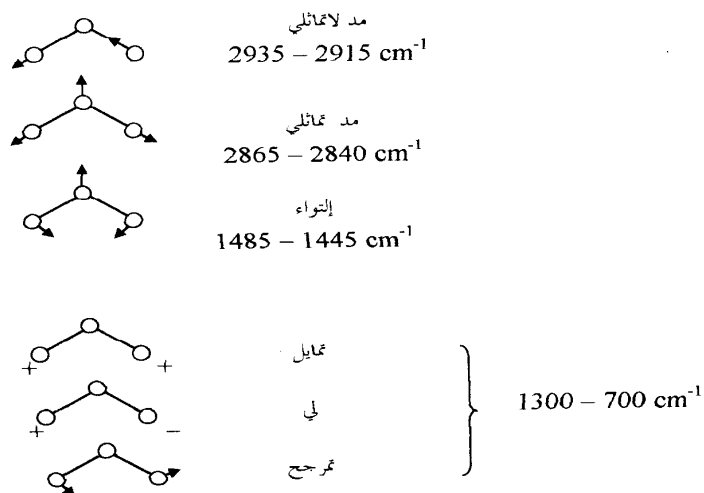
2,2,4 Trimethyl Pentane

شكل (59) يوضح الذبذبات المتوقعة لمجموعة الميثيل. الحرف s بالشكل يعني المد والحرف c يعني الانحناء، ويرمز لضيق الزاوية H-C-H في حالة الانحناء بالحرف B بينما يرمز لإتساع الزاوية بالحرف O، وعدم وجود أحرف يعني عدم وجود أي تغير.



شكل (59): ترددات ذبذبات مجموعة الميثيل.

ويمكن تمثيل ذبذبات مجموعة الميثيلين كما في شكل (60). تدل العلامات + و - بالشكل على الحركة أعلى وأسفل مستوى الصفحة على التوالي. ويبين الجدول (1) ترددات أشعة إمتصاص مركبات الكائنات.



شكل(60): ترددات ذبذبات مجموعة الميثيلين.

جدول(1): ترددات أشرطة إمتصاص مركبات الكاتات.

التردد	الصنف
$2980 - 2950 \text{ cm}^{-1}$	المد اللامتثالي للمثيل
$2935 - 2915 \text{ cm}^{-1}$	المد اللامتثالي للميثيلين
$2890 - 2860 \text{ cm}^{-1}$	المد التماثلي للمثيل
$2865 - 2840 \text{ cm}^{-1}$	المد التماثلي للميثيلين
$1485 - 1445 \text{ cm}^{-1}$	الإلتواء C-H للمجموعة CH_2
$1410 - 1370 \text{ cm}^{-1}$	الإلتواء التماثلي C-H للمجموعة CH_3
$1470 - 1430 \text{ cm}^{-1}$	الإلتواء اللامتثالي C-H للمجموعة CH_3
725 cm^{-1}	التماديل و التمرجح $(\text{CH}_2)_n$ مع $n > 4$

ودائماً تظهر ترددات الإلتواء (deformation) في المنطقة من 1400 cm^{-1} إلى 1500 cm^{-1} . ويلاحظ أن مجموعة الميثيل يظهر لها شريطان للتماثل واللاتماثل بينما يظهر لمجموعة الميثيلين تردد واحد لا تماثلي.

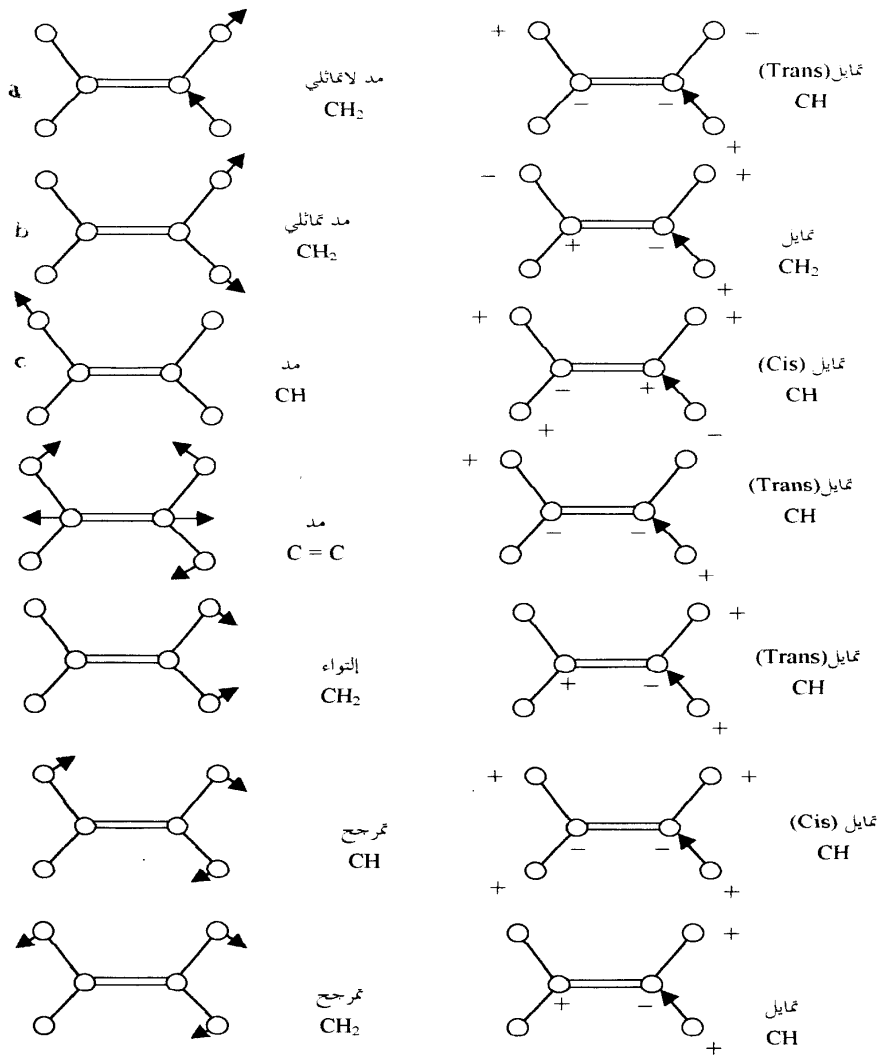
2- الكينيات Alkenes

هذه المركبات تحتوي على $C = C$ وفي معظمها ترتبط ذرة هيدروجين بالرابطة المزدوجة. يوجد لهذه المجموعة ثلاثة أنواع من الذبذبات كافية لإعطاء المعلومات اللازمة عنها، وهي كالآتي:

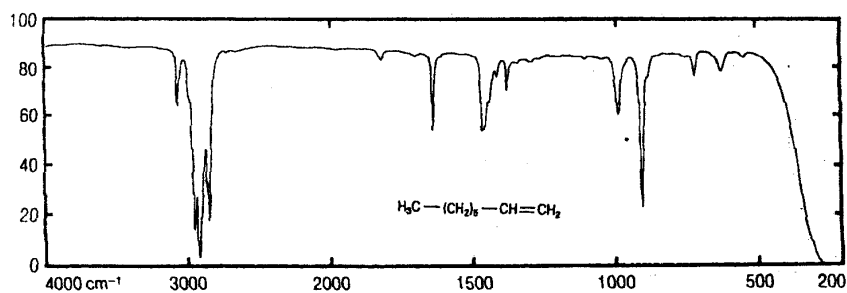
ا. تردد المد $C = C - H$ ، وهذه مجموعة غير مشبعة وعلى ذلك فهي تمتص كما ذكرنا سابقاً بعد 3000 cm^{-1} .

ب. تردد الإحناء خارج المستوى $C = C - H$ تظهر في المنطقة من 630 cm^{-1} إلى 995 cm^{-1} يوضح شكل (61) أنواع الذبذبات لهذه المركبات. ويمكن أحياناً فصل ترددات المد الثلاث $C-H$ باستخدام أجهزة ذات قوة تحليل عالية وهذه هي الذبذبات a, b, c بالشكل. ذبذبة المد اللاتماثلي للمجموعة $\text{Vinyl} = \text{CH}_2$ في طيف oct-1-ene شكل (62) يظهر لها شريطاً واضحاً تماماً عند 3070 cm^{-1} . ويوجد فقط شريط ضعيف جداً لذبذبة المد $C - H$ عند 3050 cm^{-1} وكذلك لذبذبة المد التماثلي CH_2 عند 3010 cm^{-1} . وتظهر هذه الأشرطة الضعيفة على هيئة أكتاف للأشرطة القوية لذبذبات CH_2 و CH_3 المشبعة التي تظهر قبل 3000 cm^{-1} . تردد المد $C = C$ في المركبات Vinyl , Cis Alkene and Vinylidene يوجد بالقرب من 1640 cm^{-1} كشرائط واضحة تماماً ومتوسط الشدة. في أطيف $\text{Symmetrical trans or tetra substituted alkenes}$ ، لا يظهر تردد المد $C = C$ حيث لا يحدث تغير في عزم ثنائي القطب أي أن هذا التردد غير نشط للأشعة تحت الحمراء (Infrared Inactive).

ج. المجموعة الثالثة من الذبذبات تنشأ نتيجة لذبذبة الإلتواء خارج المستوى $C=C-H$ وينشأ عن هذه الذبذبات عادة إمتصاص قوى.



شكل (61): نذبيلت الرابطة المزدوجة.



شكل (62): طيف Oct-1-ene.

ويوضح الجدول التالي ترددات أهم أشرطة الإمتصاص التي تستخدم للتعرف على هذه المواد.

التردد cm^{-1}	التصنيف
3100 - 3000 cm^{-1}	ذبذبة المد $\text{C} - \text{H}$
1680 - 1600 cm^{-1}	ذبذبة المد $\text{C} = \text{C}$
1460 - 1400 cm^{-1}	ذبذبة الالتواء في المستوى C-H
1000 - 600 cm^{-1}	ذبذبة إلتواء العمودى على المستوى C-H

3- الكاينات Alkynes

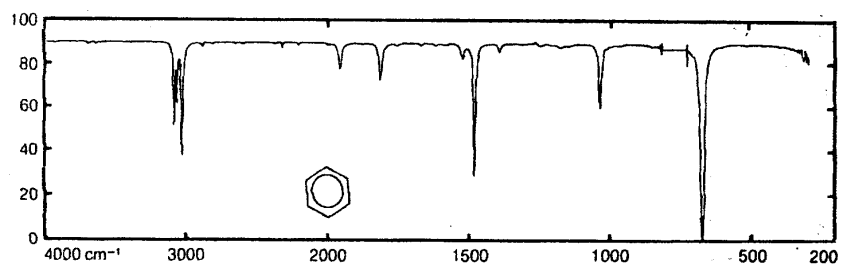
هذه المركبات تحتوى على مجموعة $\text{C} \equiv \text{C}$ وغيرها و تميزها أشرطة إمتصاص ذبذبات المد C-H والإحناء C-H والمد $\text{C} \equiv \text{C}$ كما هو موضح فى الجدول التالي.

التردد cm^{-1}	التصنيف
3320 - 3220 cm^{-1}	تردد المد $\text{C} \equiv \text{H}$
2300 - 2100 cm^{-1}	تردد المد $\text{C} \equiv \text{C}$ ضعيف
700 - 600 cm^{-1}	ذبذبة الإحناء $\text{C} - \text{H}$

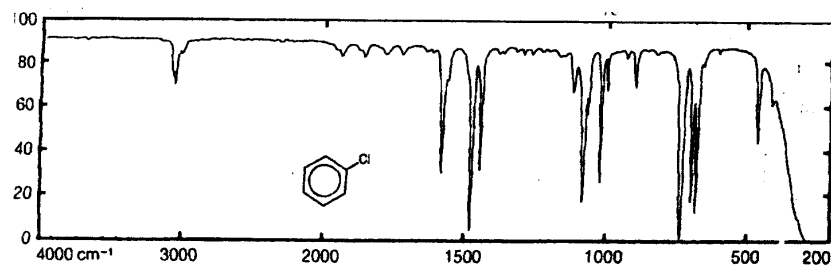
يمكن التعرف على وجود حلقة البنزين في الجزيء من أشرطة الإمتصاص الموضحة بالجدول التالي.

التردد ν cm ⁻¹	التصنيف
3100 - 3000 cm ⁻¹	ذبذبة المد C - H
2000 - 1650 cm ⁻¹ (weak)	مضاعفات وتراكبات الذبذبات
1600 - 1550 cm ⁻¹	المد الحلقى C = C
1500 - 1450 cm ⁻¹	المد الحلقى C = C
1300 - 1000 cm ⁻¹	الإحناء داخل المستوى C - H، ضعيف
900 - 600 cm ⁻¹	الإحناء خارج المستوى، قوى

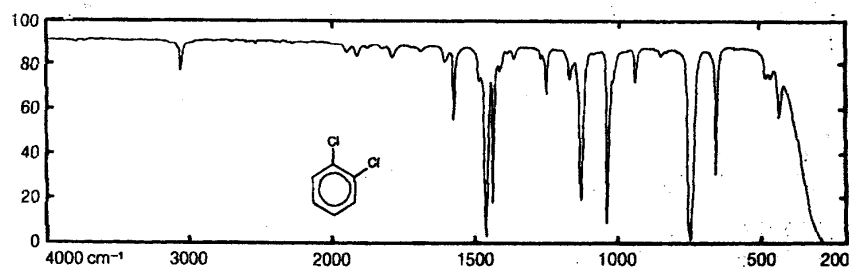
وقد بينا سابقاً أن ترددات المد C-H توجد بعد 3000 cm⁻¹ ويستدل من ذلك على وجود عدم التشبع تماماً مثل ما ذكرنا في حالة Alkenes. أما ذبذبات الإلتواء C-H فتتنقسم إلى نوعين. النوع الأول ذبذبات داخل المستوى، وتوجد في المنطقة من 1000cm⁻¹ إلى 1300 cm⁻¹ وأشرطة إمتصاصها تكون غالباً ضعيفة الشدة وغير ذي فائدة كبيرة في عملية التفسير أو التصنيف كما في شكل (63). النوع الثاني ذبذبات خارج المستوى، وتوجد في المنطقة من 600 cm⁻¹ إلى 900 cm⁻¹ ويتبعها أشرطة قوية الإمتصاص ولها أهمية كبيرة في التعرف على هذه المركبات وخصوصاً في حالة الإحلل في حلقة البنزين التي تحتوى على مجموعة ذرية في أوضاع مختلفة -أي البنزين (benzenes) أحادي (mono) وثنائي (di) وثلاثي (tri) الإحلل- أشكال (64، 65)، فيمكن من معرفة أملكن إمتصاص هذه الأشرطة التعرف على عدد وموضع الإحلل بحلقة البنزين وشكل (66) يوضح ذلك.



شكل (63) : طيف الأشعة تحت الحمراء للبنزين.

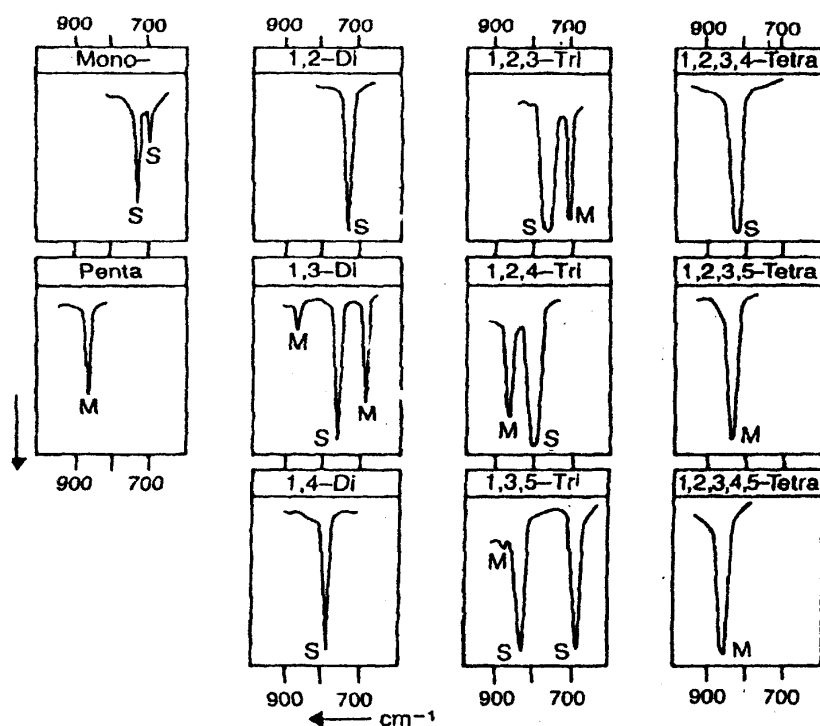


شكل (64) : طيف الأشعة تحت الحمراء للبنزين أحادي الكلور.



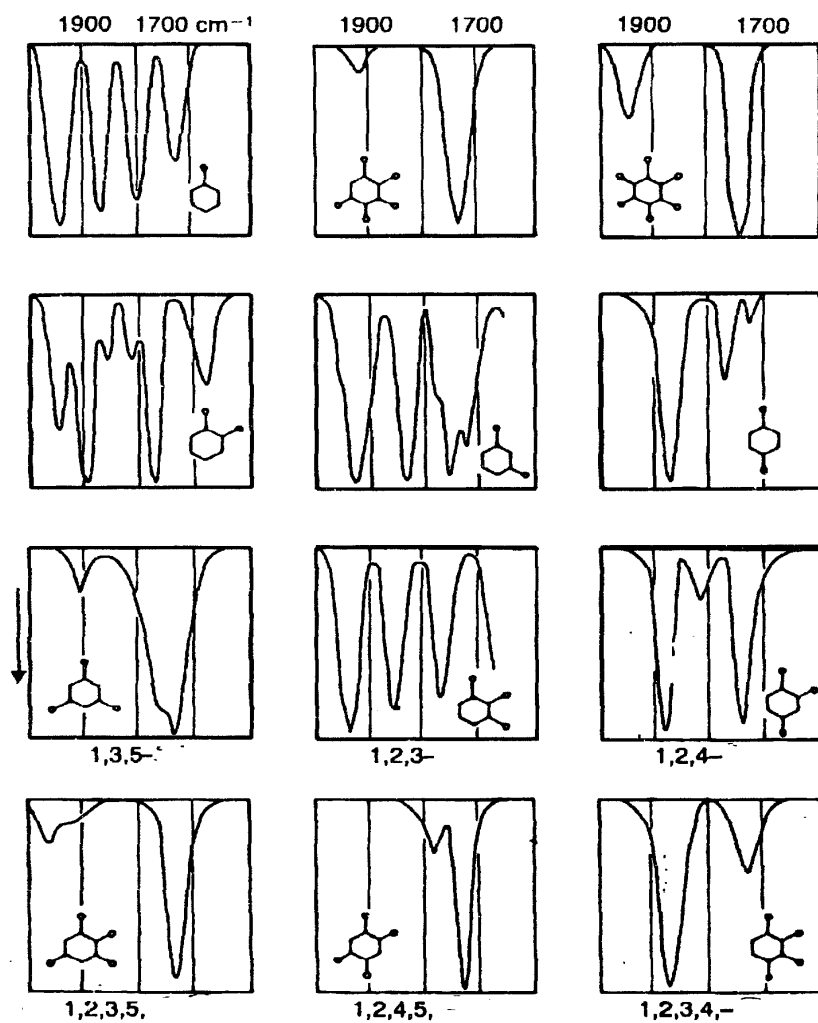
شكل (65): بوضوح طيف الأشعة تحت الحمراء للبنزين ثنائي الكلور.

وتوجد منطقة أخرى تتميز بها المركبات العطرية وتستخدم أيضاً لتوضيح نوع الإحلال في حلقة البنزين. تقع هذه المنطقة بين 1650cm^{-1} و 2000 cm^{-1} . وهذه الأشرطة ناتجة عن ترددات مضاعفات (overtones) ومتراكبات (combination) الذبذبات وهي دائماً ضعيفة الشدة ويلزم للاستفادة منها زيادة تركيز المادة لكي يزيد الإمتصاص كما في شكل (67).



S: تعنى قوى، m: تعنى متوسط الشدة.

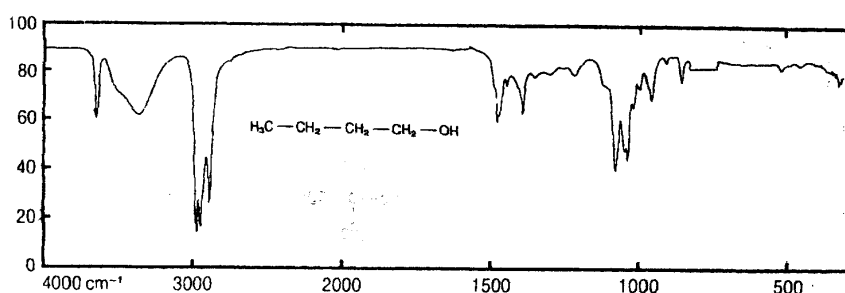
شكل (66): نماذج الأشرطة المميزة لعدد و موضع الإحلال في حلقة البنزين.



شكل (67): النماذج المميزة الأشربة مضاعفات ومتراكبات الذبذبات في مشتقات البنزين.

5- الكحولات - الفينولات - الإثيرات Alcohols, Phenols and Ethers

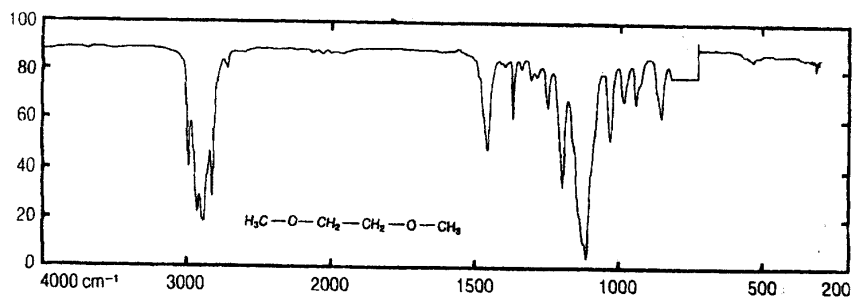
يميز الكحولات والفينولات مجموعة C-OH بينما يميز الإثيرات مجموعة C-O-C. يظهر لمثل هذه المركبات تردد مد C-O ويكون ذلك في المنطقة من 1300 cm^{-1} إلى 1000 cm^{-1} ، وهذه هي المنطقة التي يقال عنها منطقة البصمة والتي تتداخل فيها ترددات مجموعات متنوعة. لكن لأن إمتصاص تردد هذه المجموعات يظهر قوياً في هذه المنطقة فيمكن إستخدامه لتمييز هذه المركبات. علاوة على ذلك تحتوى الكحولات والفينولات على تردد المد O-H وترددات الإحناء C-O-H ويظهر تردد المد O-H بين 3650 و 2500 cm^{-1} ويعتمد ذلك على قوة الترابط الهيدروجيني. وتختلف شدة الإمتصاص حسب اختلاف التركيز، وتردد المد لهذه المجموعة مهم جداً في إعطاء معلومات قيمة عن كنية هذه المركبات. أما ترددات الإحناء C-O-H فتظهر في منطقة البصمة وليست ذات قيمة كبيرة في تحديد نوع هذه المركبات. شكل (68) يوضح طيف n-Butanol وشكل (69) يوضح طيف dimethoxy ethane.



شكل (68): طيف n-Butanol.

قوة الترابط الهيدروجيني تلعب دوراً هاماً في تحديد موضع واتساع وشدة شريط مجموعة الهيدروكسيل OH، حيث أن قوة الرابطة يزيد من اتساع شدة شريط الإمتصاص ويزيح التردد إلى الجهة الأقل. ويوضح الجدول التالي ترددات C-OH للكحولات والفينول.

التردد νcm^{-1}	المركب
1050 - 1040 cm^{-1}	الكحول الأولي R - CH ₂ - OH
1110 - 1100 cm^{-1}	الكحول الثانوي R - CH - OH
1160 - 1200 cm^{-1}	الكحول الثالثي R - C - OH
1230 - 1200 cm^{-1}	الفينول



شكل (69): طيف 1.2-dimethoxy ethane.

يوضح الجدول التالي تردد ذبذبة O - H في الكحولات و الفينول.

3650 - 3590 cm^{-1}	OH حره
3600 - 2500 cm^{-1}	OH المترابط
3200 - 2500 cm^{-1}	الترايط الهيدروجيني داخل الجزيئات
3600 - 3100 cm^{-1}	ماء التبلور [حالة الجوامد]
1640 cm^{-1}	بالإضافة إلى شريط الإحناء
1410 - 1260 cm^{-1}	الإحناء O - H

ويستخدم تردد ذبذبة المد O-H لإختبار وقياس قوة الترابط الهيدروجيني. ونذكر بأنه كلما زادت قوة الترابط زاد طول الرابطة وقل التردد وإتسع عرض الشريط وزادت شدته.

6- مركبات الكربونيل Carbonyl Compounds

توجد للمركبات التي تحتوي على مجموعة الكربونيل إمتصاص قوي في المنطقة بين 1500 cm^{-1} و 1900 cm^{-1} وهو أقوى إمتصاص في هذه المنطقة وذلك يساعد دائما على تمييز هذه المجموعة بسهولة ودقة. و يوضح الجدول التالي ترددات مجموعة الكربونيل في المركبات المختلفة، كما توضح الأشكال (70-73) أطياف بعض المركبات المحتوية على مجموعة الكربونيل.

التردد cm^{-1}	إسم المركب	إسم المجموعة
$1740 - 1720\text{ cm}^{-1}$	أليفاتي	الدهايد
$1710 - 1680\text{ cm}^{-1}$	أروماتي (عطري)	
$1725 - 1700\text{ cm}^{-1}$	دايلكايل Dialkyl	الكيتونات
$1700 - 1670\text{ cm}^{-1}$	مقترن Conjugated	
$1680 - 1640\text{ cm}^{-1}$	مزدوج الإقتران double conjugated	
$1800 - 1740\text{ cm}^{-1}$	وحيد الجزيء monomer	حمض الكربوكسيل
$1720 - 1670\text{ cm}^{-1}$	ثنائي الجزيء dimer	
$1750 - 1725\text{ cm}^{-1}$	مشبعة	استرات
$1735 - 1715\text{ cm}^{-1}$	مفترة	
$1695 - 1630\text{ cm}^{-1}$		أميدويريا
$1795 - 1715\text{ cm}^{-1}$		لاكتونات
$1850 - 1740\text{ cm}^{-1}$	carbonate	الكربونات
$1740 - 1685\text{ cm}^{-1}$	carbomates	الكربومات
$1810 - 1735\text{ cm}^{-1}$		حمض الكلوريد
$1870 - 1745\text{ cm}^{-1}$		أنهيدريدات

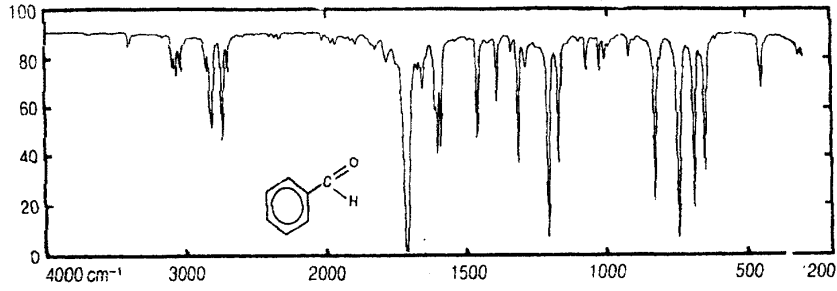
يعتمد موضع شريط ذبذبة المد $C=O$ على الترابط الهيدروجيني وعلى الاقتران (Conjugation)، والأشرطة الغالبة في طيف إمتصاص الكربوكسيل والتي تحتوي على المجموعة $COOH$ ملخصة بالجدول التالي.

التردد cm^{-1}	نوع الذبذبة
1715 - 1680 cm^{-1}	ذبذبة المد $C=O$
3500 - 2500 cm^{-1}	ذبذبة المد $O-H$
1300 - 1200 cm^{-1}	ذبذبة المد $C-O$
1400 cm^{-1}	ذبذبة الإنحناء داخل المستوى $C-O-H$
900 cm^{-1}	ذبذبة الإنحناء خارج المستوى $C-O-H$

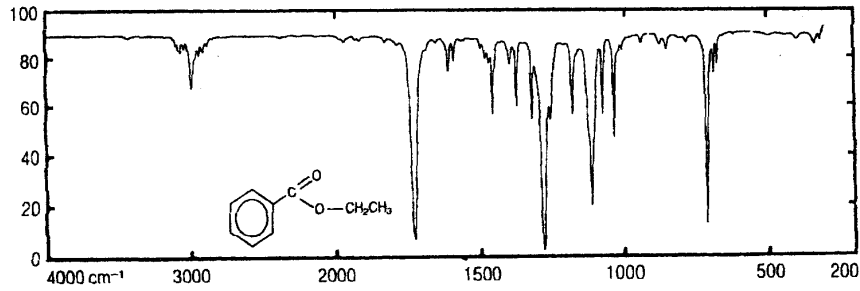
والرابطتان $C=O$ و $C-O$ في الإسترات التي تحتوي على المجموعة $-CO-O-C-$ هما أكثر الروابط قطبية لذلك يظهر لهما أقوى أشرطة إمتصاص في طيف الإسترات وترددات هذه الروابط موضحة فيما يلي:

التردد cm^{-1}	ذبذبة المد
1750 - 1710 cm^{-1}	$C=O$
1400 - 1000 cm^{-1}	$C-O$ [قوى]

ويمكن بسهولة تمييز أحماض الأنهيدرايد التي تحتوي على $-CO-O-C-CO-$ عن باقي المركبات المحتوية على مجموعة الكربونيل لأن تردد $C=O$ يظهر مزدوج في المنطقة من 1730 cm^{-1} إلى 1850 cm^{-1} . وبمقارنة شدة إمتصاص أشرطة مجموعة الكربونيل في المركبات المختلفة نلاحظ أن شدة إمتصاص الأحماض أقوى من شدة إمتصاص الإسترات، و شدة إمتصاص الإسترات أقوى من شدة إمتصاص الكيتونات و الأليدهيدات، وإمتصاص الأميد يشبه من ناحية الشدة عادةً إمتصاص الكيتونات إلا أنه عرضه لتغيرات كثيرة.



شكل (70): طيف Benzaldehyde.

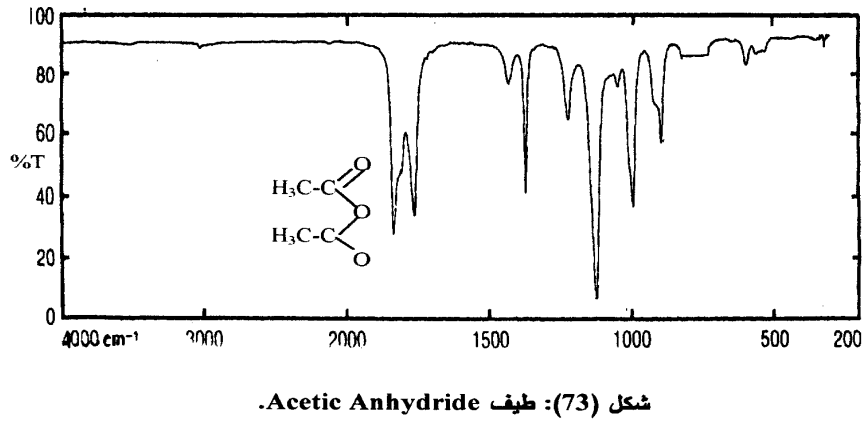
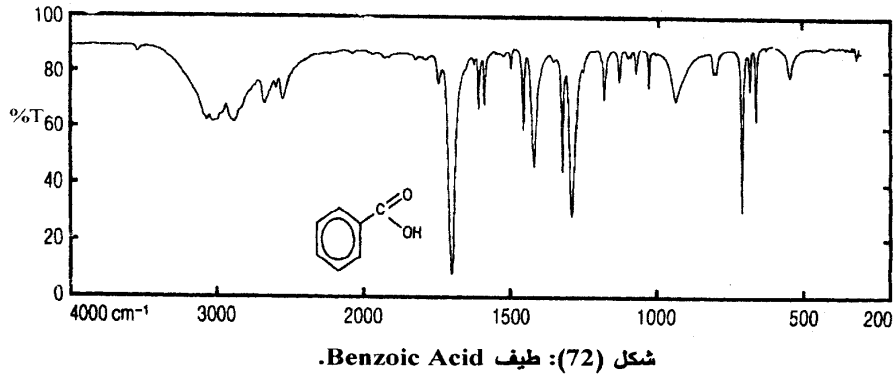


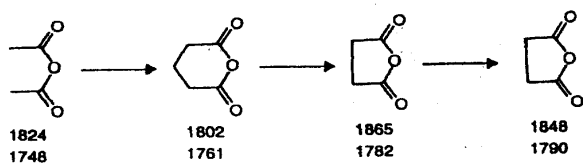
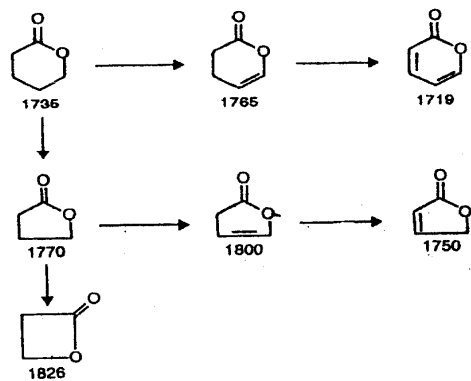
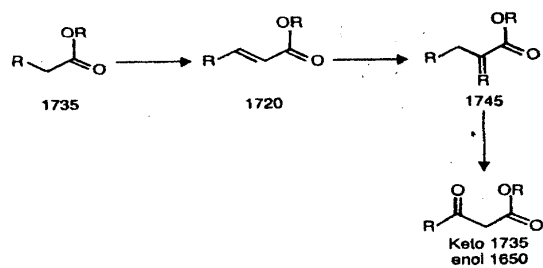
شكل (71): طيف Ethyl Benzoate.

وبترتيب وضع أشرط إمتصاص هذه المجموعة نستنتج المعلومات التالية:

- كلما كانت السالبة الكهربائية للمجموعة X في النظام R-CO-X عالية كلما كان التردد أعلى.
- ب. عدم التشبع (α B -unsaturation) يسبب نقص قيمة التردد بحوالي من 15 cm^{-1} إلى 40 cm^{-1} باستثناء حالة الأميد حيث يحدث إزاحة ضئيلة إلى التردد الأعلى.
- ج. الإثقال الحلقى (Ring Strain) في مركبات السيكلوك أو الحلقية (Cyclic) يسبب إزاحة كبيرة نسبياً إلى التردد الأعلى.

الشكلان (72 و 73) يبينان طيف كل من Benzoic Acid و Acetic Anhydride على الترتيب. كما يبين شكل (74) ترددات مجموعة الكربونيل في بعض المركبات المحتوية عليها.





شكل (74): ترددات مجموعة الكربونيل في بعض المركبات.

7- الأمينات Amines

تصنف هذه المركبات إلى؛ أولية وهي تحتوي على NH_2 وثانوية وتحتوي على NH وثالثية وتحتوي على N غير مرتبطة بالهيدروجين. وعلاوة على ترددات الـهيدركربونات، يمكن أن تظهر للأمينات أشرطة امتصاص تابعة لترددات المد والإحناء N-H كما هو موضح في الجدول التالي:

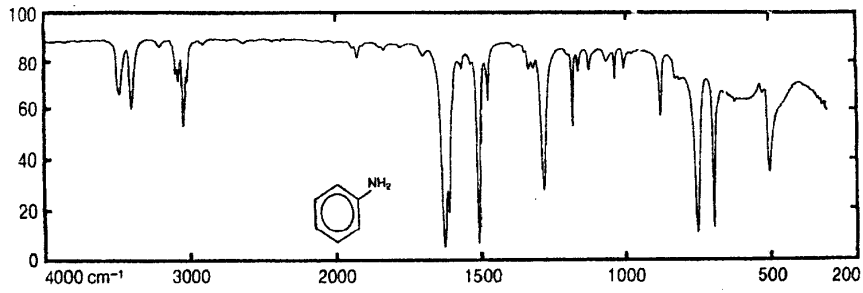
3490 - 3180 cm^{-1}	تردد المد N-H يظهر شريط مزدوج في حالة NH_2 ويظهر شريط واحد في حالة NH ولا تظهر أشرطة في حالة N
1650 - 1580 cm^{-1}	تردد الإحناء N-H

8- مركبات أخرى تحتوي على النيتروجين Other Compounds Containing Nitrogen

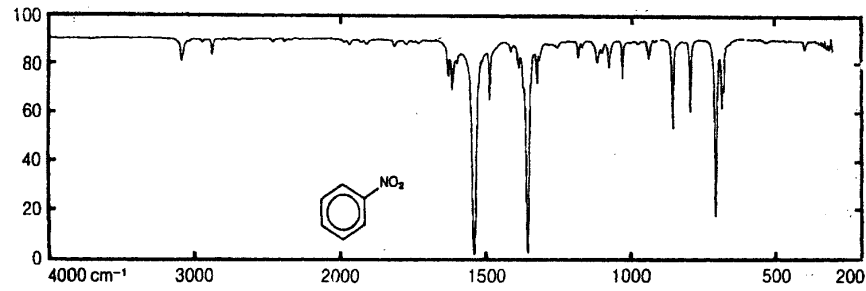
يبين الجدول التالي أهم ترددات مركبات الأميدات ($-\text{CO}-\text{NH}-$) ومركبات النيترو ($-\text{C}-\text{NO}_2-$) والنيترايل ($-\text{C}\equiv\text{N}$)

التردد cm^{-1}	المركبات
	مركبات الأميدات (Amide compounds)
1700 - 1640 cm^{-1}	تردد المد $\text{C}=\text{O}$
3500 - 3100 cm^{-1}	تردد المد N-H
	مركبات النيترو (Nitro compounds)
1570 - 1450 cm^{-1}	تردد المد $\text{N}=\text{O}$
1370 - 1300 cm^{-1}	تردد المد N-O
	مركبات النيترايل (Nitrile compounds)
متوسط الشدة 2250 cm^{-1}	تردد المد $\text{C}\equiv\text{N}$

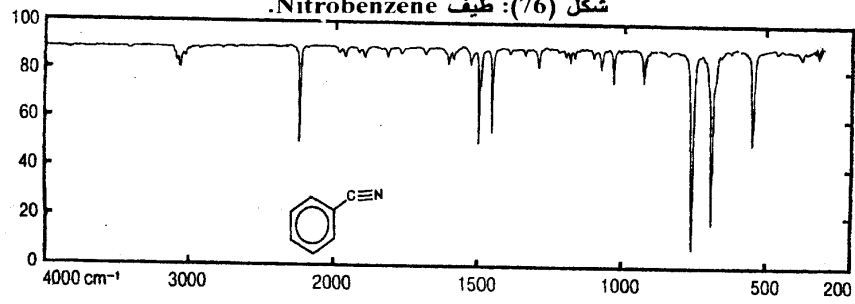
تبيين الأشكال من (75-77) أطيف بعض المركبات المحتوية على النيتروجين.



شكل (75): طيف Aniline.



شكل (76): طيف Nitrobenzene.



شكل (77): طيف Benzonitrile.

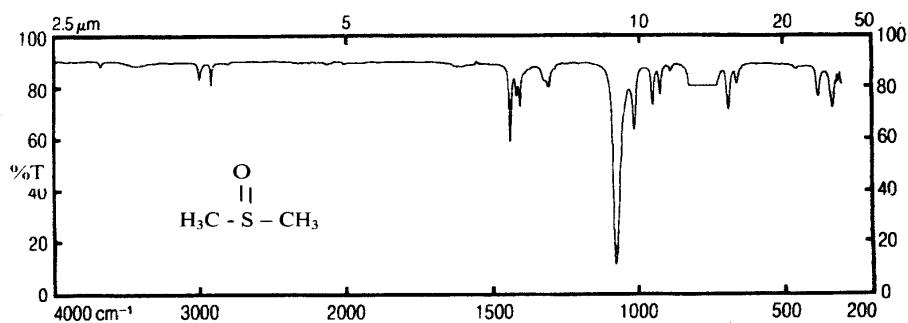
9- المركبات المحتوية على ذرة الكبريت Sulphur Containing Compounds

أهم وأقوى إمتصاص يظهر في المركبات التي تحتوي على الكبريت يرجع لوجود مجموعة $S = O$ وذلك لأن إمتصاص $S - H$ يكون دائماً ضعيفاً ويصعب مشاهدته. ويوضح الجدول التالي هذه الإمتصاصات.

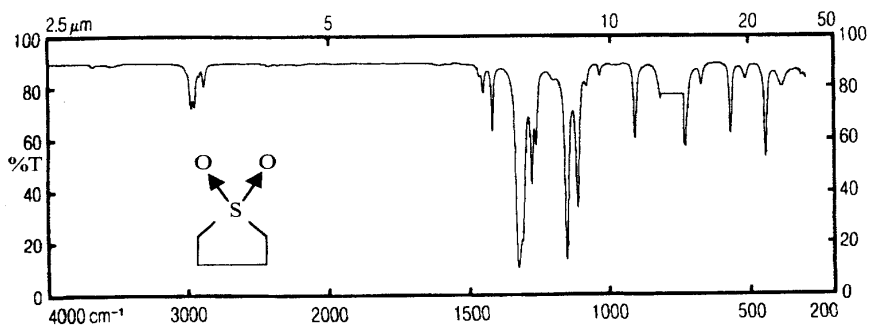
التردد cm^{-1}	نوع التردد	المركب
1100 - 1000 cm^{-1}	تردد مد $S = O$	Sulphoxides أكاسيد الكبريت
1160 - 1120 cm^{-1}	تردد مد $S = O$	Sulphones
1350-1300 cm^{-1}	تردد مد $S = O$	sulphonamide and Sulphonicacids
1210 - 1150 cm^{-1}	تردد مد $S = O$	Sulphonyl chlorides
1410 - 1330 cm^{-1}	تردد مد $S = O$	
2600 - 2550 cm^{-1}	تردد $S - H$	

يوضح الشكلان (78 و 79) طيف كل من Dimethyl Sulphoxide

و Sulpholane.



شكل (78): طيف Dimethyl Sulphoxide.



شكل (79): طيف Sulpholane.

10- المركبات المحتوية على الهالوجينات Halogen Containing Compounds

أطياف المركبات المحتوية على الهالوجينات يظهر فيها شريط امتصاص قوي ناتج عن تردد المد لنذبدة الكربون-هالوجين (carbon-halogen) ولكن هذا الشريط يظهر عند ترددات منخفضة في نفس منطقة تردد الإحناء C - H لحلقة البنزين، ويصعب في كثير من الأحيان التعرف عليه. وتعتمد قيمة التردد على كتلة ذرة الهالوجين، فكلما زادت الكتلة قلت قيمة التردد. وامتصاصات C-I و C-B تظهر دائماً خارج حدود الترددات المتاحة. ويوضح الجدول التالي تصنيف هذه الإمتصاصات.

التردد cm^{-1}	التصنيف
1400 - 1000 cm^{-1}	تردد المد C - F
800 - 600 cm^{-1}	تردد المد C - Cl (أليفات)
500 - 400 cm^{-1}	تردد المد C - Cl (العطرية)
750 - 500 cm^{-1}	نذبدة المد C - B
500 cm^{-1}	نذبدة المد C - I

نجحت طرق القياس في منطقة الأشعة تحت الحمراء في دراسة الجزيئات البيولوجية والتعرف على تركيبها وحل كثير من المشاكل. وتعتبر البروتينات والدهون من أهم المركبات البيولوجية. لذلك نلخص فيما يلي الخصائص الطيفية لهذه المركبات.

1- البروتين Protein

تعتبر مجموعة CONH الوحدة البنائية المشتركة في جميع جزيئات البروتينات. تشبه أشرطة الامتصاص المميزة لمجموعة الأميد في البروتينات أشرطة امتصاص الأميد الثانوي (Secondary amide) لذا يطلق عليها أشرطة امتصاص الأميد. ويميز مجموعة الأميد تسعة أشرطة امتصاص وهي؛ أميد A، أميد B، ومن أميد I الي VII. وترددات هذه الأشرطة موضحة بالجدول التالي.

الرمز	التردد cm^{-1}	التصنيف
A	3300 cm^{-1}	تردد المد N - H
B	3100 cm^{-1}	تردد المد N - H
I	1653 cm^{-1}	80% تردد C = O, 10% تردد C-N 10% تردد إحناء N - H
II	1567 cm^{-1}	60% تردد الإحناء N-H 40% تردد المد C - N
III	1299 cm^{-1}	30% تردد مد C - N 30% تردد إحناء N - H 10% تردد مد C = O 10% تردد إحناء O = C - N 20% مجموعات أخرى
IV	762 cm^{-1}	40% تردد إحناء O = C - N 60% مجموعات أخرى
V	725 cm^{-1}	تردد الإحناء N - H
VI	600 cm^{-1}	تردد الإحناء C = O
VII	200 cm^{-1}	تردد اللي C - N

من أهم أشرطة امتصاص التركيب الثانوي للبروتينات (Secondary Structure) شريط أميد I والذي يظهر بين 1600 cm^{-1} و 1700 cm^{-1} . وتردد هذا الشريط يتأثر تأثراً كبيراً بالروابط الهيدروجينية التي تشمل مجموعات C=O و N-H ويمكن تحديد ذلك من التركيب الثانوي المعدل للبروتين. من المعروف أن البروتين له عدة أشكال مختلفة البنية (Different conformations)، وينتج عن ذلك أن شريط امتصاص الأميد يتكون من مجموعة من الأشرطة التركيبية المترابطة والتي تمثل الأنواع المختلفة من التركيبات الثانوية، مثل التركيب الحلزوني أو ألواح B المطوية المتوازية وغير المتوازية والتركيبات غير المنسقة أو المرتبة.

2-الدهون Lipids

يوضح الجدول التالي أهم أشرطة الدهون.

التردد cm^{-1}	التصنيف
3010 cm^{-1}	تردد المد C-H
2958 cm^{-1}	تردد المد اللاتماثل CH_3
2920 cm^{-1}	تردد المد اللاتماثل CH_2
1730 cm^{-1}	تردد المد C=O
1485 cm^{-1}	تردد الإحناء $(\text{CH}_3)_3\text{N}$
$1473, 1472, 1468, 1463\text{ cm}^{-1}$	تردد اللي CH_2
1460 cm^{-1}	تردد الإحناء الاتماثل CH_3
1405 cm^{-1}	تردد إحناء تماثل $(\text{CH}_3)_3\text{N}$
1378 cm^{-1}	تردد إحناء تماثل CH_3
$1400 - 1200\text{ cm}^{-1}$	تردد التمايل CH_2
1228 cm^{-1}	تردد المد اللاتماثل PO_2
1170 cm^{-1}	تردد مد تماثل C-O-O-C
1085 cm^{-1}	تردد تمايل تماثل PO_2
1070 cm^{-1}	تردد تمايل CO-O-C
1047 cm^{-1}	تردد مد C-O-P
972 cm^{-1}	تردد مد الاتماثل $(\text{CH}_3)_3\text{N}$
820 cm^{-1}	تردد مد لاتماثل P-O
$730, 720, 718\text{ cm}^{-1}$	تردد التمرجح CH_2

Polymers 3:5 البلمرات

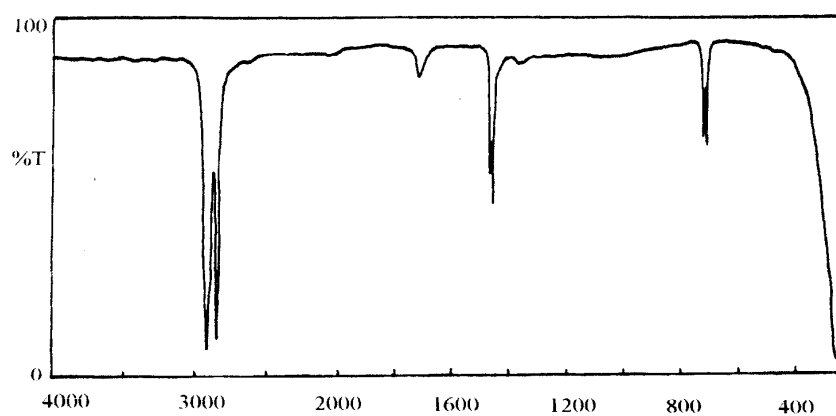
أثبتت الطرق الطيفية في منطقة الأشعة تحت الحمراء أنها من أهم الوسائل الحديثة التي تستخدم بكفاءة عالية في دراسة تركيب البلمرات والتفاعلات التي تتم بينها. وبسبب تنوع طرق التحليل أصبح من السهل تمييز الأنواع المختلفة من البلمرات بسرعة ودقة وسهولة. بالإضافة إلى سهولة التعرف على تركيب البلمرات يمكن كذلك الحصول على معلومات قيمة عن الآتي؛

- 1- التركيب الفراغي
- 2- الإضافات
- 3- درجة التحلل
- 4- درجة التبلور
- 5- طول السلسلة والتفرع والمجموعات الطرفية
- 6- التوجيهية
- 7- التأكسد
- 8- خليط البلمرات

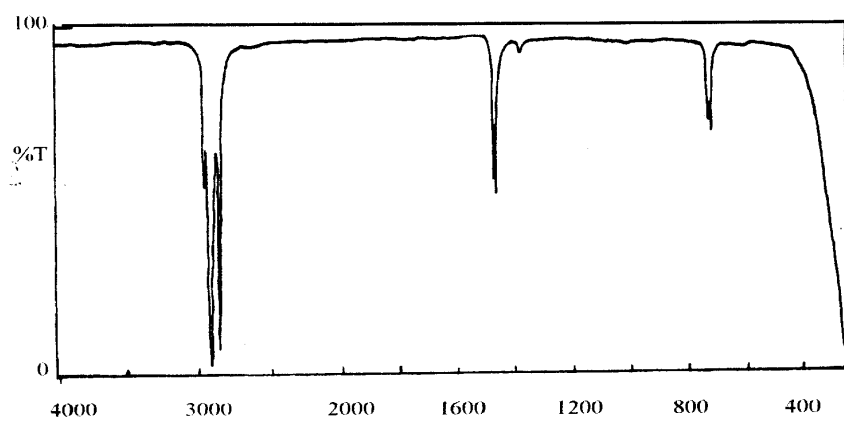
1- بلمرات الهيدروكربون Hydrocarbon Polymers

أ. الأليفات Aliphatic Hydrocarbons

يظهر في أطياف امتصاص هذه البلمرات أشرطة امتصاص عند 2900 cm^{-1} و 1450 cm^{-1} تابعة لتردد المد C-H وترددات الالتواء للمجموعتين CH_2 و CH_3 على التوالي. في البولي إيثيلين (Polyethylene) وفي البرافين (Parafin) ينقسم الشريط الأخير إلى زوج من الأشرطة وقد أعزى ذلك لتأثير التبلور. وبعد 1250 cm^{-1} تظهر أشرطة امتصاص الإحناء الهيكلية (Skeletal vibration)، وتظهر أشرطة انحناء الهيكلية $(-\text{CH}_2-)$ عند التردد من 720 cm^{-1} إلى 730 cm^{-1} ، وتعتمد شدة امتصاص هذه الأشرطة على درجة التبلور. ويمثل شكل (80) طيف امتصاص Polyethylene كما يمثل شكل (81) طيف Parafin.

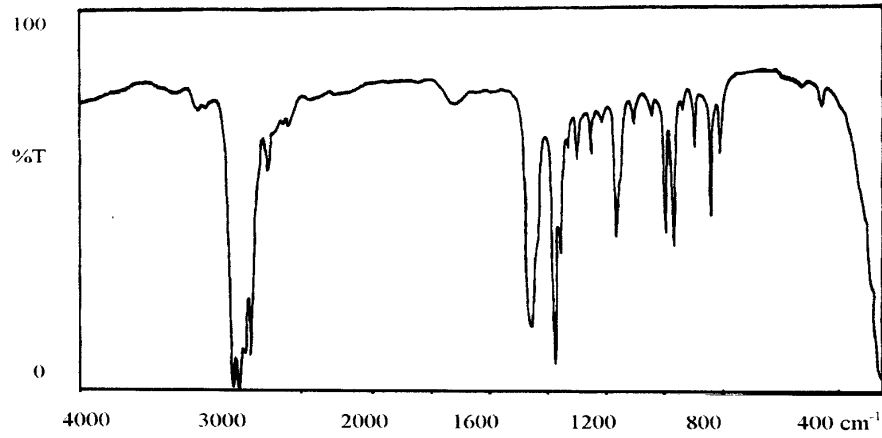


شكل (80): طيف Polyethylene.



شكل (81): طيف Parafin.

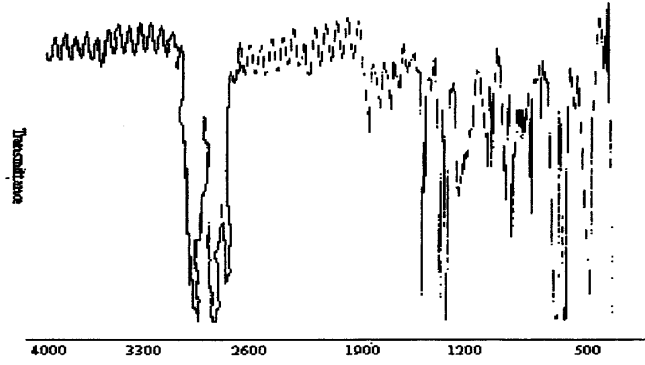
يمثل الشكل (82) طيف البولي بروبيلين Polypropylene.



الشكل (82): طيف البولي بروبيلين Polypropylene.

ب. الهيدروكربونات العطرية Aromatic Hydrocarbons

يعتبر طيف امتصاص الأشعة تحت الحمراء للبولى ستيرين مثال لأطياف إمتصاص هذه البوليمرات، وإحتواء هذا البوليمر على ذرة الكربون غير المشبعة -وبناء على ما ذكرناه سابقاً- نتوقع وجود أشرطة امتصاص لذبذبات المد C-H عند ترددات أعلى من 3000 cm^{-1} . وترددات المد لمجموعات الروابط المزدوجة C=C تقع حول التردد 1600 cm^{-1} . ويؤكد الإحلال الأحادي وجود شريطي إمتصاص عند الترددات 760 cm^{-1} و 700 cm^{-1} تابعة لذبذبات الالتواء C-H، كما في الشكل (83). ويتأكد وجود الإحلال الأحادي كذلك بوجود مجموعة الأشرطة ضعيفة الامتصاص في المنطقة من 1600 cm^{-1} إلى 2000 cm^{-1} .



شكل (83): طيف Polystyrene.

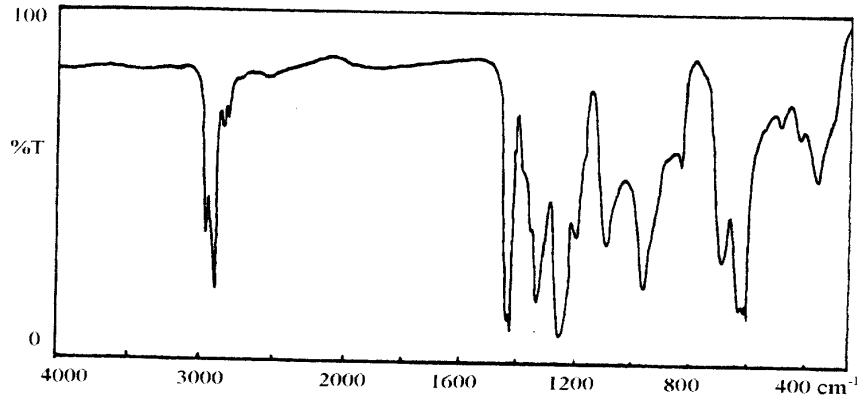
يمكن تمييز أنواع التركيبات المختلفة من البولي ستيرين من حيث كونه atactic أو isotactic كلاتي؛ في حالة التركيب الأول تظهر عدة أشرطة عند (Shoulders) 670 cm^{-1} و 620 cm^{-1} و 565 cm^{-1} ، بينما التركيب الأخير لا يظهر له امتصاص في المنطقة من 500 cm^{-1} إلى 550 cm^{-1} ولا عند 670 cm^{-1} . يمكن استخدام التداخلات التي تظهر في المنطقة من 3200 cm^{-1} إلى 4000 cm^{-1} ومن 2000 cm^{-1} إلى 2700 cm^{-1} في قياس سمك أفلام العينات المستخدمة في القياس.

2- الهيدروكربونات المشبعة والمحتوية على الهالوجينات

Saturated Halogenated Hydrocarbons

يمثل هذه البلمرات التفلون (Teflon) والبولي فينيل كلورايد (Polyvinyl chloride). يظهر للتفلون شريط قوى في المنطقة من 1100 cm^{-1} إلى 1200 cm^{-1} تابع لذبذبات المد C-F والأشرطة بعد 650 cm^{-1} تنشأ عن ذبذبات الإلتواء C-F. في طيف إمتصاص البولي فينيل كلورايد تظهر ثلاثة أشرطة في المنطقة من 600 cm^{-1} إلى 700 cm^{-1} ، وكلها تابعة لذبذبات المد C-Cl. وتظهر أشرطة واضحة ناتجة عن ذبذبات

الإتحاء C-H في المجموعة CHCl عند 1255 cm^{-1} و 1335 cm^{-1} . ويوضح هذا الشكل (84).



شكل (84): طيف Polyvinyl Chloride.

3- أسيتات البولي فينيل Polyvinyl Acetate

يظهر شريط إمتصاص قوي في طيف هذا البلمر عند 1738 cm^{-1} تابع لذبذبة المد C = O في الإسترات المشبعة، كما يظهر شريط قوي الامتصاص أيضا عند 1240 cm^{-1} وهذا يميز ذبذبة المد C-O في الأسيتات، أما ذبذبة الإتحاء لمجموعة الأسيتات فتمتص عند 605 cm^{-1} .

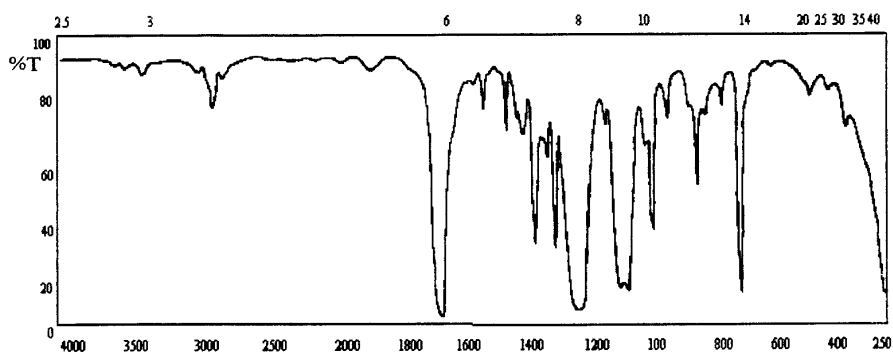
4- البولي فينيل الكحول Poly(vinyl alcohol) PVA

بفحص طيف إمتصاص هذا البلمر نلاحظ الآتي؛ أولاً: شريط قوي في المنطقة من 3200 cm^{-1} إلى 3400 cm^{-1} ناتج عن تردد ذبذبة المد O-H. ثانياً: شريط أو إثنين في المنطقة من 2900 cm^{-1} إلى 2950 cm^{-1} بسبب ذبذبات المد C-H الأليفاتية، علاوة على

شريطين عند 1090 cm^{-1} و 1330 cm^{-1} ويتبع الإمتصاص الأول ذبذبة المد C-O في الكحول الثانوي أما الشريط الثاني يتبع ذبذبة الإلتواء O-H.

5- البولي استرات Polyesters

تتميز أطياف إمتصاص هذه المجموعة من البلمرات -مثل البولي إيثيلين ميثاكريلات (poly [ethylene methacrylate])، والبولي إيثيلين تريفثالات (poly [ethylene terephthalate]) - بوجود إمتصاص قوي بالقرب من الترددات 1720 cm^{-1} ناتج عن ذبذبة المد لمجموعة الكربونيل المشبعة للأسترات C=O، ويوضح هذا الشكل (85).



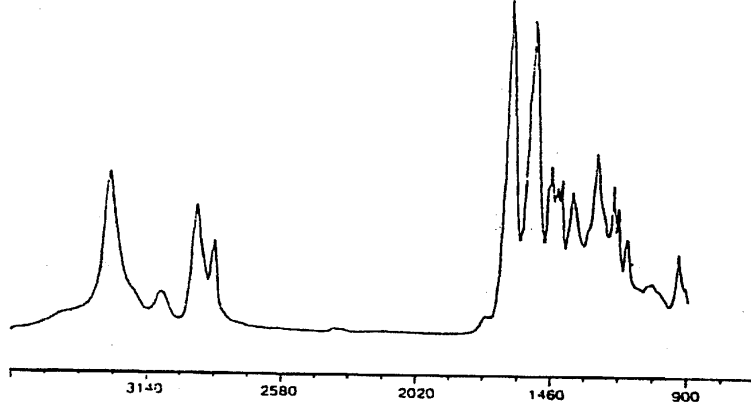
شكل (85): طيف Poly [ethylene terephthalate].

6- البولي كاربونات Poly (carbonates)

في طيف إمتصاص هذه البلمرات يظهر شريطان يميزان هذه المواد بسهولة، أولهما شريط الإمتصاص التابع لذبذبة المد لمجموعة C=O والذي يظهر عند تردد 1770 cm^{-1} والثاني شريط تابع لذبذبة المد C-O بالقرب من 1230 cm^{-1} .

7- البولي أميدات Poly (amides)

من أهم أشرطة إمتصاص البولي أميد شريط مجموعة الكربونيل لذبذبة المد $C=O$ والذي يظهر بالقرب من 1640 cm^{-1} ، بالإضافة الى شريط عند 1540 cm^{-1} وينشأ عن خليط من تردد ذبذبة الإحناء $N-H$ وذبذبة المد $C-N$. والشكل (86) يوضح هذه الأشرطة.



شكل (86): طيف Nylon 6.6.

8- السليولوز Cellulose

تتميز أطراف المواد السليولوزية بظهور أشرطة امتصاص قوية في المنطقة من 1000 cm^{-1} الى 1300 cm^{-1} وذلك نتيجة امتصاص ذبذبات الالتواء $O-H$ والمد $C-O$. ويظهر شريط امتصاص ذبذبة المد لمجموعة الهيدروكسيل بالقرب من 3500 cm^{-1} . وتستخدم النسبة بين شدتي امتصاص الشريطين عند 1430 cm^{-1} و 900 cm^{-1} لقياس درجة تبلور السليولوز، حيث تزداد شدة امتصاص الشريط الأول مع زيادة التبلور بينما تزداد شدة امتصاص الشريط الثاني مع زيادة الكمية غير المتبلورة.

4:5 المركبات غير العضوية Inorganic Compounds

Boron Compounds

1- مركبات البورون

تتميز المركبات التي تحتوي على الارتباط B-O بشريط امتصاص قوى لذبذبة المد في B-O في المدى من 1380 cm^{-1} الي 1310 cm^{-1} . أطيفاح أحماض البورونك والبوريك Bronic acid & Boric acid تحتوي على شريط امتصاص في المنطقة من 3200 cm^{-1} إلي 3300 cm^{-1} ناتج عن امتصاص مجموعات OH. وتظهر في أطيفاح البورازين والأمينوبورين Borazines & Amino Borane أشطرة إمتصاص في المدى من 1465 cm^{-1} الي 1330 cm^{-1} ناتجة عن ذبذبة المد B-N، حيث أن هذه المركبات تحتوي على مجموعة B-N. وينشأ عن مجموعات BH و BH_2 أشطرة امتصاص لذبذبة المد B-H في المنطقة من 2640 cm^{-1} الي 2350 cm^{-1} . يظهر امتصاص BH_2 دائما مزدوج نتيجة للذبذبتين التماثلية واللاتماثلية. ويظهر للمجموعة BH_2 كذلك شريط امتصاص لذبذبة الإلتواء B-H في المنطقة من 1105 cm^{-1} الي 1140 cm^{-1} وذبذبة تمايل عند 920 cm^{-1} - 975 cm^{-1} . وتظهر سلسلة من الأشطرة في المنطقة من 2220 cm^{-1} الي 1540 cm^{-1} ناتجة عن الترابط B.....H.....B. يوضح الجدول التالي أشطرة امتصاص مركبات البورون.

أشطرة امتصاص مركبات البورون.

التردد cm^{-1}	التصنيف	
3200-3300	B - O - H	ذبذبة مد
2350-2640	B - H	ذبذبة مد
1540-2220	B - H - B	التسلسل
1330-1465	B - N	ذبذبة المد
1310-1380	B - O	ذبذبة المد
1140-1205	B - H	ذبذبة الإلتواء
920-975	B - H	ذبذبة التمايل

الأشرطة المميزة لامتناس مركبات الفوسفور مبينة بالجدول التالي. يلاحظ من الجدول أن ذبذبة المد P-H تظهر شريط امتناس في المنطقة من 2275 cm^{-1} إلى 2440 cm^{-1} وهذا الشريط متوسط الشدة. ويظهر شريط آخر متوسط الشدة أيضاً في المنطقة من 1090 cm^{-1} إلى 1080 cm^{-1} ناتج عن ذبذبة إلتواء للمجموعة PH_2 أما ذبذبة التمايل لهذه المجموعة فوظهر عند 810 cm^{-1} - 840 cm^{-1} . ينشأ عن الرابطة $\text{P}=\text{O}$ امتناس قوى لذبذبة المد في المدى من 1020 cm^{-1} إلى 1140 cm^{-1} ، كما أن الأحماض العضوية الفوسفورية تظهر شريط امتناس قوى تابع لذبذبة المد P-OH عند 910 cm^{-1} - 1040 cm^{-1} والمركبات التي تحتوى على مجموعة p-O-p يظهر لها شريط امتناس قوى لذبذبة المد P-O-P عند 870 cm^{-1} - 1000 cm^{-1} .

ترددات أشرطة امتناس مركبات الفوسفور.

التردد cm^{-1}	التصنيف	ذبذبة المد
2700, 2500, 2300 - 2100, 1040 - 910	p - OH	ذبذبة المد
2960, 1460, 1190 - 1170	p - O - CH_3	ذبذبة المد
2440 - 2275	p - H	ذبذبة مد
1450 - 1425, 1130 - 1090, 1010 - 900	p - C_6H_5	ذبذبة مد
1300 - 1140	p = O	ذبذبة مد
1310 - 1280, 960 - 800	p - CH_3	ذبذبة مد
1240 - 1160, 995 - 800	p - O - C_6H_5	ذبذبة مد
1110 - 930	p - N	ذبذبة مد
1090 - 1080	p H_2	ذبذبة تمايل
1050 - 970	p - O - C	ذبذبة مد
1000 - 870	p - O = p	ذبذبة مد
890 - 720	p - F	ذبذبة مد
840 - 810	p H_2	ذبذبة تمايل
750 - 580	p = S	ذبذبة مد
580 - 440	p - Cl	ذبذبة مد

3- مركبات السيليكون Silicon Compounds

الجدول التالي يوضح ترددات أشرطة الامتصاص المميزة لمركبات السيليكون. ويلاحظ من الجدول أن أشرطة ذبذبات المد Si-OH و Si-H تظهر في المدى 3700 cm^{-1} - 3200 cm^{-1} و 2250 cm^{-1} - 2100 cm^{-1} على التوالي. ويظهر شريط ذبذبة الإلتواء Si-H في المنطقة 950 cm^{-1} - 800 cm^{-1} في حين أن شريط امتصاص ذبذبة الإلتواء Si-CH₃ يظهر قوى في المدى من 1280 cm^{-1} إلى 1255 cm^{-1} . وينشأ عن المجموعة Si-O-R شريط امتصاص قوى، على الأقل، عند 1110 cm^{-1} - 1000 cm^{-1} ، ناتج عن ذبذبة المد اللامتائلي Si-O-C. كما يظهر شريط امتصاص لذبذبة المد Si-O-C في المجموعة Si-O-C₆H₅ عند 920 cm^{-1} - 970 cm^{-1} . وبقي الامتصاصات الهامة موضحة بالجدول التالي.

أشرطة امتصاص مركبات السيليكون.

التردد cm^{-1}	التصنيف	
3700 cm^{-1} - 3200 cm^{-1}	Si - OH	ذبذبة مد
2250 cm^{-1} - 2100 cm^{-1}	Si - H	ذبذبة مد
1280 cm^{-1} - 1255 cm^{-1}	Si - CH ₃	ذبذبة إلتواء تماثلي
1250 cm^{-1} - 1200 cm^{-1}	Si - CH ₂ - R	ذبذبة مد
1150 cm^{-1}	Si - C ₆ H ₅	
1110 cm^{-1} - 1000 cm^{-1}	Si - O - si	ذبذبة مد لا تماثلي
1110 cm^{-1} - 1000 cm^{-1}	Si - O - R	ذبذبة مد لا تماثلي
970 cm^{-1} - 920 cm^{-1}	Si - O - C ₆ H ₅	
950 cm^{-1} - 800 cm^{-1}	Si - H	ذبذبة إلتواء
860 cm^{-1} - 700 cm^{-1}	Si - C	ذبذبة مد

5.5 المعادن Minerals

تعتمد ملامح الأطياف المميزة للمعادن على نوع الروابط بين ذراتها. وتنقسم المعادن حسب نوع هذه الروابط إلى أربعة أقسام:

1- معادن ذات روابط فلزية، مثل Cu، Au مثل هذه المعادن لا تمتلك أشرطة امتصاص تذبذبية أساسية.

2- المعادن الأيونية التي تتكون من أيون موجب وآخر سالب مثل NaCl وهذه المعادن لا تمتلك وحدة جزيئية تذبذبية منفصلة لكن يظهر لها امتصاص عريض وضعيف عند تردد أقل من 300cm^{-1} ناتج عن تذبذب الشبكة Lattice Vibration. وتستخدم هذه المواد في صناعة المنشير و النوافذ المستخدمة في أجهزة أطيااف الأشعة تحت الحمراء.

3- المعادن التي تتكون من الأيونات السالبة متعددة الذرات وذات الروابط التساهمية مثل CO_3^{2-} ، SO_4^{2-} ، وهذه المعادن يظهر لها أشرطة امتصاص قوية في المدى من 300cm^{-1} إلى 1500 ناشئة عن الذبذبات الداخلية المصاحبة لحركة هذه المجموعات.

4- المعادن التي يكون فيها النظام الذري الكامل Entire Atomic Array مترابط في ثلاث أبعاد بروابط تساهمية كما في الجزيئات الضخمة مثل الكوارتز Quartz، ويظهر لهذه المعادن أطيااف امتصاص معقدة.

نلخص فيمايلي الخواص الطيفية المميزة لبعض المعادن الجيولوجية الهامة.

1- العناصر الخام Native elements

العناصر ذات الروابط الفلزية مثل الذهب و الفضة و النحاس و الحديد والبلاتين وأنصاف الفلزات مثل القصدير، البزموت، والأنتيمون لا يظهر لها أشرطة امتصاص تذبذبية في منطقة الأشعة تحت الحمراء ولكن يظهر للعناصر غير الفلزية أو اللافلزية مثل الكبريت والكربون أشرطة امتصاص في منطقة الأشعة تحت الحمراء بسبب الرابطة التساهمية في تركيبها. و الكبريت ذو المستطيل القائم Orthorhombic Sulphur الموجود في الطبيعة يتميز بأشرطة امتصاص بسبب ذبذبات الجزيء S_8 الحلقي Cyclic في تركيبه عند الترددات 465 cm^{-1} و 197 و 186 علاوة على أشرطة ضعيفة عند الترددات 435 cm^{-1} و 214 و 154.

Diamond الماس

يظهر لهذه المادة الكربونية أشرطة امتصاص الأشعة تحت الحمراء في المناطق بالقرب من 1250 cm^{-1} - 1000 cm^{-1} - $2\ 000\text{ cm}^{-1}$.

Graphite الجرافيت

وهو صورة أخرى من صور الكربون ولا يظهر له أشرطة امتصاص واضحة في منطقة الأشعة تحت الحمراء ولكن يظهر له أشرطة في طيف رامان Raman.

Sulphides الكبريتيد

يظهر لمعادن هذه المجموعة ذات الروابط التساهمية أشرطة امتصاص قوية في منطقة الأشعة تحت الحمراء عند ترددات أقل من 450 cm^{-1} ولأن هذه المجموعة لها أشكال تركيبية متعددة للمركب الواحد، وكل شكل من هذه الأشكال يتميز بطيف امتصاص يختلف عن طيف امتصاص الأشكال الأخرى فإن هذا يساعد على تمييزها بسهولة. فمثلا البايرايت FeS_2 [cubic]pyrite يمكن تمييز امتصاصه من طيف امتصاص الماركزيت [Orthorhombic].

Oxides and Hydroxides الأكاسيد والأكاسيد المائية

يظهر للأكاسيد أشرطة امتصاص فقط في المنطقة الوسطى عند الترددات أقل من 800 cm^{-1} وفي المنطقة البعيدة (Far IR)، بسبب تردد ذبذبة المد-M، وذبذبة الشبكة. يظهر في طيف الكوراندوم ($\alpha\text{-Al}_2\text{O}_3$) Corundum أربعة أشرطة امتصاص في المنطقة من 560 cm^{-1} إلى 790 cm^{-1} تعطي شريطا واحدا عريضا بالإضافة إلى بعض أشرطة امتصاص ضعيفة عند الترددات 375 cm^{-1} و 450 cm^{-1} و 490 cm^{-1} و 520 cm^{-1} . بينما يظهر في طيف $\gamma\text{-Alumina}$ ($\gamma\text{-Al}_2\text{O}_3$) كذلك شريط عريض جدا يتكون من مزدوج عريض عند 750 cm^{-1} و 825 cm^{-1} وآخر عند 580 cm^{-1} و 660 cm^{-1} وأكسيد الحديد مثل الهيماتيت (Fe_2O_3) Hematite تمتص عند الترددات 560 cm^{-1} و 530 cm^{-1} و 470 cm^{-1} و 310 cm^{-1} بينما الماجنتيت (Fe_3O_4) Magnetite تمتص عند الترددات 575 cm^{-1} .

و 410 cm^{-1} . يمتص Ca(OH)_2 عند الترددات 3640 cm^{-1} و 1600 cm^{-1} و 1430 cm^{-1} و 870 cm^{-1} و 650 cm^{-1} .

الكربونات Carbonate Minerals

تنشأ أشرطة الامتصاص الأساسية في أطيف معادن الكربونات نتيجة للذبذبات الأساسية الداخلية لأيونات الكربونات. وعادة تظهر هذه الأشرطة بعد 600 cm^{-1} علاوة على الشريط التابع لذبذبة الشبكة ويظهر عند ترددات أقل من 300 cm^{-1} . الأشرطة الثلاثة الأساسية المميزة للكربونات هي:

ذبذبة المد اللا تماثلية CO_3 تظهر في المدى 1410 cm^{-1} الى 1450 cm^{-1} .

ذبذبة التواء خارج المستوى CO_3 تظهر في المدى من 850 cm^{-1} الى 880 cm^{-1} .

ذبذبة التواء في المستوى CO_3 تظهر في المدى من 680 cm^{-1} الى 720 cm^{-1} .

معادن الفوسفات والكبريتات Phosphate and Sulfate Minerals

تعطى أيونات الفوسفات أربعة ترددات تذبذبية حول 1082 cm^{-1} و 980 cm^{-1} و 515 cm^{-1} و 363 cm^{-1} وقد وجد أن أيونات PO_4^{3-} يظهر لها شريط امتصاص في المنطقة من 1100 cm^{-1} الى 1000 cm^{-1} .

يظهر لأيونات الكبريتات شريط امتصاص قوى في المدى من 1080 cm^{-1} الى 1130 cm^{-1} وشريط امتصاص ضعيف في المدى من 610 cm^{-1} الى 680 cm^{-1} .

معادن السيليكات Silicate Minerals

تمتص معظم معادن السيليكات رباعية الأوجه Tetra hedra في المنطقة من 800 cm^{-1} الى 1200 cm^{-1} نتيجة لذبذبات المد للرابطة Si-O. وقد وجد أن ذبذبة المد لأشرطة Si-O تقل كلما قلت النسبة Si / O مول، كما يقل التردد أيضا كلما قلت كمية

SiO_2 في تركيب السيليكات، والنقص في تردد ذبذبة Si-O والذي يعنى نقص الطاقة يدل
كذلك على نقص درجة بلورة السيليكات رباعية الأوجه. و إحلال الأيونات الموجبة
Cations في مركبات السيليكات يقلل من تردد ذبذبة Si-O.

أمثلة

Examples

مثال 1 :

ضوء فوق بنفسجي طوله الموجي 300 nm أوجد:

- أ- التردد المقابل لطول الموجة.
- ب- كمية الطاقة التي يمتصها جزيء واحد عندما يسقط عليه هذا الضوء.
- ج- كمية الطاقة التي يمتصها مول واحد من المادة.

الحل :

أ- لحساب التردد نستخدم العلاقة $\nu = \frac{c}{\lambda}$

$$\nu = \frac{3 \times 10^8 \text{ m/s}}{300 \times 10^{-9} \text{ m}} = 10^{15} \text{ s}^{-1} [\text{Hertz}]$$

ب- لحساب الطاقة التي يمتصها جزيء واحد نستخدم العلاقة:

$$E = h\nu = 6.6 \times 10^{-34} \text{ Js} \times 10^{15} \text{ s}^{-1}$$

$$= 6.6 \times 10^{-19} \text{ J}$$

ج- لحساب الطاقة التي يمتصها مول واحد من المادة، نضرب القيمة السابقة في عدد أفوجادرو N_A :

$$N_A = 6.02 \times 10^{23} \text{ Mol}^{-1}$$

والطاقة التي يمتصها واحد مول تساوى :

$$39.7 \text{ J Mol}^{-1} \times 10^4 = 4 \times 10^5 \text{ J mol}^{-1} = 400 \text{ KJ Mol}^{-1}$$

مثال 2 :

يمتص كلوريد الهيدروجين HCl الأشعة تحت الحمراء عند التردد 2881 cm^{-1}

إحسب:

أ- طول الموجة لهذه الأشعة.

ب- تردد هذه الأشعة بوحدة Cps.

ج- التغير في الطاقة المصاحبة لهذا الإمتصاص.

الحل :

أ-

$$\lambda = \frac{1}{\nu'} = \frac{1}{2881 \text{ cm}^{-1}} = 3.471 \times 10^{-4} \text{ cm}$$
$$= 3.471 \mu\text{m}$$

ب-

$$\lambda \nu = c$$

$$\therefore \nu = \frac{c}{\lambda}$$

$$\nu = \frac{3 \times 10^8 \text{ m}}{3.471 \times 10^{-6} \text{ m}} = 8.637 \times 10^3 \text{ Hz}$$

ج-

$$\Delta E = h\nu$$

$$= 6.626 \times 10^{-34} \text{ Js} \times 8.637 \times 10^3 \text{ Hz} = 5.723 \times 10^{-20} \text{ J}$$

مثال 3 :

إذا كانت قيمة ثابت القوة في HCl تساوي نفس القيمة في حالة HBr وكانت كتل الذرات هي $H = 1$ ، $Cl = 35.5$ ، $Br = 80$ فأَي الجزيئين يكون تردد ذبذبته أعلى من تردد ذبذبة الآخر؟

الحل :

$$\nu = \frac{1}{2\pi} \sqrt{\frac{K}{\mu}} \text{ Hz} \quad \text{بما أن}$$

$$\nu' = \frac{1}{2\pi c} \sqrt{\frac{K}{\mu}} \text{ cm}^{-1} \quad \text{و}$$

وحيث أن ثابت القوة له نفس القيمة في الجزيئين فإن التردد يعتمد على الكتلة المختزلة μ

$$\mu = \frac{m_H m_X}{m_H + m_X} \quad \text{والتي تعطى من المعادلة :}$$

وكما زادت هذه القيمة قل التردد ويترتب على ذلك أن تردد HCl يكون أكبر من تردد HBr.

مثال 4 :

يظهر تردد ذبذبة المد C-H للكلوروفورم عند 3000 cm^{-1} ، احسب تردد ذبذبة المد C-D عند إحلال الديوتيريوم محل الهيدروجين في الكلوروفورم.

الحل :

بما أن

$$\nu' = \frac{1}{2\pi c} \sqrt{\frac{K}{\mu}} \text{ cm}^{-1}$$

وحيث أن قيمة ثابت القوة واحدة في الحالتين فإن التردد يعتمد فقط على الكتلة المختزلة μ والتي تعطى من المعادلة :

$$\mu = \frac{m_1 m_2}{m_1 + m_2}$$

في حالة C-H تكون قيمة μ

$$\mu = \frac{12 \times 1}{12 + 1} = 0.92$$

وفي حالة C-D تكون قيمة μ

$$\mu = \frac{12 \times 2}{12 + 2} = 1.71$$

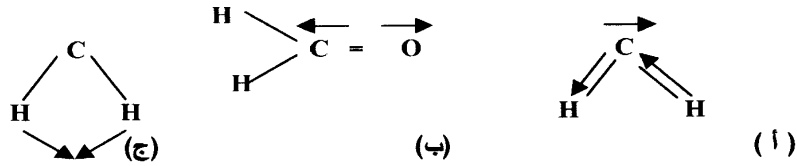
$$\therefore \frac{\nu'_{C-D}}{\nu'_{C-H}} = \frac{\sqrt{0.92}}{\sqrt{1.71}} = 0.73$$

فإذا كان تردد ذبذبة المد C-H في الكلوروفورم 3000 cm^{-1} يكون تردد ذبذبة مد C-D هو:

$$3000 \times 0.73 = 2190 \text{ cm}^{-1}$$

مثال 5:

بين ذبذبة المد وذبذبة الإنحناء من بين الذبذبات التالية:

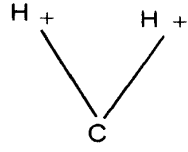


الحل :

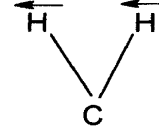
أ - ذبذبة مد ب - ذبذبة مد ج - ذبذبة إنحناء

مثال 6 :

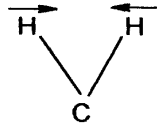
في الأشكال التالية بعض التصنيفات المكتوبة على الذبذبات غير صحيحة، إذكر التصنيفات غير الصحيحة علماً بأن + تدل على الحركة إلى أعلى مستوى الصفحة و - تدل على الحركة إلى أسفل مستوى الصفحة.



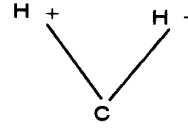
(ب) لي Twisting



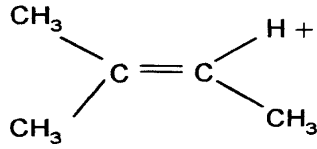
(أ) إلتواء Deformation



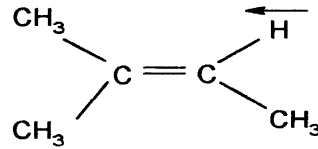
(د) تمرج Rocking



(ج) تمايل Wagging



(و) انحناء خارج المستوى
out-of-plane bending



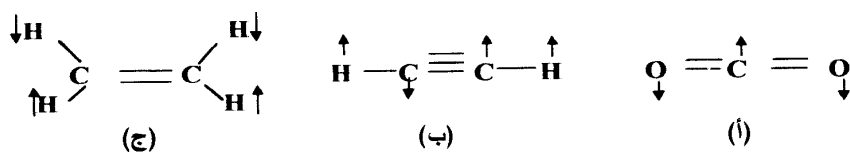
(هـ) انحناء في المستوى
In-plane bending

الحل :

الخطأ (أ) و (د) والتصحيح تبديل التصنيف بينهما وكذلك ب ، ح

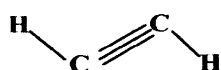
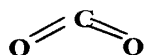
مثال 7 :

هل يمكن أن تمتص الذبذبات التالية الأشعة تحت الحمراء؟

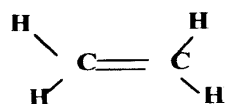


الحل :

في (أ) يوجد تغير في عزم ثنائي القطب



وفي (ب) ثنائي قطب الرابطة متزن ولا يوجد عزم ثنائي قطب

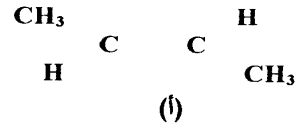
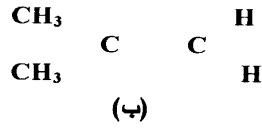


وفي (ج) ثنائي قطب الرابطة متزن ولا يوجد عزم ثنائي قطب

لذلك (أ) نشطة للأشعة تحت الحمراء أي تمتصها ولكن الذبذبات في (ب) و(ج) لا تمتص الأشعة تحت الحمراء.

مثال 8 :

في الشكل تشكيلا للألكينات (Isomeric alkenes)، بين في أيهما يكون شريط امتصاص المد $\text{C}=\text{C}$ أقوى من نظيره في التشكيل الآخر؟.

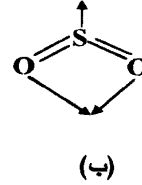
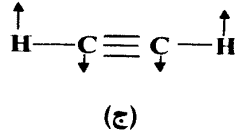
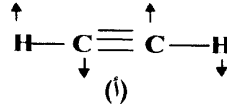


الحل :

في التشكيل (ا) التأثيرات التحريضية لمجموعات الميثيل متوازنة تماماً لأن (ا) له مركز تماثل. وفي الحقيقة ذبذبة المد $C = C$ في (ا) لا تمتص الأشعة تحت الحمراء ويقال عنها أنها غير نشطة للأشعة تحت الحمراء (Infrared inactive).

مثال 9 :

هل ذبذبات الإحناء المبينة في الأشكال التالية تمتص الأشعة تحت الحمراء؟.



الحل :

أ - شكل هذا الجزيء بعد ذبذبة الإحناء سيكون
ولا يوجد ثنائي قطب قبل التغيير، وبعد التغيير تظل ثنائيات الأقطاب متوازنة وبذلك لا يمتص هذا الجزيء الأشعة تحت الحمراء.

ب- هذه الذبذبة تمتص الأشعة تحت الحمراء لأنها تشبه ذبذبة انحناء CO_2 .

ج- الشكل بعد ذبذبة الإنحناء يكون $\text{C} \equiv \text{C}$ ويوجد هنا ثنائي قطب لم يكن موجوداً قبل التغيير وعلى ذلك يوجد تغيير في عزم ثنائي القطب وينشأ عن ذلك امتصاص الأشعة تحت الحمراء.

مثال 10 :

افتراض أن لجزيء ما ثلاثة ذبذبات أساسية عند 2500cm^{-1} و 2000cm^{-1} و 800cm^{-1} .

أ - أوجد أول ثلاث مضاعفات للذبذبات الأساسية Overtones.

ب - تراكبات الأشرطة على الصورة $(\nu_1 + \nu_2)$.

الحل:

أ - المضاعفات هي 1600cm^{-1} و 4000cm^{-1} و 5000cm^{-1} .

ب- التراكبات هي 2800cm^{-1} و 3300cm^{-1} و 4500cm^{-1} . وقد سبق أن أوضحنا أن المسافات بين مستويات الطاقة تقل كلما زاد العدد الكمي، لذلك يوجد المضاعف الأول عادة عند تردد أقل قليلاً عن ضعف تردد الذبذبة الأساسية.

مثال 11 :

يظهر لجزيء أشرطة امتصاص أساسية قوية عند الترددات التالية:-

أ - ذبذبة إنحناء عند 730cm^{-1} .

ب- ذبذبة مد C-C عند 1400cm^{-1} .

ج- ذبذبة مد C-H عند 2950cm^{-1} .

أكتب ترددات الأشرطة الممكن وجودها من تراكب الذبذبات أو المضاعفات الأولى لها.

الحل :

توجد المضاعفات عند ضعف التردد الأساسي أي عند 1460cm^{-1} و 2800cm^{-1} و 5900cm^{-1} . أما التراكبات فتظهر عند؛

$$730 + 1400 = 2130 \text{ cm}^{-1}$$

$$730 + 2950 = 3680 \text{ cm}^{-1}$$

$$1400 + 2950 = 4350 \text{ cm}^{-1}$$

مثال 12 :

رابع كلوريد الكربون له أربع ذبذبات أساسية يظهر ثلاثة منها عند 217 cm^{-1} و 459 cm^{-1} و 313 cm^{-1} ، ويتوقع وجود الذبذبة الرابعة في المنطقة من 700cm^{-1} إلى 800 cm^{-1} ، ويظهر في طيف هذه المادة مزدوج متساوي الشدة عند 791cm^{-1} و 762cm^{-1} . كيف تفسر ظهور خمسة ذبذبات أساسية لهذا المركب؟.

الحل :

يمكن ظهور شريط ناتج عن تراكب ذبذبتين $459 + 313 = 772 \text{ cm}^{-1}$. وبسبب رنين فيرمي بين الذبذبة الأساسية الرابعة المتوقعة وهذه الذبذبة يظهر الشريط الخامس. يلاحظ في هذه الحالات أنه من الصعب تحديد أي شريط من المزدوج هو الأساسي وأيها هو المضاعف أو المترابك.

مثال 13 :

احسب عدد الذبذبات الأساسية للجزيئات التالية:

أ - ميثان (CH_4)

ب - إيثين ($\text{HC} = \text{CH}$)

الحل :

أولاً : لابد من تحديد هل الجزيء خطي أو غير خطي.

ثانياً : نبدأ في حساب عدد الذرات ثم تطبيق الصيغ المعروفة الآتية:

في حالة الجزيء الخطي عدد درجات الحرية تعطى بالمعادلة $3 \times N - 5$ ، وفي حالة الجزيء غير الخطي عدد درجات الحرية تعطى بالمعادلة $3 \times N - 6$.
وعلى هذا الأساس (أ) غير خطي وعنده خمسة ذرات وعدد ذبذباته الأساسية تساوي $9 = 6 - 3 \times 5$. أما (ب) فهو خطي وعنده أربع ذرات وعدد ذبذباته الأساسية تساوي $7 = 5 - 3 \times 4$.

مثال 14 :

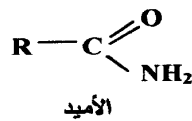
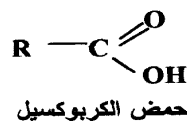
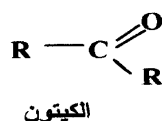
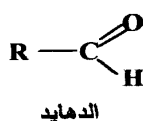
افترض وجود تردد ذبذبة المد C-H، إذكر أي التبديلات التالية تحدث تغيراً أكبر في هذا التردد؛ تبديل ذرة الهيدروجين بذرة ديوتيريوم أم تبديل ذرة الكربون بذرة كلور؟.

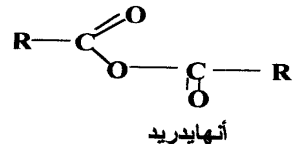
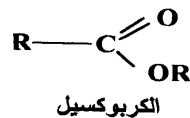
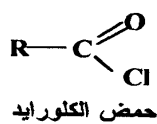
الحل :

تبديل ذرة الهيدروجين بالديوتيريوم.

مثال 15 :

توجد مجموعة الكربونيل في مدى واسع من الجزيئات العضوية ذات الخواص المتباينة كما يوضح الشكل.





حدد المنطقة التي يمكن أن يظهر فيها شريط المد لإمتصاص $\text{C}=\text{O}$ ، وقارن هذه المنطقة بالمنطقة التي يظهر فيها شريط المد $\text{C}=\text{C}$ وإنكر كذلك المجموعات التي يمكن أن يظهر لها أشرطة في هذه المنطقة.

الحل :

يظهر شريط تردد ذبذبة المد $\text{C}=\text{O}$ في الفترة من 1620 cm^{-1} إلى 1800 cm^{-1} ، وهذا المدى يكون دائماً أعلى من المدى الذي تظهر فيه أشرطة تردد المد $\text{C}=\text{C}$.

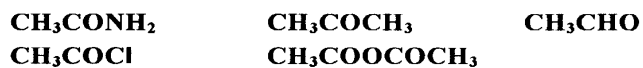
ترددات المد للمجموعتين $\text{C}=\text{C}$ و $\text{C}=\text{N}$ وتردد الإحناء $\text{N}-\text{H}$ يمكن أن يظهر لها أشرطة إمتصاص في المدى المذكور ولكن كل منهم يشغل مدى أضيق من $\text{C}=\text{O}$. بالرغم من أن شريط تردد المد $\text{C}=\text{C}$ يظهر في مدى ضيق مع $\text{C}=\text{O}$ إلا أنه يمكن تمييز كل منهما بسهولة وذلك لأن شدة إمتصاص $\text{C}=\text{O}$ تكون دائماً أقوى من شدة إمتصاص $\text{C}=\text{C}$ ، لماذا ؟.

تظهر أشرطة إمتصاص $\text{C}=\text{O}$ أقوى لأنها ذات قطبية أعلى من قطبية $\text{C}=\text{C}$ بكثير مما يجعل التغير في عزم ثنائي القطب للمجموعة $\text{C}=\text{O}$ أكبر ويترتب على ذلك إمتصاص أقوى حيث أن شدة الإمتصاص تزداد بزيادة التغير في عزم ثنائي القطب.

مثال 16 :

أ - رتب ترددات مجموعات الكربونيل الموضحة بالمثال السابق من التردد الأقل إلى التردد الأعلى.

ب- إذكر الجزيء الذي يعطي أعلى تردد مد للمجموعة $C=O$ والجزيء الذي يعطي أقل تردد مد لنفس المجموعة في الجزيئات التالية:

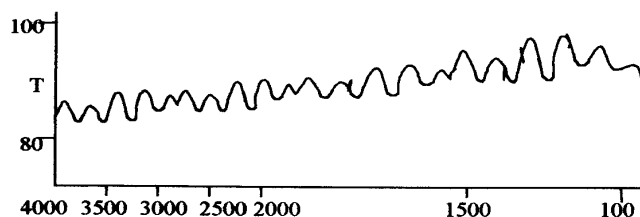


الحل :

أ - الأميد، الكيتونات، الألدهيد-الإستر، كلوريد الحمض-الأنهيدريد
ب-الأعلى $CH_3COOCOCH_3$ الأقل CH_3CONH_2 .

مثال 17 :

من نموذج التداخل الموضح في الشكل احسب سمك الخلية.



الحل :

- 1- نحسب عدد حلقات التداخل من القمة للقمة في الشكل ونفرض أنها 10.
 - 2- نفرض أن القمة الأولى عند التردد الموجي 3200 cm^{-1} والأخيرة عند التردد الموجي 1200 cm^{-1} .
- إن سمك الخلية يساوي

$$L = \frac{n}{2(\nu'_2 - \nu'_1)} = \frac{10}{2 \times 2000} = 0.0025\text{ cm}$$

مثال 18 :

تم تسجيل طيف الأشعة تحت الحمراء لفيلم من البولي أميد، الذي معامل انكساره 1.5، بطريقة الإ انعكاس الكلي الموهن، وكانت مادة الوسط العاكس 5 - KRS ومعامل انكسارها 2.4. إذا سقط الشعاع على الوسط العاكس بزاوية 60° فما هو العمق الذي ينفذه الشعاع في العينة عند الأعداد الموجية التالية؟

أ- 1000 cm⁻¹ ب- 1500 cm⁻¹ ج- 3000 cm⁻¹

الحل :

ت- أولاً: نحول العدد الموجي الى طول موجي

$$\lambda = \frac{1}{1000} = 10^{-3} \text{ cm} = 10^{-5} \text{ m}$$

$$dp = \frac{10^{-5} / 1.5}{2\pi \left[\sin 60 - \left(\frac{1.5}{2.4} \right)^2 \right]^{0.5}} = 1.5 \times 10^{-6} \text{ m} = 1.5 \mu\text{m} \quad (i)$$

$$dp = 1 \mu$$

(ب)

$$dp = 0.5 \mu\text{m} \quad (ج)$$

يلاحظ أن عمق النفاذ عند العدد الموجي الأقل أكبر من العمق عند العدد الموجي الأعلى.

مثال 19 :

هل شدة إمتصاص ذبذبة المد C-O تكون أقوى من شدة إمتصاص ذبذبة المد C-C أم العكس ؟ لماذا؟.

الحل :

تعتمد شدة إمتصاص أي مجموعة على مقدار التغير في عزم ثنائي القطب أثناء الذبذبة. ومن المعروف أن هذا التغير في حالة C-O يكون أكبر منه في حالة C-C. في الحالة الأولى القطبية أعلى ويترتب على ذلك أن إمتصاص الممد C-O يكون أقوى من إمتصاص الممد C-C.

مثال 20 :

إذا كانت إمتصاصية (A) Absorbance محلول من Hexan-1-ol تركيزه 1.0% W/V هو 0.37 عند 3600 cm^{-1} . إحسب معامل الإمتصاص المولاري عند هذا التردد علماً بأن سمك الخلية 1.0 mm.

الحل :

تركيز 1.0% W/V تعني واحد جرام ذائب في 1000 cm^3 (10g dm^{-3}) و الكتلة الجزيئية النسبية لـ Hexan-1-ol ($\text{C}_6\text{H}_{13}\text{OH}$) = 92. وعلى ذلك التركيز يحسب كالتالي:

$$\frac{10}{92}\text{ mol dm}^{-3} = 0.11\text{ mol dm}^{-3}$$

من قانون بير $A = \epsilon Cl$

$$\therefore \epsilon = 0.37 / 0.11 \times 1 = 3.4\text{ m}^2\text{ mol}^{-1}$$

مثال 21 :

يظهر شريط امتصاص تابع لتردد ذبذبة الممد $\text{C}=\text{O}$ في مجموعة الكربونيل بعد 1700 cm^{-1} ، إستبعد أنواع الكربونيل التي لا يتبعها هذا الشريط من الأنواع التالية:
حمض الكربوكسيل، إستر، حمض الكلورايد، الأميد، كيتون غير مشبع (سلسلة مفتوحة)، ألدهايد.

الحل :

يستبعد الأميد والكيتون غير المشبع.

مثال 22 :

الجدول المبين يحتوي على سمك الخلية والنفاذية في المائة T %، اوجد قيمة شدة الامتصاص (absorbance)، وارسم العلاقة بينها وبين سمك العينة.

السمك	0	0.2	0.4	0.6	0.8	1.0
النفاذية %T	0	50	25	12.5	6.25	3.125
$T = \frac{I}{I_0}$	$\frac{100}{100}$	$\frac{50}{100}$	$\frac{25}{100}$	$\frac{12.5}{100}$	$\frac{6.25}{100}$	$\frac{3.125}{100}$
$\frac{I}{T}$	1	2	4	8	16	32
A	0.0	0.301	0.602	0.903	1.204	1.515

الحل :

العلاقة خطية وتحقق قانون بير.

مثال 23 :

احسب ما يلي:

- قيمة الامتصاصية A لسائل ينفذ 12% من الأشعة الساقطة عليه.
- النسبة المئوية للأشعة النافذة لمحلول قيمة A (absorbance) له 0.55.
- أوجد قيمة الامتصاصية (Absorbance) لسائل تركيزه $0.0007 \text{ mol dm}^{-3}$ وسمك الخلية 2cm ومعامل الامتصاص المولاري $650 \text{ dm}^3 \text{ mol}^{-1} \text{ cm}^{-1}$.

الحل :

$$A = \log \frac{1}{T} = \log \frac{I_0}{I} = \epsilon c l$$

$$A = \log \frac{100}{12} = \log 8.333 = 0.92$$

$$\frac{\log 100}{I} = 0.55 \quad \text{أ-}$$

$$I = \frac{100}{3.548} = 28 \% \quad \text{ب-}$$

$$A = 650 \times 0.00070 \times 2 = 0.91 \quad \text{ج-}$$

مثال 24 :

احسب التركيز بوحدات mg dm^{-3} لمحلول كل من المركبين A, B والسمك يساوي

1 cm

المركب	Mr	ϵ	A
A	250	1000	0.10
B	250	100 000	

الحل :

المركب A

$$A = \epsilon c l \quad \therefore C = \frac{A}{\epsilon l}$$

$$C = \frac{0.1}{1000 \times 1} = 1 \times 10^{-4} \text{ mol dm}^{-3}$$

$$\therefore C = 250 \times 10^{-4} \text{ g dm}^{-3} = 25 \text{ mg dm}^{-3}$$

المركب B

$$C = \frac{0.1}{100000 \times 1} = 1 \times 10^{-6} \text{ mol dm}^{-3}$$

$$= 250 \times 10^{-6} \text{ g dm}^{-3} = 25 \times 10^{-2} \text{ mg dm}^{-3}$$

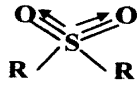
من الواضح أنه كلما زاد معامل الإمتصاص المولاري قل التركيز.

مثال 25 :

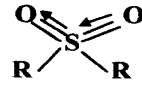
السلفوكسيد R - SO - R تمتص مثل السلفون R - SO₂ - R عند ترددات أقل من 1400cm⁻¹. علاوة على وجود فروق في تردد المجموعتين توجد طريقة سهلة للتفريق بينهما فما هي؟.

الحل :

يظهر لمجموعة السلفون شريطان قويان تابعا لذبذبتى المد التماثلي واللاتماثلي S = O كما فى الشكل التالى:



ذبذبة تماثل



ذبذبة اللاتماثل

وتكون الترددات عند 1160 - 1120 cm⁻¹ و 1350 - 1300 cm⁻¹.

مثال 26 :

يظهر لمجموعة كلوريد السلفونيل RSO₂ Cl امتصاص فى المنطقتين (أ) أو المنطقتين (ب) التاليتين:

- أ- $1100 - 1050 \text{ cm}^{-1}$ و $1300 - 1250 \text{ cm}^{-1}$
 ب- $1210 - 1180 \text{ cm}^{-1}$ و $1410 - 1380 \text{ cm}^{-1}$

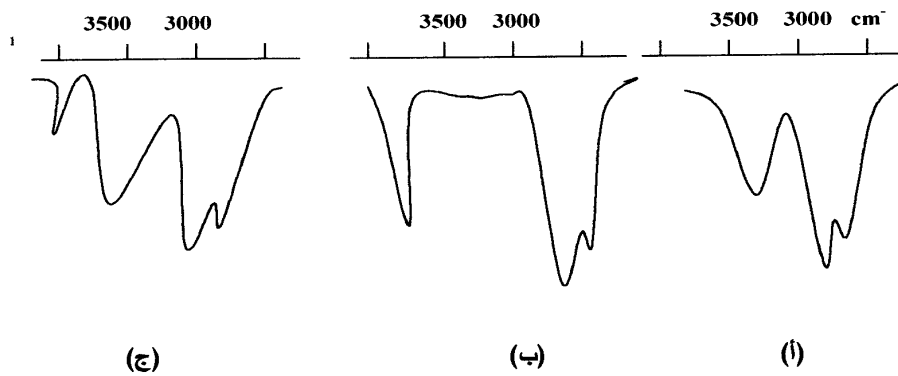
إذكر المنطقتين اللتين يظهر فيهما هذا الإمتصاص.

الحل :

هذا الإمتصاص يظهر في المنطقتين (ب) لأن وجود ذرة الكلور تزيد من تردد $S = O$ نتيجة لجذب الإلكترونات.

مثال 27 :

سجلت الأطياف -الموضحة بالشكل التالي- لمركب ما بتركيزات مختلفة في رابع كلوريد الكربون. وضح الطيف المسجل لأعلى تركيز والمسجل لأقل تركيز.

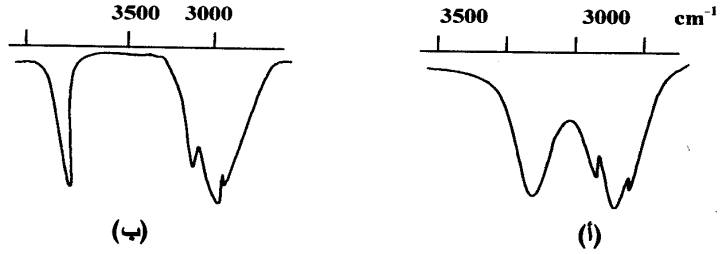
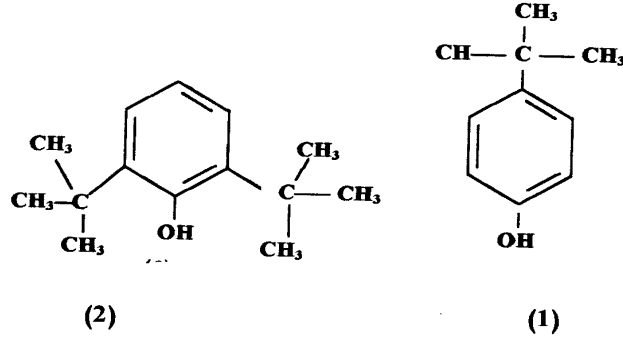


الحل :

الطيف الموضح بالشكل (ج) هو الأعلى تركيز و الطيف الموضح بالشكل (ب) هو الأقل تركيز.

مثال 28 :

الأطياف الموضحة بالاشكال التالية مسجلة لمركبات الفينول على صورة محلول في رابع كلوريد الكربون بتركيز مولاري واحد. "إنكر الطيف الذي يتبع المركب الأول".

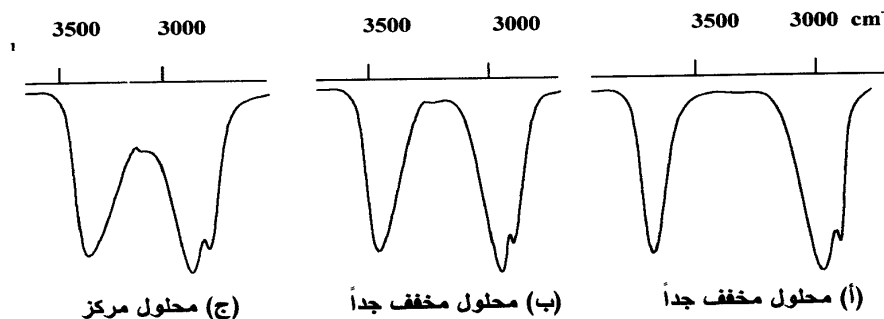


الحل :

الطيف الأول (أ) يتبع المركب الأول حيث أن وجود المجموعات الضخمة في مركب 2 يمنع هيدروجين مجموعة الكربوكسيل من الإقتراب من أكسجين مجموعة هيدروكسيل في جزء آخر، وهذا يجعل OH مجموعة حرة.

مثال 29 :

أي من الأطياف التالية يعطى أوضح دليل على وجود رابطة هيدروجينية في الجزيء؟.

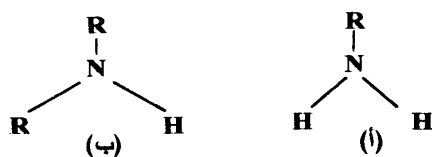


الحل :

الطيف في الشكل (ب) لأن الإمتصاص عند تردد منخفض في محلول مخفف يدل على أن الرابطة الهيدروجينية لا تعتمد على التركيز وهذا ما يميز الترابط الهيدروجيني في الجزيء.

مثال 30 :

كيف تفرق بين ذبذبة المد N - H في الأمين الأولى (أ) والأمين الثانوى (ب)؟.

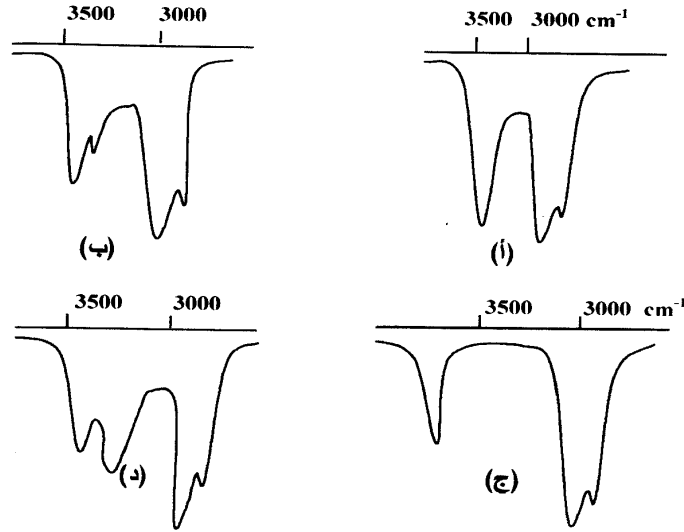


الحل :

يظهر لامتناص ذبذبة المد N - H في الأمين الأولى مزدوج من الأشرطة أحدهما للتذبذب التماثلي والآخر للتذبذب اللاتماثلي والفرق بين تردداتهما حوالي 100 cm^{-1} ، ولا يعتمد على التركيز. ولكن امتصاص هذه المجموعة في حالة الأمين الثانوي يعطى شريطاً واحداً بالرغم أنه يمكن أن ينشأ عن الترابط الهيدروجيني شريط آخر مما يعطى نفس الشكل كما في حالة الأميد الأولى ولكن يمكن التغلب على ذلك بتخفيف التركيز ليختفي الشريط الناتج عن الترابط الهيدروجيني.

مثال 31 :

ذبذبة المد N - H الحرة وأيضاً ذات الترابط الهيدروجيني تظهر في منطقة ذبذبة المد O - H ذات الترابط الهيدروجيني ولكن من المعروف أن شريط امتصاص المجموعة الأولى يظهر دائماً أقل إتساعاً من شريط مجموعة O-H. أي من الأطياف التالية يتبع امتصاص الأمين؟



الحل :

الطيف (ب) وذلك لأن أشرطة إمتصاص الطيف (د) و (أ) عريضة جداً ومن ثم لا يمكن إعتبارها تابعة لإمتصاص N - H ، أما في حالة الطيف (ج) تظهر الأشرطة خارج منطقة إمتصاص N - H ولكنه يميز امتصاص مجموعة OH الحرة، الطيف (د) يميز مركب هيدروكسيل يحتوى على مجموعات هيدروكسيل بعضها مرتبطة وبعضها حر.

مثال 32 :

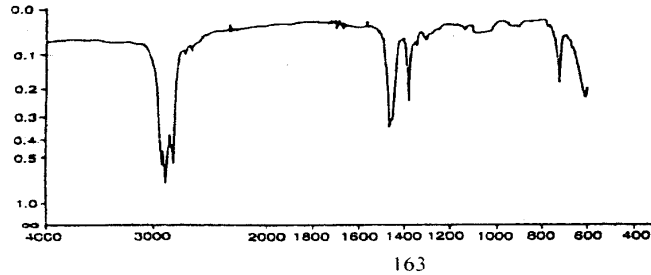
كيف يمكنك تحديد ما إذا كانت ذرة الأكسجين في المركب $C_6H_{10}O$ تتبع مجموعة الهيدروكسيل أو الكربونيل أو الأثير؟.

الحل :

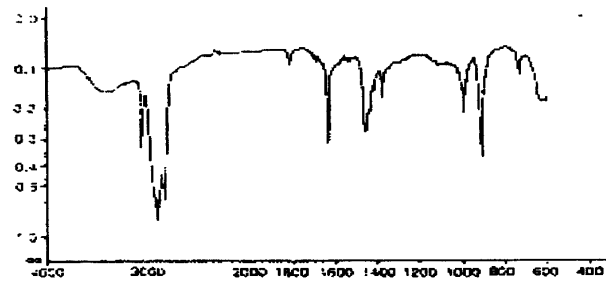
يعطى الكربونيل شريط امتصاص قوي في المنطقة من 1800 cm^{-1} الى 1650 cm^{-1} ويظهر لمجموعة الهيدروكسيل امتصاص قوي في المنطقة من 3650 cm^{-1} الى 3100 cm^{-1} علاوة على امتصاص قوي في المنطقة من 1250 cm^{-1} الى 1000 cm^{-1} أما مجموعة الأثير فتعطى امتصاصاً قوياً في المنطقة من 1250 cm^{-1} الى 1000 cm^{-1} .

مثال 33 :

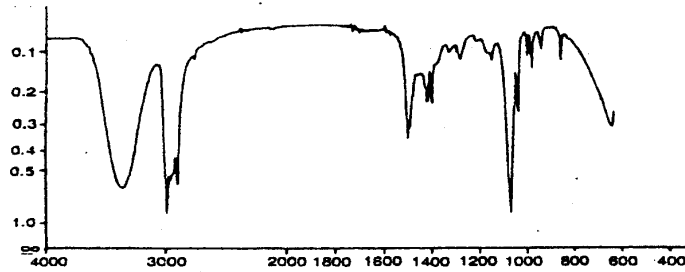
كل طيف من الأطياف الموضحة في الشكل يميز مركب معين. إستنتج اسم المركب المقابل لكل طيف.



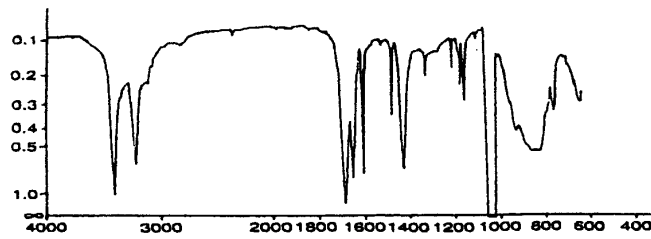
الطيف (1)



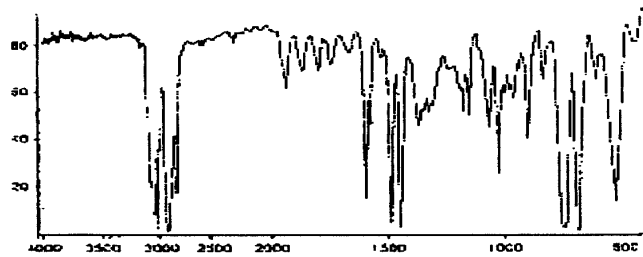
الطيف (2)



الطيف (3)



الطيف (4)



الطيف (5)

الحل :

(1) الطيف

لاحظ أنه لا توجد أشرطة بعد 3000 cm^{-1} وهذا يعني عدم وجود أي مركب غير مشبع (Unsaturation). الشريط عند 1467 cm^{-1} يتبع تردد ذبذبة الإحناء للمجموعة CH_2 بينما الشريط عند 1378 cm^{-1} يتبع تردد ذبذبة الإحناء التماثلية للمجموعة CH_3 . عدم وجود أشرطة إمتصاص في المنطقة من 1300 cm^{-1} إلى 750 cm^{-1} دليل على وجود مركب ذي سلسلة مستقيمة، و وجود الشريط عند 782 cm^{-1} دليل على وجود عدد أربعة أو أكثر من مجموعة CH_2 في السلسلة. من ذلك نستنتج أن المركب سائل صيفته الكيميائية $\text{C}_{10}\text{H}_{22}$ وهو n- decane.

(2) الطيف

في هذا الطيف وجود عدم التشبع ثابت لوجود شريط المد اللاتماثلي القوي للمجموعة غير المشبعة $\text{C} = \text{CH}_2$ عند 3080 cm^{-1} . الشريط القوي عند 1643 cm^{-1} يدل على وجود مجموعة $\text{C} = \text{C}$. والأشرطة عند 998 cm^{-1} و 915 cm^{-1} و 720 cm^{-1} تابعة لتردد ذبذبة الإحناء للمجموعة $\text{C}-\text{H}$. الشريط الضعيف عند 720 cm^{-1} يدل على وجود أربعة مجموعات CH_2 على الأقل. ووجود ترددات تتبع تردد ذبذبات الإحناء $\text{C}-\text{H}$ يدلنا على أن الجزيء يحتوي على مجموعة $-\text{C}=\text{CH}_2$. الشريط عند 1460 cm^{-1} يتبع تردد ذبذبة الإحناء في المستوى للمجموعة $\text{C}=\text{CH}$. وتردد ذبذبة الإحناء التماثلي CH_3 تظهر عند 1380 cm^{-1} . واضح أن أشرطة تردد ذبذبة المد CH المشبعة تظهر قبل 3000 cm^{-1} ، وحيث أنه لا يوجد إمتصاص في المنطقة من 1100 cm^{-1} إلى 1200 cm^{-1} فإن المركب يكون ذي سلسلة مستقيمة والتركيب الوحيد المتوقع لهذا المركب هو؛



وصيفته $\text{C}_8 \text{H}_{16}$

(3) الطيف

لا يوجد إمتصاص في مجموعة $\text{C}-\text{H}$ بعد 3000 cm^{-1} وهذا يدل على وجود جزيء مشبع. وجود شريط عريض بين 3200 cm^{-1} و 3700 cm^{-1} يدل على وجود كحول أو فينول.

لا يوجد إمتصاص عند 720 cm^{-1} ، ويستدل من ذلك على أن المركب لابد أن يكون متفرع. وجود الشريط المزدوج عند 1386 cm^{-1} و 1375 cm^{-1} دليل على وجود مجموعة أيزوبروبيل (Isopropyl group)، والشريط القوي عند 1040 cm^{-1} ناتج عن إمتصاص ذبذبة المد C-O. والتركيب الوحيد المتوقع لهذا المركب هو؛
 $2\text{- methyl propan -1 ol, (CH}_3)_2\text{ CH CH}_2\text{ OH}$

(4) الطيف

وجود إمتصاص قوي مزدوج عند الترددات 3380 cm^{-1} و 3180 cm^{-1} يستدل منه على وجود مجموعة NH_2 . ويوجد أيضاً إمتصاص تابع لذبذبة المد لمجموعة $\text{C}=\text{O}$ عند 1665 cm^{-1} ، وهذا يعطي دليلاً واضحاً على وجود أميد أولي (Primary Amide) وإحتواء المركب أيضاً على حلقة البنزين. وذلك يؤكد أن الجزيء هو البنزاميد (Benzamide).

(5) الطيف

واضح أنه لا يوجد أشرطة إمتصاص للمجموعتين CH_3 و CH_2 في المنطقة من 1300 cm^{-1} إلى 1500 cm^{-1} دليل على عدم وجود مجموعات ألكايل (ALKYL) في الجزيء، علماً بأنه توجد أشرطة قبل وبعد 3000 cm^{-1} مما يدل على أن الجزيء يحتوي على مجموعات C-H عطرية وأليفاتية (Aromatic (and Aliphatic)). شريط ذبذبة المد C-H للبنزين تظهر عند 3000 cm^{-1} و 3100 cm^{-1} ، وأشرطة مضاعفات وتراكبات الترددات تظهر عند 1650 cm^{-1} و 2000 cm^{-1} ، وتظهر أشرطة ذبذبة المد الحلقى (C=C) عند 1550 cm^{-1} و 1600 cm^{-1} والمد الحلقى عند 1450 cm^{-1} و 1500 cm^{-1} . ويظهر شريط ذبذبة الإحتواء داخل المستوى C-H عند 1000 cm^{-1} و 1300 cm^{-1} وخارج المستوى عند 600 cm^{-1} و 900 cm^{-1} . الشريطان عند 700 cm^{-1} و 780 cm^{-1} يدلان على وجود حلقة أحادية الإحلال. يوجد أيضاً شريط لذبذبة المد $\text{C}=\text{C}$ عند 1639 cm^{-1} وشريطان تذبذب المد خارج المستوى عند 998 cm^{-1} و 915 cm^{-1} . المركب هو البلمر البولي أستيرين.

مثال 34 :

إنبعث عن بروميد الهيدروجين (Hbr) سلسلة من الخطوط في منطقة الأشعة تحت الحمراء البعيدة وكانت المسافة الفاصلة بين الخطوط تساوى 16.94 cm^{-1} . أحسب عزم

القصور الذاتي للجزيء علماً بأن الأوزان الذرية لكل من H و Br هي 1.0 و 79.92 على التوالي.

الحل :

$$\Delta\varepsilon = 2B$$

$$16.94 = 2B$$

$$\therefore B = 8.47 \text{ cm}^{-1}$$

$$B = \frac{h}{8\pi^2 I c} = \frac{6.626 \times 10^{-27}}{8(3.14)^2 \times 3.10^{10} \times I} = 8.47$$

$$\therefore I = 3.3059 \times 10^{-37} \text{ gm. cm}^2$$

مثال 35 :

يمتص أول أكسيد الكربون الطاقة في منطقة الموجات الميكرونية عند التردد 1.153 $\times 10^5$ MHz وينشأ هذا الامتصاص عن الانتقال بين مستويات الطاقة $J = 0$ ، $J = 1$.
أحسب المسافة البينية ν' وعزم القصور الذاتي لـ CO.

الحل:

$$\begin{aligned} \nu' &= \frac{\nu}{C} \\ &= \frac{1.153 \times 10^5 \times 10 \times 10^6}{3 \times 10^{10}} = 3.84 \text{ cm}^{-1} \end{aligned}$$

$$\Delta\varepsilon = 2B$$

ونعلم أن

$$\therefore B = 1.92 \text{ cm}^{-1}$$

$$I = \frac{h}{8\pi^2 BC}$$

وحيث أن

$$\therefore I = \frac{6.626 \times 10^{-27} (\text{erg sec})}{8(3.14)^2 \times 1.92 (\text{cm}^{-1}) \times 3 \times 10^{10} (\text{cm / sec})}$$

$$= 1.45 \times 10^{-35} \text{ gm . cm}^2$$

$$\mu = \frac{m_1 m_2}{m_1 + m_2} = \frac{(12)(16)}{(12 + 16)(6.022 \times 10^{23} \text{ gm})}$$

$$= 1.138 \times 10^{-22} \text{ gm}$$

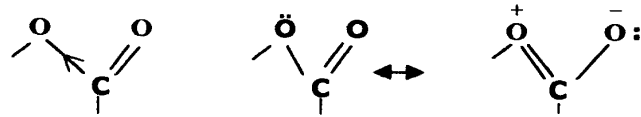
$$I = \mu r^2$$

$$= 1.45 \times 10^{-35} = 1.138 \times 10^{-22} \text{ u}^2$$

$$\therefore r = 0.3569 \times 10^{-7} \text{ cm}$$

مثال 36 :

عندما ترتبط مجموعة الكربونيل بذرة أكسجين يوجد تأثيران كل منها عكس الآخر
يؤثران على مجموعة الكربونيل.



تأثير تحريضي [يزيد التردد]

تأثير الرنين [يقلل التردد]

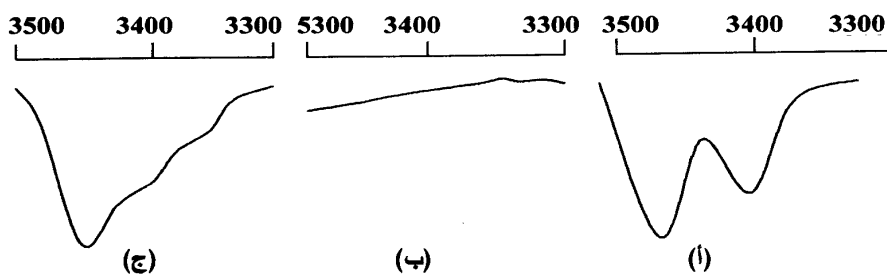
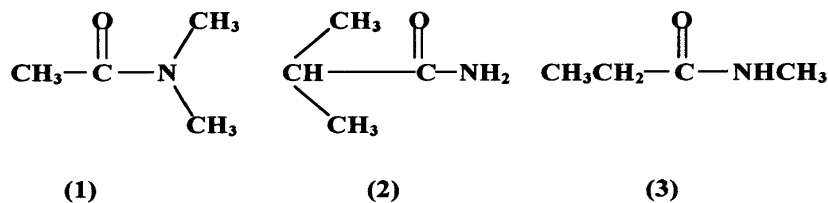
يمتص حمض الكربوكسيل الأليفاتي المشبع بالقرب من 1760 cm^{-1} . بالمقارنة
بالكيتون الأليفاتي المشبع، حدد أي التأثيرين السابقين يتغلب في حمض الكربوكسيل؟.

الحل :

التأثير التحريضي، جذب الإلكترون من مجموعة الكربونيل، يزيد من رتبة الرابطة وعلى ذلك يزيد تردد هذه المجموعة.

مثال 37 :

يمكن التفريق بين الأميدات الأولية والثانوية والثالثية باستخدام محاليل مخففة في مذيبات غير قطبية وذلك بفحص منطقة الترددات العالية من أطياف إمتصاصها. رتب المركبات التالية حسب أجزاء الطيف المقابلة لها.



الحل :

الجزء (ج) يقابل المركب (3) و الجزء (ب) يقابل المركب (1) والجزء (أ) يقابل المركب الثاني.

مثال 38 :

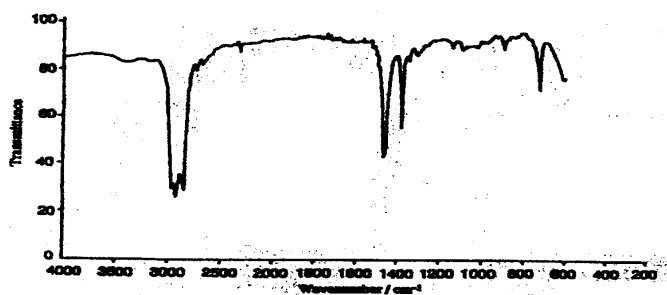
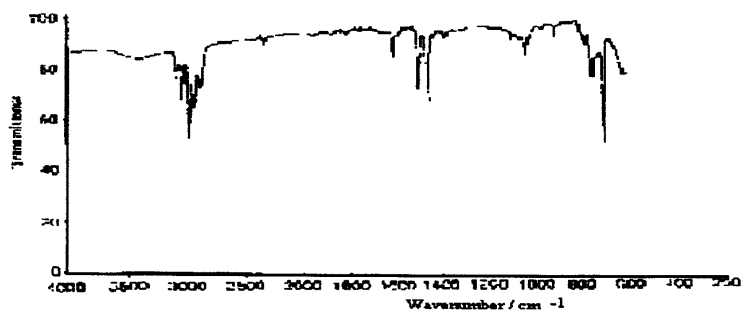
رتب الأطياف الموضحة في الشكل حسب إحتوائها على الآتي:

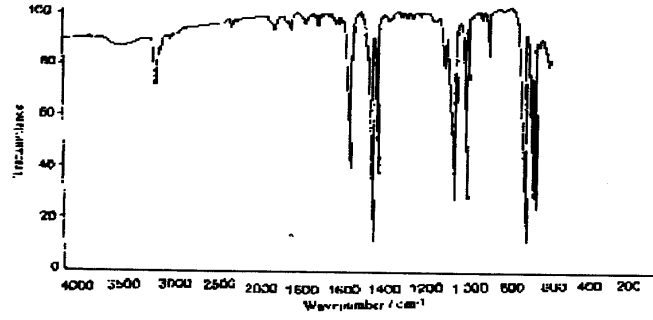
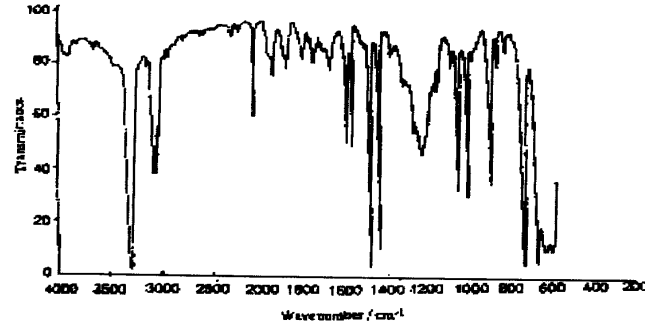
أ - رابطة C - H أليفاتية فقط.

ب - روابط C - H أليفاتية وعطرية.

ج - مركب ألكين Alkene أو عطري.

د - مركب ألكاين Alkyne.





الحل :

الطيف (1)، يظهر في هذا الطيف سلسلة من أشرطة امتصاص ذبذبة المد C-H قبل وبعد 3000 cm^{-1} . معنى ذلك أن هذا المركب يحتوي على روابط C-H الأليفاتية والعطرية.

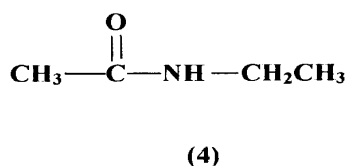
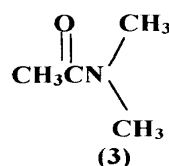
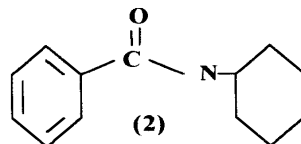
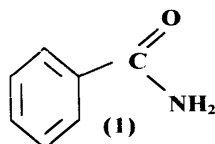
الطيف (2) لا يظهر في هذا الطيف أشرطة امتصاص بعد 3000 cm^{-1} دليل على إحتوائه على روابط C-H الأليفاتية فقط.

الطيف (3) يظهر في هذا الطيف أشرطة إمتصاص لذبذبة المد C-H العطرية في المنطقة من 3000 cm^{-1} إلى 3100 cm^{-1} . ويظهر أيضاً شريط إمتصاص قوي عند 3300 cm^{-1} دليل وجود تردد ذبذبة المد C-H للألكاين.

الطيف (4) لا يظهر أشرطة إمتصاص قبل 3000 cm^{-1} وهذا ينفي وجود رابطة أليفاتيه فهذا المركب إما أن يكون عطري ولا يحتوي على مركب أليفاتي أو يكون مركب الكيني بسيط.

مثال 39 :

في أي مركبات الأמיד التالية تعتمد ذبذبة المد لمجموعة الكربونيل عند قياسها في محلول على تركيز المحلول؟.



الحل :

كل من المركبين (1) و (4) يحتوي على ذرة هيدروجين متصلة بذرة نيتروجين ومن ثم من الممكن أن تشارك في رابطة هيدروجينية.

مثال 40 :

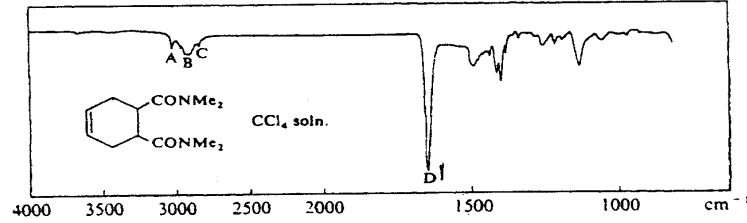
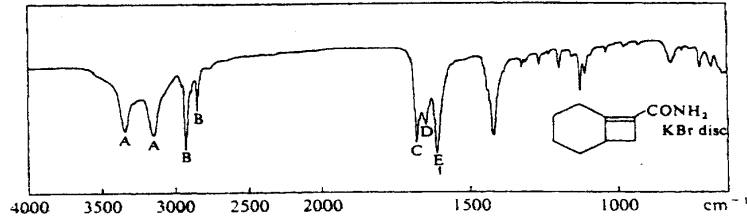
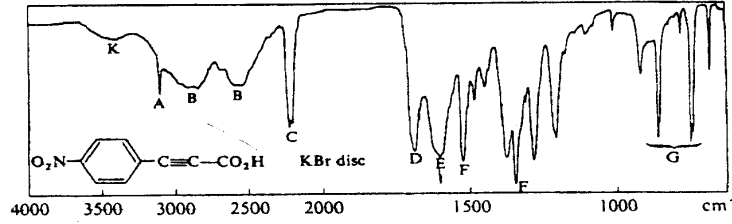
ما هي مادة الأقرص [النوافذ] التي يجب إستخدامها في خلية السوائل لقياس محلول مائي رقمه الهيدروجين $\text{PH} = 7$ ؟.

الحل :

نعلم أن جميع المواد التي ذكرناها من قبل تذوب في الماء وعلى أي حال المادتان التي يمكن استخدامها في حالة السوائل المائية هما Ca F_2 أو Ba F_2 ، ولكن يجب أن لا تأخذ PH قيمة عالية ولا بد أن تظل قيمتها حول 7.

مثال 41 :

إنكر نوع المجموعة الوظيفية التي تمتص الأشعة تحت الحمراء عند ترددات الأشرطة المبينة على الأطياف في الأشكال التالية.



الحل :

الطيف الأول:

الحرف	$\nu' \text{ cm}^{-1}$	التصنيف
A	3100	مد C-H (Aryl)
B	2400-3200	مد O-H (رابطة هيدروجينية لحمض الكربوكسيل)
C	2225	مد C (مقترنة)
D	1690	مد CO_2H (مقترنة)
E	1605	حلقة بنزين
F	1520, 1350	مجموعة NO_2 (مقترنة)
G	950-650	مجموعة NO_3 من الصعب التأكد من القضيبي الملامم لكثرة عدد الأشرطة ولكن هذه الأشرطة تتبع البنزين متعدد الاحلال

الطيف الثاني

الحرف	$\nu' \text{ cm}^{-1}$	التصنيف
A	3340, 3140	مد N-H زوج أشرطة للأميد -NH
B	2840, 2930	مد C-H (مثنيع)
C	1680	مد C=O (أميد)
D	1650	أميد II
E	1610	مد C=C (مقترن وحدث له إنفصال)

يلاحظ هنا أن هذا الطيف يظهر زوج الأشرطة التابع لمجموعة NH_2 وكذلك زوج من الأشرطة في منطقة C=O تابع للأميد الأولى في الحالة الصلبة.

الطيف الثالث

الحرف	$\nu' \text{ cm}^{-1}$	التصنيف
A	3020	مد C-H (أليفتيك)
B	2920	مد C-H (مثنيع)
C	2830	مد C-H (N-CH_3)
D	1650	مد C=O (أميد ثانوي)

يوضح هذا الطيف عدم ظهور N-H، ولسبب التماثل لا يظهر شريط لذبذبة C=C.

مثال 42 :

بين أي العبارات التالية صحيحة؟.

أ - أشرطة إمتصاص كل من $C=N$ ، $N=N$ قوية جداً.

ب- أشرطة $C=N$ أقوى كثيراً من أشرطة $N=N$.

ج- أشرطة كل من $C=N$ ، $N=N$ ضعيفة جداً.

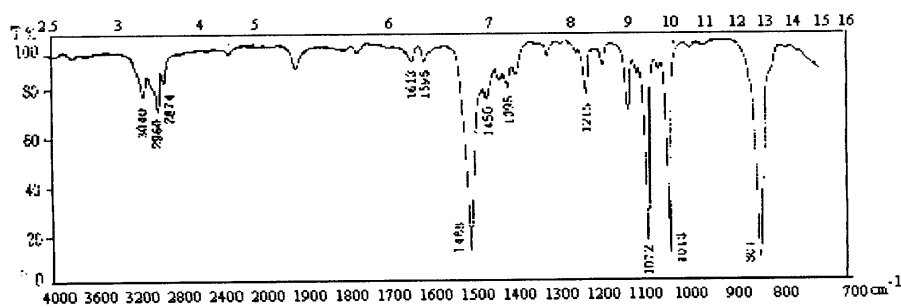
الحل :

العبارة (ب) هي الصحيحة. تذكر أن شدة الإمتصاص تعتمد على مقدار تغير عزم ثنائي القطب أثناء التذبذب.

مثال 43 :

إستنتج تركيب الصيغ الكيميائية الموضحة على كل طيف من الأطياف التالية:

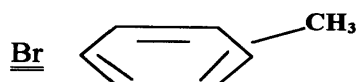
طيف (1) : C_7H_7Br



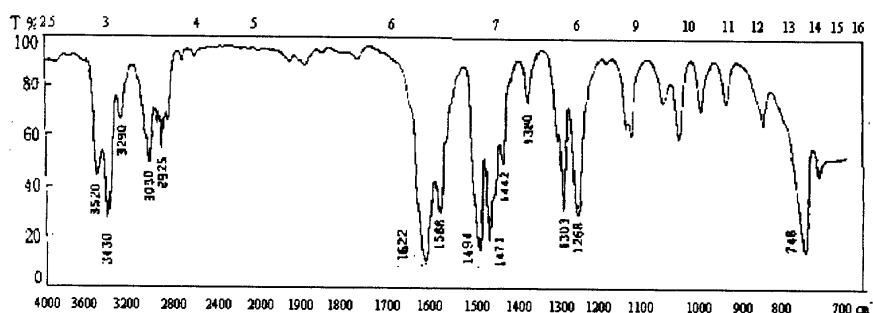
الحل :

التردد cm^{-1}	التصنيف
3040	تردد المد CH عطري
2960	تردد المد للميثيل CH
2874	
2000-1600	شكل يؤكد وجود إحلال بارا
1613	حلقة الفينيل
1595	
1488	
1450	ميثيل وحلقة فينيل
1395	ميثيل
1215	تردد إحناء CH للفينيل في المستوى
1072	
1013	
801	تردد إحناء CH خارج المستوى

هذه الترددات تدل على أن حلقة الفينيل بها إحلال بارا (Para) و التركيب الصحيح للصيغة الكيميائية $\text{C}_7\text{H}_7\text{Br}$ هي P-Bromotoluene.



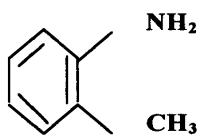
طيف (2) : $\text{C}_7\text{H}_9\text{N}$



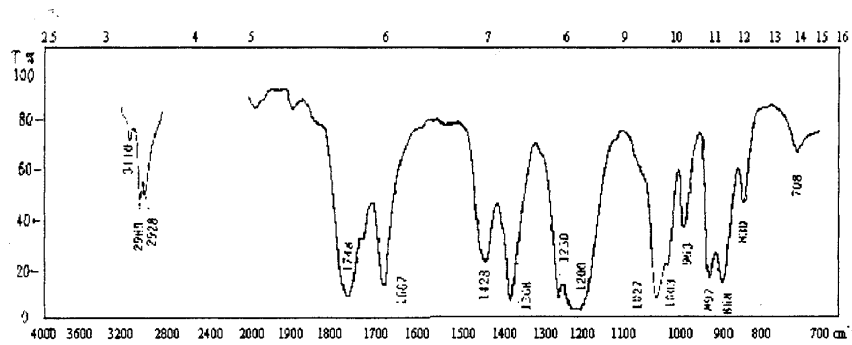
الحل :

التردد $\nu_{cm^{-1}}$	التصنيف
3520 3430	تردد المد NH_2
3290	تردد المد NH (مترايط)
1620	تردد إتحاء NH_2
1588 1494 1471 748	O. Substituted Phenyl
1442 1380	ميثيل
1268	تردد مد C-N

التركيب الصحيح للصيغة الكيميائية C_7H_9N هو O.Toluidine.



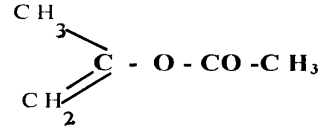
طيف (3): $C_5H_8O_2$



الحل :

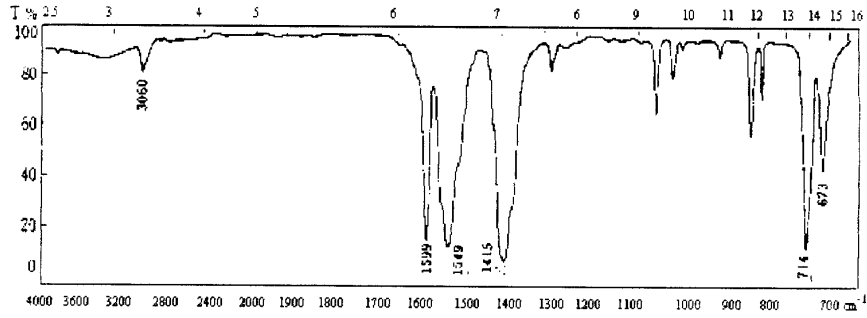
التردد $\nu_{cm^{-1}}$	التصنيف
3110	تردد المد $=CH_2$
2989 2928	تردد المد $-CH_3$
1748	تردد مد $C=O$ (إستر فينيل)
1667	تردد مد $C=C$
1428 1368	تردد إنحناء CH_2 ، CH_3
1250 1200	تردد مد لا تماثلي $=C-C=$
1027	تردد مد تماثلي $=C-C=$
868	تردد إنحناء خارج المستوى CH

التركيب الصحيح للصيغة الكيميائية $C_5H_8O_2$ ISO Propenyl acetate



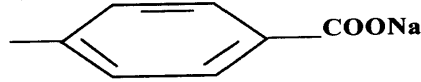
مثال 44 :

اذكر اسم هذا المركب الذي يحتوي على الصوديوم.



الحل :

أشرطة الامتصاص عند الترددات : $673, 714, 1599, 3060 \text{ cm}^{-1}$ يدل على وجود حلقة فينيل أحادية الإحلال. والشريطان عند الترددين $1415, 1549 \text{ cm}^{-1}$ يدلان على وجود أيون لكربوكسيلات. وهذا يدل على أن المركب هو Sodium Benzoate.



مثال 45 :

في طيف المواد العطرية، إكتب ترددات المد لذبذبة الحلقة وترددات ذبذبات الإحناء C-H خارج المستوى.

الحل:

ترددات المد للحلقة $1600, 1500 \text{ cm}^{-1}$.
ترددات ذبذبة الإحناء C-H خارج المستوى $900 - 600 \text{ cm}^{-1}$.

مثال 46 :

إذا كان تردد الذبذبة الأساسية لجزيء HI^{127} يساوي 2309.5 cm^{-1} ، إوجد قيمة ثابت قوة الرابطة.

الحل:

$$\nu' = \frac{1}{2\pi c} \sqrt{\frac{K}{\mu}}$$
$$\mu = \frac{m_1 m_2}{m_1 + m_2} = \frac{1 \times 127}{1 + 127} \times \frac{1}{6.023 \times 10^{23}} = 1.65 \times 10^{-24}$$

$$2309.5 = \frac{1}{2 \times 3.14 \times 3 \times 10^{10}} \sqrt{\frac{K}{1.65 \times 10^{-24}}}$$

$$k = 312.38 \times 10^3 \text{ gs}^{-2}$$

مثال 46 :

إختار ثلاثة ترددات من الترددات التالية تظهر أشرطتها في طيف مركب عطري:
 $3150, 2960, 1700, 1610, 1480, 1440, 900, 775 \text{ cm}^{-1}$

الحل:

الترددات التي تظهر في طيف مركب عطري هي:
 $775, 1480, 1610, 3150 \text{ cm}^{-1}$

مثال 47 :

إنكر لماذا تظهر ذبذبات C-H, N-H, O-H, S-H عند ترددات أعلى من ترددات الذبذبات الأخرى؟

الحل:

لأن ذرة الهيدروجين أخف من الذرات الأخرى الأثقل نسبياً.

مثال 48 :

علل لماذا يمتص أول أكسيد الكربون عند 2143 cm^{-1} .

الحل:

يمتص أول أكسيد الكربون عند 2143cm^{-1} وهذا التردد قريب من تردد الرابطة الثلاثية $\text{C}\equiv\text{C}$ مما يدل على أن رتبة الرابطة في أول أكسيد الكربون ثلاثية وهذا هو السبب.

مثال 49 :

إستنتج إسم المركب المجهول من الترددات و التصنيفات المبينة في كل جدول.

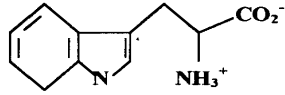
الحل:

(١)

التصنيف	التردد vcm^{-1}
أندول (Indole) N-H	3400
شريط الأمونيوم NH_3^+	3040
شريطان مميزان لحمض الأمينو Amino Acid وأملاح الأمين الأولى	2500 و 2100
حمض الأمينو Amino Acid I	1665
من المحتمل أن يكون Anyl Group	1610
حمض الأمينو Amino Acid II ومجموعة الكربوكسيلات المؤينة CO_2^-	1590
إلتواء NH_3^+	1550
إحناء C-H خارج المستوى	750 أو 740

الحل:

المركب هو:

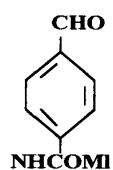


(٢)

التردد cm^{-1}	التصنيف
3260 و 3300	أميد ثانوي NH
3110 و 3190	أميد ثانوي
3060	أريل C-H (Aryl)
2730 و 2810	ألكايد C-H
1680 و 1695	ألكايد C=O، أميد I
1600	حلقة بنزين
1535	أميد II
1510	حلقة بنزين
835	بنزين ثنائي الإحلال (بارا)

الحل:

المركب هو



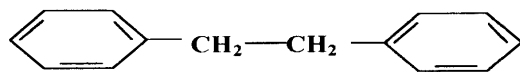
(٣)

التردد cm^{-1}	التصنيف
3020 و 3040 و 3060	تردد مد C-H العطرية
2860 و 2918 و 2938	تردد مد C-H مشبعة
2000-1600	أشرطة مميزة للفينول أحادي الإحلال
1493 و 1584 و 1600	تردد مد C=C العطرية
1452	تردد إنحناء C-H العطرية والأليفاتية

702 و 756	أربعة H متجاورة على الفينيل
-----------	-----------------------------

الحل:

المركب هو



مثال 50 :

إنكر إسم المركب غير العضوي الذي يعطى طيف إمتصاصه للأشعة تحت الحمراء
أشرطة عند الترددات التالية: 700 cm^{-1} و 870 cm^{-1} و 1450 cm^{-1} .

الحل:

المركب هو كربونات الكالسيوم.

ملخص للمراجعة Revision Summary

• C : سرعة انتشار الموجات الكهرومغناطيسية في الفراغ.

$$C = 3 \times 10^8 \text{ m/s}$$

• ν التردد : عدد الدورات في الثانية الواحدة ووحدته (هرتز) CPS(Hz).

• ν' العدد الموجي : عدد الموجات لكل سنتيمتر ووحدته مقلوب السنتيمتر أي cm^{-1} .

• λ الطول الموجي : المسافة بين قمتين متتاليتين.

$$C = \lambda \nu \quad \lambda = \frac{1}{\nu'} \quad \lambda = \frac{C}{\nu}$$

• E : طاقة الأشعة الكهرومغناطيسية.

$$E = h \nu = h \frac{C}{\lambda} = hc \nu'$$

$$E_e = 10^3 E_v = 10^6 E_r$$

علماً بأن

حيث h ثابت بلانك.

• التردد في حالة ذبذبة المد، مثل C - H ، يساوي:

$$\nu' = \frac{1}{2\pi c} \sqrt{\frac{f}{\mu}} \text{ cm}^{-1}$$

حيث μ هي الكتلة المختزلة وتساوي:

$$\mu = \frac{m_1 m_2}{m_1 + m_2}$$

و m_1 هي كتلة الذرة الأولى و m_2 هي كتلة الذرة الثانية و f هو ثابت القوة.

• عدد ذبذبات الجزيء الأساسية تساوي:

أ - $3N - 6$ في حالة الجزيء غير الخطي.

ب - $3N - 5$ في حالة الجزيء الخطي.

• لكي تمتص المجموعة الجزيئية الأشعة الكهرومغناطيسية يجب حدوث تغير في عزم ثنائي القطب للمجموعة أثناء التذبذب. وتعتمد شدة امتصاص هذه المجموعة على مقدار التغير في عزم ثنائي القطب حسب العلاقة التالية.

$$A \propto \left(\frac{d\mu}{dr} \right)^2$$

حيث A هي الامتصاصية و μ عزم ثنائي القطب و r هي المسافة بين الذرات. هذه هي قاعدة الانتقال من وجهة نظر الميكانيكا الكلاسيكية. والقانون الذي يحكم الانتقالات بين مستويات الطاقة للمتذبذب التوافقي ثنائي الذرة هو $\Delta v = \pm 1$. حيث v العدد الكمي للتذبذب.

• الروابط الأيونية لا تمتص الأشعة تحت الحمراء بينما تمتصها الروابط التساهمية.

• تنقسم الذبذبات الأساسية إلى ذبذبات مد وذبذبات انحناء وتنقسم ذبذبات المد إلى تماثلية ولا تماثلية، ويقال لذبذبة المد أنها أحادية الرابطة أو ثنائية الرابطة أو ثلاثية الرابطة حسب عدد الروابط. وتكون ذبذبة الانحناء في المستوى أو خارج المستوى. أنواع ذبذبة الانحناء هي:

أ- ذبذبة التواء ب- ذبذبة تمايل ج- ذبذبة تمرجح د- ذبذبة لي.

• يعتمد تردد المد على شدة الرابطة وكتلة كل من الذرتين في نهايتي الرابطة. و يكون تردد الرابطة X-H أعلى من ترددات الرابطة Y - X حيث X، Y يمثلان ذرة الكربون، الأكسجين أو النيتروجين. وتزداد قيمة التردد بزيادة عدد الروابط أي أن:

$$v_{x=y} > v_{x-y} > v_{x-y}$$

• ذبذبات الانحناء خارج المستوى C - H في المركبات غير المشبعة يظهر لها أشرطة قوية في المدى $1000 - 600 \text{ cm}^{-1}$. وهذه الذبذبات ذات أهمية خاصة في التعرف على نموذج الإحلل في مركبات الكينات وحلقة البنزين.

- تظهر أشرطة امتصاص ذبذبة المد C-H في المدى من $3200-2700 \text{ cm}^{-1}$:
 - a- تظهر أشرطة امتصاص ذبذبة المد C-H بعد 3000 cm^{-1} عندما تكون ذرة الكربون غير مشبعة أو في حالة وجود مركبات تحتوي على هالوجينات.
 - b - تظهر هذه الأشرطة قبل 3000 cm^{-1} عندما تكون ذرة الكربون مشبعة.
 - C - تظهر هذه الأشرطة قبل وبعد 3000 cm^{-1} عندما تكون ذرة الكربون مشبعة وغير مشبعة.
 - d - ظهور شريط عند حوالي 1455 cm^{-1} يدل على وجود CH_3 و/ أو CH_2 .
 - e - ظهور شريط بالقرب من 1375 cm^{-1} يدل على وجود $\text{C} - \text{CH}_3$.
 - f - ظهور شريط متوسط الشدة عند حوالي 725 cm^{-1} يدل على وجود سلسلة من أربعة أو أكثر من مجموعات المثلين المتجاورة.
 - g - وجود أو عدم وجود أشرطة امتصاص عند 1500 cm^{-1} ، 1600 cm^{-1} يدل على وجود أو عدم وجود المركبات العطرية.
 - h - وجود شريط متوسط الشدة في المنطقة من $1610-1650 \text{ cm}^{-1}$ يشير إلى وجود مركبات الأليفين .
 - ز - وجود شريط ضعيف الشدة عند حوالي 2210 cm^{-1} أو شريط متوسط الشدة عند 3250 cm^{-1} أو شريط متوسط الشدة عند 2115 cm^{-1} يدل على مشتقات الأسيتيلين.

• تظهر أشرطة امتصاص مجموعة $\text{C} = \text{O}$ دائماً قوية وتستخدم تردداتها في التعرف على نوع مركب الكربونيل. ويعتمد موضع الأشرطة على قيمة السالبية الكهربائية للذرات المتصلة بمجموعة الكربونيل.

• تتميز أطيايف الكحوليات والفينولات بوجود امتصاص قوي في المنطقة أعلى من 3000 cm^{-1} وكذلك في منطقة البصمة، وهذه الامتصاصات تابعة لترددات المد O-H و C-O على التوالي.

- لاحظ أن تردد ذبذبة O - H يعتمد على شدة الترابط الهيدروجيني. و تردد ذبذبة المد N-H في الأمين الأولى والثانوي يظهر في نفس منطقة امتصاص تردد ذبذبة المد O-H ويتأثر أيضاً بالترابط الهيدروجيني، ولكن اتساع شريط امتصاص N - H يظهر دائماً أضيق من اتساع شريط امتصاص O-H ويمكن كذلك الرجوع إلى منطقة امتصاص ذبذبة الالتواء N - H حيث يظهر للأمين الأولى شريط امتصاص في المنطقة $1580 - 1650 \text{ cm}^{-1}$.
- يمكن التعرف على مركب الإيثر في المركبات التي تحتوي على الأكسجين باستبعاد C=O و O - H والدليل الوحيد القوي على وجود الإيثر هو وجود امتصاص قوي في المنطقة $1000 - 1250 \text{ cm}^{-1}$ الناتج من امتصاص الرابطة C - O.
- يستدل على وجود مجموعة النيترو من ظهور الشريطين القويين بالقرب من 1370 cm^{-1} و 1550 cm^{-1} . يظهر للمجموعتين $\text{N}=\text{N}$ ، $\text{C}=\text{N}$ أشرطة امتصاص إما ضعيفة أو متوسطة الشدة بالقرب من 1600 cm^{-1} ناتجة عن تمدد الرابطة.
- تمتص مجموعة $\text{C} \equiv \text{N}$ عند التردد 2250 cm^{-1} .
- يمكن التعرف على RS-H من وجود شريط ضعيف ناتج عن تردد المد SH بالقرب من 2500 cm^{-1} .
- يمكن تمييز مركبات الكيتونات والألدهايد من تردد ذبذبة المد C-H للمجموعة CHO. وأهم الملامح المميزة لهذه المجموعات تردد ذبذبة المد C=O. والترابط الهيدروجيني والاقتران، و[في حالة الكيتونات] زاوية الرابطة C - CO - C تلعب دوراً كبيراً في هذه الحالة.
- تظهر أشرطة امتصاص مجموعة الكربونيل في مركبات الأميد عند ترددات منخفضة.
- توجد ترددات ذبذبة مد الكربونيل في أحماض الكربوكسيل عند ترددات منخفضة نسبياً، لأنها توجد في معظم حالات القياس على هيئة جزيئات ثنائية الذرة ذات روابط هيدروجينية [Hydrogen bonded dimer].

• كما تظهر أشرطة ذبذبة المد O - H عريضة جداً لدرجة أنها يمكن أن تغطي منطقة ذبذبة المد C - H. ويظهر لأيونات الكربوكسيلات شريطاً امتصاصاً أحدهما تماثلي والآخر لا تماثلي.

• تظهر أشرطة ذبذبة مد مجموعة الكربونيل في مركبات الإستر عند ترددات أعلى من ترددات نفس المجموعة في مركبات الكيتون ولكن أشرطة امتصاص C=O لهذه المركبات تظهر في نفس المنطقة. ويساعد على التفريق بينهما ظهور شريط امتصاص قوى لذبذبة المد C-O في منطقة البصمة لمركبات الإستر.

• أما أشرطة امتصاص C=O لهالوجينات حمض الكربوكسيل فتظهر عند ترددات عالية بينما تظهر أشرطة امتصاص نفس المجموعة للأتهيدرايد عند نهاية منطقة امتصاص مجموعة الكربونيل.

• لا تتفق مادتان في طيف امتصاصهما. لكل مادة طيف وحيد خاص بها يميزها عن أطراف المواد الأخرى.

• وجود شريط امتصاص في منطقة ما لا يؤكد وجود مجموعة وظيفية معينة ولكن عدم وجود امتصاص في منطقة ما يؤكد عدم وجود المجموعات التي من المحتمل أن تمتص في هذه المنطقة.

• أشرطة امتصاص المواد غير العضوية قليلة وعريضة.

• ومعرفة الخواص الفيزيائية للمادة المجهولة مثل اللون، ودرجة الانصهار وكذلك مصدر العينة يساعد على التعرف عليها.

• من أهم نتائج اللاتوافق ظهور أشرطة ضعيفة عن مضاعفات الترددات الأساسية وتراكبها أو الفرق بينها.

• تظهر الأشرطة الساخنة عند درجات الحرارة العالية.

• ليس من الضروري استخدام جميع الأشرطة التي تظهر في تفسير الطيف، لأن بعض الأشرطة ربما تنشأ عن مضاعفات ترددات الذبذبات الأساسية أو تراكيها أو الفرق بينها، كما تنتج بعض الأشرطة نتيجة التزاوج بين الذبذبات الأساسية، لذلك لا يمكن تصنيف هذه الأشرطة لمجموعات وظيفية معينة.

• تظهر أشرطة H_2O عند حوالي $1645, 3350 \text{ cm}^{-1}$.

• يظهر في طيف البلمرات عدد أشرطة أقل و أضعف من عدد وشدة الأشرطة في طيف المونومر.

أسئلة عامة

- 1- يختلف شكل طيف المادة الصلبة المسجلة على هيئة مسحوق في أقراص بروميد البوتاسيوم عن طيفها المسجل كمسحوق في زيت معدني Mull ما هي أسباب حدوث هذه الاختلافات؟
- 2- كيف يمكنك تحديد نوع و موضع الإحلال في مشتقات حلقة البنزين؟
- 3- عرف ظاهرة رنين فرمي و اشرح السبب في حدوثها.
- 4- اذكر متى يحدث الشريط السلخن؟
- 5- اشرح أصل الأطياف الجزيئية.
- 6- ماهي النتائج المترتبة على وجود اللاتوافق؟
- 7- ما الفرق بين تردد المد وتردد الانحناء؟
- 8- اذكر الطرق التي يمكن استخدامها في تحضير العينة قبل قياس طيف امتصاصها.
- 9- اكتب نبذة عن تأثير الرابطة الهيدروجينية على أطيف الأشعة تحت الحمراء.
- 10- تمتلك هالوجينات الهيدروجين ترددات الذبذبات الأساسية التالية :
 $\text{HBr} (2649.7 \text{ cm}^{-1})$, $\text{HI} (2309.5 \text{ cm}^{-1})$
 $\text{HF} (4141.3 \text{ cm}^{-1})$, $\text{HCl} (2966.9 \text{ cm}^{-1})$
 أوجد ثابت القوة للروابط هيدروجين وهالوجين. وإذا استبدل الهيدروجين في الهالوجينات السابقة بالديوتيريوم، فما هي ترددات الذبذبات الأساسية لهالوجينات الديوتيريوم؟
- 11- رتب ترددات الذبذبات التالية من الأعلى الى الأقل:
 a- مد C-H
 b- مد C-D
 c- مد C=C
 d- انحناء CH_2
 e- مد C=C
 f- انحناء H C
- 12- عند أي درجة حرارة يكون عدد الجزيئات في المستوى التذبذبي $V=1$ مساويا لنصف عدده في المستوى التذبذبي $V=0$ ؟ علما بأن التذبذب الأساسي لهذا الجزيء يظهر عند 4395 cm^{-1} .

13- أثبت أن ثابت الدوران B يساوى $\frac{h}{8\pi^2 IC}$ ، حيث h ثابت بلانك و I عزم

القصور الذاتي و C سرعة الضوء.

14- أثبت أن الطيف الدوراني الخاص للجزيء ثنائي الذرة يتكون من سلسلة من

الخطوط ذات الأعداد الموجية $2B$ ، $4B$ ، $6B$ مع وجود فاصل ثابت بين الأعداد

الموجية مقداره $2B$.

15- أثبت كيف يمكن حساب عزم القصور الذاتي للجزيء ثنائي الذرة من الطيف

الدوراني الخالص له؟

16- اذكر العوامل الخارجية التي تؤثر على ترددات الأنماط التذبذبية للجزيئات

المركبة.

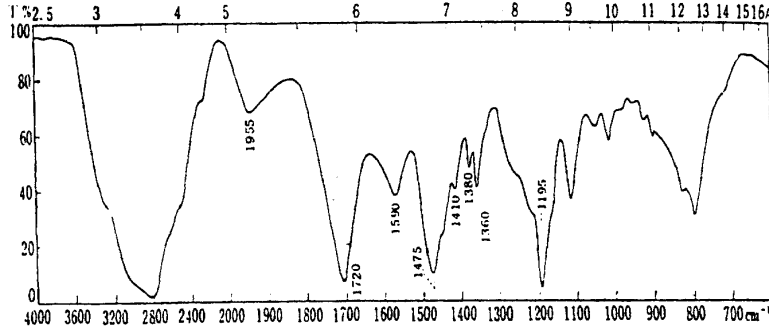
17- اذكر العوامل الداخلية التي تؤثر على ترددات الأنماط التذبذبية للجزيئات المركبة.

18- اذكر كيف يمكن قياس سمك الخلية المستخدمة لقياس طيف السوائل وهى خالية؟

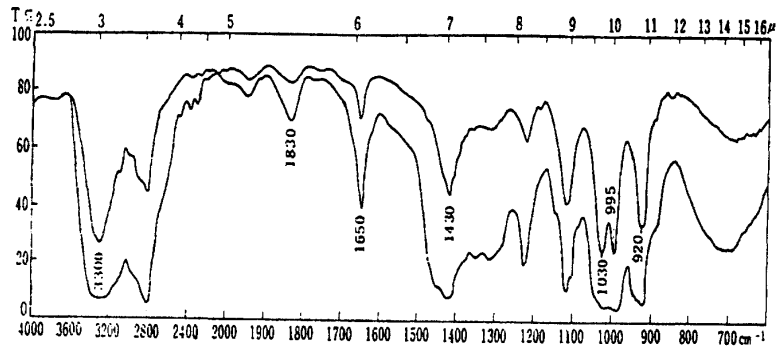
19- اذكر كيف يمكن قياس عمق النفاذ في العينة في حالة قياس أطياف الانعكاس الكلى

الموهن؟.

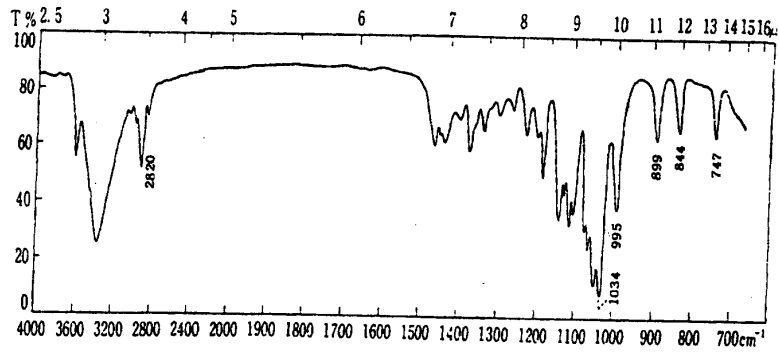
20 - استنتج اسم المركب للصيغة الكيميائية $C_6H_{13}O_2N \cdot HCl$ للطيف التالي.



21 - استنتج اسم المركب للصيغة الكيميائية $C_3H_6O_2$ للطيف التالي.



22 - انكر نوع المركب الذي يعطي الطيف التالي.



المراجع

1. **Bellamy, L.J., The Infrared Spectra of Complex Molecules, Methuen, London (vol. 1, 3rd edn., 1975; Vol. 2, 1980).**
2. **Cross, A.D. and Jones, R.A., Introduction to Practical Infrared Spectroscopy, Butterwoths, London (3rd edn, 1969).**
3. **Willian Kemp, Organic Spectroscopy, 3rd edition, Chapman & Hall (1991).**
4. **Robert P. Bauman, Absorption Spectroscopy, John Wiley & Sons, Inc., New York (1963).**
5. **Hill R.R. and Rendell D.A.E., The Interpretation of Infrared Spectra, Heyden & Son L.t.d., (1975).**
6. **Rao C.N.R., Chemical Applications of Infrared Spectroscopy, Academic Press New York and London (1963).**
7. **Siester H.W. and Holland-Moritz K., Infrared and Raman Spectroscopy of Polymers, Mareel Dekker, Inc., New York and Basel (1980).**
8. **Dudley H. Williams and Lan Fleming, Spectroscopic Methods in Organic Chemistry, McGraw Hill Book Company (U.K.) England (1964).**

الثوابت الأساسية

Constants

$C = 3 \times 10^8 \text{ m/s}$	سرعة الضوء	Velocity of light
$\mu_0 = 1.256 \times 10^{-6} \text{ Hm}^{-1}$	نفاذية الفراغ	Permeability of space
$\epsilon_0 = 8.85 \times 10^{-12} \text{ Fm}^{-1}$	سمحية الفراغ	Permittivity of space
$G = 6.67 \times 10^{-11} \text{ Nm}^2/\text{Kg}^2$	ثابت الجاذبية	Gravitational constant
$K = 1.38 \times 10^{-23} \text{ J/K}$	ثابت بولتزمان	Boltzman constant
$-e = -1.602 \times 10^{-19} \text{ C}$	شحنة الإلكترون	Electron charge
$m_e = 9.11 \times 10^{-31} \text{ Kg}$	كتلة الإلكترون	Electron mass
$m_p = 1.675 \times 10^{-27} \text{ Kg}$	كتلة البروتون	Proton mass
$R_H = 1.1 \times 10^7 \text{ /m}$	ثابت رايدبرج	Rydberg constant
$h = 6.626 \times 10^{-34} \text{ Js}$	ثابت بلانك	Planks constant
$N = 6.02 \times 10^{23} \text{ mol}^{-1}$	عدد أفوجادرو	Avogadro's number
$R = 8.314 \text{ JK}^{-1} \text{ mol}^{-1}$	ثابت الغاز للجرام الجزيء	Gas constant
$\text{a.m.u.} = 1.66 \times 10^{-27} \text{ Kg}$	وحدة الكتلة الذرية	Atomic mass unit

كسور ومضاعفات

الوحدات

الرمز	المعامل	الكسر
d	Deci	10^{-1}
C	Centi	10^{-2}
m	mili	10^{-3}
u	micro	10^{-6}
n	nano	10^{-9}
p	pico	10^{-12}

10^{-15}	femto	f
10^{-18}	atto	a

الرمز	البادئة	المعاملات
da	deka	10
h	hecto	10^2
k	kilo	10^3
M	mega	10^6
G	giga	10^9
T	tetra	10^{12}
P	peta	10^{15}
E	exa	10^{18}

Dictionary

-A-	
Absolute	مطلق
Absorb	يمتص
Absorbance	امتصاصية
Absorption	امتصاص
Absorption band	شريط الامتصاص
Absorption spectrum	طيف الامتصاص
Absorptivity	معامل الامتصاص
Acid	حامض
Adsorption	امتزاز
Alifatic	أليفاتية
Alkane	ألكينات
Alkene	ألكانات
Alkyl	ألكايل
Alternating	متناوب
Alternator	مناوبة
Amorphous	غير متبلور
Amplifier	المضخم
Amplitude	السعة
Amplitude of vibration	سعة الذبذبة
Analyser	محلل
Analysis	تحليل
Anharmonic oscillator	مذبذب لا توافقي
Anharmonicity	ألا توافق
Apparent	ظاهري
Aromatic	عطري

Asymmetry	لاتماثل
Atom	ذرة
Atomic number	العدد الذري
Attenuated total reflectance	الانعكاس الكلى الموهن
Attenuation	توهين
Attenuator	موهن
automatic controller	منظم أوتوماتيكي
Avogadro's number	عدد أفوجادرو
-B -	
Band	شريط
Band spectrum	الطيف الشريطي
Barrier	حاجز
Base	قاعدة
Bending	انحناء
Beam of light	حزمة ضوئية
Bond	رابطة
Broad	عريض
Bound electron	إلكترون مقيد
-C-	
Cell	خلية
Chain	سلسلة
Characteristics	خصائص
Charge	شحنة
Charge carrier	حاملة الشحنات
Coefficient	معامل
Coherent	مترايط
Cohesion	تماسك

Collimator	مجمع
Comparison spectrum	طيف المقارنة
Compressible	قابل للانضغاط
Concept	مفهوم
Conduction	توصيل
Covalent bond	رابطة تساهمية
Crystalline material	مادة متبلورة
-D-	
Data	بيانات
Decay	اتحلال
Deconvolution	فك المطويات
Definition	تعريف
Deformation	إلتواء
Density	كثافة
Derivative	مشتق
Destruction	هدام
Detection	كشف
Detector	كاشف
Deviation	انحراف
Dielectric	عازل
Diffraction	حيود
Diffuse	انتشار
Dilution	تخفيف
Dimension	أبعاد
Dipole	ثنائي القطب
Dipole moment	عزم ذى القطبين
Disc	قرص

Discharge Tube	أنابيب تفريغ
Displacement	ازاحة
Dissociation	تفكك
Dissolve	يذيب
Distortion	تشويه
Distribution	توزيع
Donor	مانح
Doublet	ثنائية
-E-	
Electro magnetic spectrum	طيف كهرومغناطيسي
Electromagnetic waves	موجات كهر ومغناطيسية
Electron	إلكترون
Electron shell	قشرة إلكترونية
Electron spin	لف الإلكترون
Electron transition	انتقال إلكتروني
Electronic band spectra	أطياف الشرائط الإلكترونية
Electrostatic induction	تأثير كهروستاتيكي
Elongation	استطالة
Emission	انبعاث
Emulsion	مستحلب
Energy	طاقة
Energy levels	مستويات الطاقة
Enlarged	مكبر
Evaporation	تبخير
Excited	مستثار
Experiment	تجربة

-F-	
Factor	عامل
Falling	ساقط
Field of plane mirror	مجال مرآة مستوية
Film	غشاء
Filter	مرشح
Fine	دقيق
Fixed axis of rotation	محور ثابت للدوران
Force	قوة
Force constant	ثابت القوة
Free vibration	ذبذبات حرة
Frequency	تردد
Fundamental	أساسي
-G-	
Gas	غاز
Grain	حبة
Grating	محزوز
-H-	
Half	نصف
Half band width	قيمة عرض نصف الشريط
Heavy hydrogen	هيدروجين ثقيل
Homogeneous	متجانس
Humidity	رطوبة
Hyper fine spectrum	طيف فائق الدقة
-I -	
Impurity	شائبة
Incidence	سقوط

Incident light	ضوء ساقط
Index of refraction	معامل الانكسار
Indicator	دليل
Inert gas	غاز خامل
Infra-red	تحت الحمراء
Intensity	شدة
Interaction	تفاعل
Interference	تداخل
Invisible	غير مرئي
-J-	
Junction	وصلة
Joule	جول
-K-	
Kilocalorie	كيلو سعر
Kaysler	وحدة مقلوب السننيمتر
Kilogram	كيلوجرام
-L-	
Lamp	مصباح
Lattice	شبكة
Length	طول
Linkage	ارتباط
Line spectrum	طيف خطي
Level	مستوى
Laser beam	شعاع ليزري

-M-	
Machine	آلة
Magnification	تكبير - تضخيم
Magnitude	مقدار
Mass	كتلة
Matter	مادة
Mechanism	ميكانيكية
Medium	وسط
Membrane	غشاء
Method	طريقة
Microscope	مجهر
Microscopic	مجهرى
Microwave	موجات دقيقة
Migration of ions	هجرة الأيونات
Millimicron	ملي ميكرون
Mineralogy	علم المعادن
Mirror	مرآة
Miscibility	امتزاجية
Mixture	مخلوط
Mobility	تحريكه
Moderator	ملطف
Modification	تعديل
Modulus	معامل
Molecule	جزيء
Monochromatic	وحيد اللون
Monovalent	أحادى التكافؤ
Motion	حركة
Metallic bond	رابطة فلزية

Magnification	تكبير
Monochromatic light	ضوء أحادي اللون
-N-	
Near	قريب
Negative	سالِب
Neutral	متعادل
Neutral molecule	جزيء متعادل
Non-polar	لا قطبي
Normal spectrum	طيف عادي
Nuclear	نووي
Nuclear energy	طاقة نووية
Nuclei	نوى
Nucleus	نواة
-O-	
Object	شئ
Ohm	أوم
Opacity	عتامة
Opaque	معتم
Open circuit	دائرة مفتوحة
Orbit	مدار
Orbital	مدارى
Orbital electron	إلكترون مدارى
Original	أصلى
Oscillation	ذبذبة
Oscillator	متذبذب
Out of plane	خارج المستوى

Output	ناتج
Overlapping	تراكب
Overtones	توافقيات
Optical path	مسار الضوء
Order	ترتيب
-P-	
Pole	قطب
Potential	جهد
Pressure	ضغط
Phase	طور
Phase change	تحول طوري
Partial	جزئي
Plane of vibration	مستوى الاهتزاز
Parallel ray	شعاع متوازي
Perfect	مثالي
Particle	جسيم
Period	دورة
Permeability	نفاذية
Phenomenon	ظاهرة
Piston	مكبس
Plane mirror	مرآة مستوية
Plank constant	ثابت بلانك
Plutonium	بلوتونيوم
Point source	مصدر نقطي
Polar	قطبي
Polar molecule	جزيء قطبي
Polar solvent	مذيب قطبي

Pole strength	قوة القطب
Polished	مصقول
Positive pole	قطب موجب
Potential diagram	حاجز الجهد
Primary	أولى
Prism	منشور
Probable error	خطأ محتمل
Propagation of light	انتشار الضوء
Pulse	نبضة
Pump	مضخة
Pure spectrum	طيف نقي
-Q-	
Qualitative	وصفي
Quantitative	كمي
Quantization	تكمية
Quantized	مكماة
Quantum numbers	أعداد كمية
Quanta	كمات
-R-	
Radiation	إشعاع
Random	عشوائي
Range of Penetration	مدى الاختراق
Rare earth element	عناصر الأرض
Reduced mass	الكتلة المختزلة
Recorder	مسجل
Refractive index	معامل انكسار

Region	منطقة
Resonance	رنين
Resolution	تحليل
Resolving Power	قوة التحليل
Restoring force	القوة الرادة (المرجعة)
Rigid	صلد
Rocking vibration	ذبذبة تمرجح
Rotator	دوار
Rotation	دوران
Rule	قاعدة
-S-	
Sample	عينة
Secondary	ثانوي
Selection rule	قانون الإنتقاء
Sector mirror	مرآة مقطعة
Sensitive	حساس
Substitution	إحلال
Single	مفرد
Single bond	رابطة أحادية
Simple harmonic motion	حركة توافقية بسيطة
Signals	إشارات أو مضات
Slit	شق
Sharp	حاد
Shoulder	كتف
Short waves	موجات قصيرة
Strong	قوى
Specular	منظاري

Spectrophotometer	مطياف
Spectra	أطياف
Spectrum	طيف
Spring	زنبرك
Solid	جامد
Solution	محلول
Solvent	مذيب
Solute	مذاب
Source	مصدر
Stretching vibration	ذبذبة مد
Scattering	إسقاطرة
Scheme	مخطط
Shear strength	قوة القص
Solid	جامد
Solid state	الحالة الصلبة
Spectral notation	الرموز الطيفية
Spectroscopy	علم الأطياف
Spin	اللف الذاتي
Splitting	إنقسام
Stale	حالة
Strain	إنفعال
Stress	إجهاد
Symmetry	تناظر (تماثل)
System	نظام
-T-	
Tertiary	ثالثي
Thermal radiation	أشعة حرارية

Thermocouple	إزدواج حراري
Transform	يحول
Transition	انتقال
Transparent	متغذ
Transmittance	نفاذية
Trivalent	ثلاثي التكافؤ
Tetragonal	مربع قائم
Thin film	غشاء رقيق
Triclinic	ثلاثي الميل
Trigonal	ثلاثي التناظر
-V-	
Vibration	ذبذبة
Velocity of light	سرعة الضوء
Vision	رؤية
Visible	مرئي
Vapour phase	طور البخار
-W-	
Wavelength	طول الموجه
Wave numbth	عدد موجي
Wave amplitude	سعة الموجه
Wave function	دالة الموجه
Weak	ضعيف
Wagging vibration	ذبذبة تمايل